

BIOLOGICAL SERIES

784-8
1986

საქართველოს სსრ მეცნიერებათა აკადემიის მაცნე
ISSN 403214-1866

ІЗВЕСТИЯ АКАДЕМИИ НАУК ГРУЗИНСКОЙ ССР
PROCEEDINGS OF THE ACADEMY OF SCIENCES
OF THE GEORGIAN SSR

ბიოლოგიური
სერია
БИОЛОГИЧЕСКАЯ

1986 N5

თბილისი
ТБИЛИСИ - ТОМ
TBILISI VOL.

12

СПИСОК РАЗДЕЛОВ БИОЛОГИИ, ПО КОТОРЫМ ПРИНИМАЮТСЯ СТАТЬИ

Теоретическая биология
Физиология человека и животных (норм. и патол.)
Морфология
 Анатомия
 Эмбриология и гистология
 Цитология
 Патологическая морфология
Биохимия
Фармакология
Ботаника (экспер. и теорет.)
Физиология растений
Зоология (экспер. и теорет.)
Энтомология
Паразитология
Гельминтология
Палеобиология
Биогеоценология
Экология
Микробиология
Вирусология
Иммунология
Генетика
Радиobiология
Биофизика
Молекулярная биология
Бионика и биокибернетика



ბიოლოგიური ჟურналი
СЕРИЯ БИОЛОГИЧЕСКАЯ

ტომი 12, № 5
Том

ეურნალი დაარსებულია 1975 წელს
Журнал основан в 1975 году
გამოდის წელიწადში 6-ჯერ
Выходит 6 раз в год

სარგეაპციო პოლიტიკა:

მთავარი რედაქტორი ვ. იურჯავა
მთავარი რედაქტორის მოაღილე თ. მიხეილ
სწავლული მდგრადი გ. ბეჭავა

ლ. გაბურია, ს. ლურმიშვილი, მ. ზაალიშვილი, გ. თუმანიშვილი,
გ. კანდელაკი, კ. ნადარეიშვილი, გ. ნახუცრიშვილი, გ. სანაძე, ბ. ყურაშვალი,
ნ. ძიძიშვილი, თ. ჭანიშვილი, შ. ჭანიშვილი, ნ. გავაძეშვილი
პასუხისმგებელი მდგრადი ს. ლაბაძე

РЕДАКЦИОННАЯ КОЛЛЕГИЯ:

Главный редактор В. М. Окуджава
Зам. главного редактора Т. Н. Онiani
Ученый секретарь Г. Л. Бекая

Л. К. Габуния, Н. А. Джавахишвили, Н. Н. Дзидзихвили, С. В. Дурмишидзе,
К. Ш. Надареишвили, Г. Ш. Нахуцишвили, Г. А. Санадзе, Г. Д. Туманишвили,
М. М. Заалишвили, Г. В. Канделаки, Б. Е. Курашвили,
Т. Г. Чанишвили, Ш. Ф. Чанишвили
Ответственный секретарь С. Р. Лабадзе

EDITORIAL BOARD:

Editor-in-Chief V. M. Okujava
Associate Editor T. N. Oniani
Editorial Secretary G. L. Bekaya

Sh. F. Chanishvili, T. G. Chanishvili, N. A. Djavakhishvili, S. V. Durmishidze,
N. N. Dzidzishvili, L. K. Gabunia, G. V. Kandelaki,
G. A. Sanadze, G. D. Tumanishvili, M. M. Zaalishvili
B. E. Kurashvili, K. Sh. Nadareishvili, G. Sh. Nakutsrishvili,
Executive Secretary S. R. Labadze

© Известия АН ГССР
Серия биологическая, 1986

Корректор Д. Р. Арчвадзе

Сдано в набор 25.04.1986; Подписано к печати 23.10.1986; Формат бумаги
70×108^{1/16}; Бумага № 1; Печатных л. 63; Уч.-издат. л. 5,9;
уэ 06969; Тираж 1050; Заказ № 2369;

Цена 85 коп.

გამომცემლობა „მეცნიერება“, თბილისი, 380060, კუტეზოვის ქ., 19
Издательство «Мецнериба», Тбилиси, 380060, ул. Кутузова, 19

საქ. სსრ მეცნ. აკადემიის სტამბა, თბილისი, 380060, კუტეზოვის ქ., 19
Типография АН ГССР, Тбилиси, 380060, ул. Кутузова, 19



СОДЕРЖАНИЕ—20619660—CONTENTS

- Т. Ш. Лабахуа, М. Г. Кокая, В. М. Окуджава. Предполагаемые потенциалы действия дендритов пирамидных нейронов сенсомоторной коры кошки 293
 თ. ლაბახუა, მ. გოკაია, ვ. ოკუჯავა. კტრის სენსოროტორული ქერქის პირამიდულ ნეირონთა დენდრიტების საფარულო მოქმედების პოტენციალები
- T. Sh. Labakhua, M. G. Kokaia, V. M. Okujava. Presumed dendritic action potentials in pyramidal neurons in cat's sensorimotor cortex
- Т. Ш. Лабахуа, М. Г. Кокая, В. М. Окуджава. Реакция глиальных клеток сенсомоторной коры кошки при активности типа пик-волна 299
 თ. ლაბახუა, მ. გოკაია, ვ. ოკუჯავა. კტრის სენსოროტორული ქერქის პირამიდულობის რეტროსინ აქტივობის დროს გლაური უკრედების რეაქციები
- T. Sh. Labakhua, M. G. Kokaia, V. M. Okujava. Reactions of glial cells of cat's sensorimotor cortex during spike-and-wave activity
- Н. А. Гзиришвили, Ц. Г. Хухунейшвили, Л. А. Камаргули. Динамика изменения содержания альдостерона и ренина в крови у кроликов при болевом стрессе 304
 ნ. ა. გზირიშვილი, ც. გ. ხუխუნეიშვილი, ლ. ა. კამარაული. დინამიკა იზმენებული ალდოსტერონისა და რენინის ცენტრული დინამიკა ტკიცილით გამოწვეული სტრუქტურის დროს
- N. A. Gzirishvili, Ts. G. Khukhuneishvili, L. A. Kamarauli. The dynamics of changes in aldosterone and renin content in the rabbit's blood during nociceptive stimulation
- Н. А. Костенко. Влияние ионов на распределение нейроглиальных клеток в супрасильвии извилине мозга кошки 313
 ნ. ა. კოსტენკო. კალიუმის იონთა გავლენა ნეიროგლიული უკრედების განვითარებაზე კტრის თავის ტენინის სუბრასილურ ხელში
- N. A. Kostenko. Influence of K⁺ on the distribution of neuroglial cells in suprasylvian gyrus of cat's brain
- Н. О. Гониашвили, Н. Н. Нуцубидзе. Зависимость некоторых показателей интrogenазы, выделяемой из Azotobacter vinelandii UW-OP от свойств реакционной среды 318
 ნ. ო. გონიაშვილი, ნ. ნ. ნუცუბიძე. Azotobacter vinelandii UW-OP-ის ნიტროგლიული ზოგოვრით განვითარებულის დამოკიდებულება სარეაქციო არის თვალებზე
- N. O. Goniashvili, N. N. Nutsubidze. Dependence of some nitrogenase induced from Azotobacter vinelandii UW - OP on reaction medium characteristics
- Ш. К. Шетекаури. Коэффициент сходства петрофильной флоры высокогорий Сванети, Рача-Лечхуми и Юго-Осетии (южные склоны Центрального Кавказа) 325
 შ. ქ. შეთეკაური. სკონტაქტის, რატე-ლეჩხენტისა და სამხრეთ ოსეთის (ცენტრალური კავკასიონის სამხრეთი კალთის) მაღლი მთის პეტროფილური ფლორის მსგავსების კოეფიციენტი
- Sh. K. Shetekauri. Similarity coefficient of the petrophytic flora of Svaneti, Rachal-Lechkumi and South-Oseti high mountains (south slopes of the Central Caucasus)
- Л. К. Малинин, Т. Р. Кокосадзе. О плотности и пространственном распределении рыб в Тбилисском водохранилище 329
 ლ. კ. მალინინ, თ. რ. კოკოსაძე. ობილისის წყალსაცავის თევზების სივრცობრივი გავრცელება და სიმჭიდროვე.
- L. K. Malinin, T. R. Kokosadze. On Abundance and spacing of fishes in Tbilisi reservoir

საქ. სსრ კ. მარქვაძე
ს. ს. ს. ს. რეკორდი
1. კონკრეტული

18234

УДК 612.024.612.825

ФИЗИОЛОГИЯ ЧЕЛОВЕКА И ЖИВОТНЫХ

**ПРЕДПОЛАГАЕМЫЕ ПОТЕНЦИАЛЫ ДЕЙСТВИЯ
ДЕНДРИТОВ ПИРАМИДНЫХ НЕИРОНОВ
СЕНСОМОТОРНОЙ КОРЫ КОШКИ**

Т. Ш. Лабахуа, М. Г. Кокая, В. М. Окуджава

Институт физиологии им. И. С. Бериташвили АН ГССР, Тбилиси

У обездвиженных миорелаксантами кошек в условиях острого опыта при электростимуляции вентро-постеро-латерального ядра таламуса исследовали внутриклеточную активность пирамидных нейронов сенсомоторной коры. Наряду с соматическими потенциалами действия при одиночной и частотной ($10/\text{с}$) стимуляции таламического ядра были зарегистрированы предположительно дендритные спайки, которые характеризовались сравнительно вариабельной амплитудой (5—60 мВ). Искусственная гиперполяризация нейрона устранила соматические спайки и не влияла на предположительно дендритные спайки (ДС). Не отмечалось взаимодействия между соматическими и предположительно ДС в случае их одновременного возникновения. Выдвигается предположение, что эти вариабельные потенциалы действия отражают импульсную активность дендритов пирамидных нейронов со множественной зоной генерации этой активности и обсуждается возможная функциональная роль предположительно ДС.

Относительно импульсной активности дендритов пирамидных нейронов зрелой коры больших полушарий в существующей литературе имеются единичные сообщения [2, 6, 18]. Однако ДС (быстрые препотенциалы, ДС или d-спайки) зарегистрированы при внутриклеточном отведении в других отделах ЦНС: в пирамидных нейронах гиппокампа [3, 19, 22], клетках Пур-

кинь мозжечка [13, 14], хроматолизированных и нормальных мотонейронах спинного мозга [7, 12], нейронах не зрелой коры [20], вестибулярных нейронах голубого пятна [25] и др.

В настоящем сообщении приведены экспериментальные данные, указывающие на возможность возникновения потенциалов действия в дендритах пирамидных нейронов новой коры.

МЕТОДИКА

Опыты проводились как на наркотизированных под легких нембуталовым наркозом (25—30 мг/кг), так и на ненаркотизированных кошках, обездвиженных миорелаксантами. Осуществлялись трахеотомия, обнажение правой сигмовидной извилины и пневмоторакс. Перед наложением пневмоторакса и куаризацией животные переводились на искусственное дыхание. Края операционных ран и участки сдавливания фиксаторами анестезировались новокаином. Наблюдения начинались через два часа после прекра-

щения подачи паров эфира и перевода животных на искусственное дыхание.

Раздражались вентро-постеро-латеральное (ВПЛ) и вентро-латеральное (ВЛ) ядра таламуса (координаты: 9,0; 7,0; 1,0 и 11,0; 4,0; 2,0) по атласу Джаспера и Аймоне-Марсана [11], а также пирамидные пути продолговатого мозга (координаты: 11,0; 1,0; 0) по атласу Рейнозо-Суареса [21] — с помощью стереотаксически введенных биполярных (межплощадочное расстояние 0,5 мм) константновых электродов с фабричной изоля-

цией. Раздражение производилось прямыми толчками тока длительностью 0,1—0,5 мс.

Внутриклеточная активность нейронов отводилась посредством стеклянных микроэлектродов, заполненных раствором цитрата калия (2М). Потенциалы от микроэлектрода через катодный повторитель подавались на усилитель постоянного тока и фотографировались с экрана двухлучевого осциллографа. Мембранный потен-

циал (МП) нервных клеток контролировался потенциометром КСП-4.

Пропускание деполяризующих и гиперполяризующих толчков постоянного тока осуществлялось через внутриклеточный микроэлектрод с помощью мостовой схемы.

Для идентификации пирамидных нейронов использовали раздражение пирамидных путей на уровне продолговатого мозга [24].

РЕЗУЛЬТАТЫ ИССЛЕДОВАНИЯ

Внутриклеточные отведения с предположительно ДС были получены от 15 пирамидных нейронов в участке задней сигмовидной извилины, идентифицированных по антидromному возбуждению после стимуляции медуллярных пирамид. МП пирамидных нейронов был равен 50—70 мВ.

На рис. 1 приведена внутриклеточная запись пирамидного нейрона со спонтанными и/или вызванными предположительно ДС. Эти ДС характеризовались вариабельной и более низкой амплитудой (50—60 мВ) по сравнению с соматическими ПД, возникали либо независимо, либо одновременно с другими ДС или с соматическими ПД (рис. 1: 1, 8, 10). При длительной

в пирамидных нейронах коры возникал ТПСП длительностью 200—300 мс или последовательность ВПСП-ТПСП. В некоторых случаях в ответ на такую же стимуляцию таламуса в нейронах возникал предположительно

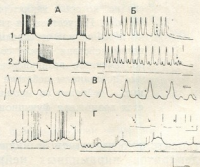


Рис. 2. Влияние внутриклеточного пропускания постоянного тока на предположительно ДС корковых нейронов: А1 — спонтанная активность; А2 — влияние деполяризующего толчка тока; Б — то же на быстрой развертке луча; В — то же, что на А2 и Б2 при более быстрой развертке луча; стрелками обозначены предположительно ДС, треугольником — вершина спайка аксонного холмика (В); МП = 60 мВ; глубина регистрации 0,7 мм; Г — другой нейрон при искусственной гиперполяризации; МП = 70 мВ; глубина регистрации 2,8 мм; калибровка: 25 мВ на А, Б и В; 50 мс на А и Б; 2 мс на В; 0,8 нА на А2 и Б2; 20 мВ, 5 мс на Г

ДС, за которым следовал ТПСП. Амплитуда таких вызванных и спонтанных ДС была одинаковой (рис. 1, 30, 35), что указывает на идентичную природу их происхождения.

На рис. 2 приведены внутриклеточные записи двух пирамидных нейронов коры. Фоновая активность (рис. 2, А1) представлена соматическими

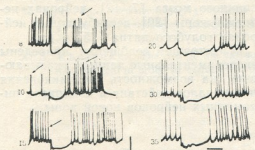


Рис. 1. Внутриклеточная активность пирамидных нейронов сенсомоторной коры кошки при стимуляции ВПЛ ядра таламуса. Цифры слева — время регистрации активности (мин). Стрелками обозначены предположительно ДС. МП = 70 мВ; глубина регистрации 2,5 мм; калибровка: 50 мВ, 100 мс

внутриклеточной регистрации нейрона амплитуда этих ДС постепенно уменьшалась (рис. 1, 15—35). На одиночную стимуляцию ВЛ ядра таламуса

ПД и одним предположительно ДС. Пропускание деполяризующего толчка тока через внутриклеточный микроЭлектрод вызывает, наряду с соматическими ПД, возникновение предположительно ДС разной амплитуды (рис. 2, А, Б 2). Запись активности того же нейрона при быстрой развертке луча показывает, что амплитуда этих предположительно ДС значительно отличается от амплитуды начального сегмента аксона (рис. 2, В — обозначены треугольником). При искусственной гиперполяризации нейрона отмечалось исчезновение только соматических ПД, в то время как предположительно ДС сохранялись неизмененными по амплитуде даже на фоне увеличенных ВПСП. Соматические и предположи-

На рис. 3 и 4 приведены фрагменты внутриклеточной записи пирамидных нейронов коры при стимуляции ВПЛ ядра таламуса с частотой 10/с. Фоновая активность представлена только соматическими ПД (слева наверху) с амплитудой 80 мВ. При стимуляции ВПЛ ядра таламуса с частотой 10/с в нейронах отмечалось, наряду с соматическими ПД, возникновение вызванных предположительно ДС разной амплитуды в ответ на каждый стимул, а также множественных спонтанных ДС разной амплитуды (40—66 мВ) и высокой частоты на фоне выраженного ВПСП (10—15 мВ) (рис. 3, отмечено стрелками) или одиночных предположительно ДС разной (24—72 мВ) амплитуды (рис. 4, отме-

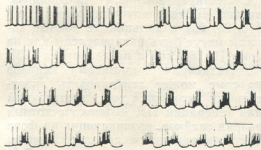


Рис. 3. Внутриклеточная регистрация предположительно ДС пирамидного нейрона коры во время стимуляции ВПЛ ядра таламуса с частотой 10/с. Слева наверху — фоновая активность. Стрелками указаны предположительно ДС. МП—65 мВ; глубина регистрации 1,6 мм; калибровка; 40 мВ, 100 мс

тельно ДС генерировались либо независимо друг от друга, либо ДС генерировался одновременно с соматическими ПД и в этом случае не отмечалось какого-либо взаимодействия (рис. 2, Б 2, В, Г — вставка).

ОБСУЖДЕНИЕ РЕЗУЛЬТАТОВ

В литературе накопилось достаточно экспериментальных данных о том, что мембранные дендритов нейронов разных отделов ЦНС позвоночных животных могут генерировать спайковую активность [6, 12, 13, 14, 19, 22]. Длительность предположительно ДС составляет около 2 мс [6]. Амплитуда существенно отличается от амплитуды

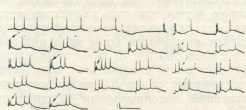


Рис. 4. Возникновение предположительно ДС в пирамидном нейроне новой коры при стимуляции ВПЛ ядра таламуса с частотой 10/с. Слева наверху — фоновая активность; стрелками указаны предположительно ДС; МП—65 мВ; глубина регистрации 1,8 мм; калибровка 40 мВ; 50 мс

ченено стрелками). Вслед за высокочастотными разрядами таких спайков развивалась длиннолатентная (40—50 мс) гиперполяризация длительностью около 80 мс и амплитудой 15—20 мВ (рис. 3).

спайка начального сегмента клетки; оптимальным условием для генерации ДС является деполяризация клетки до 40—55 мВ [16, 23, 25]. Такая деполяризация МП вызывает локальные ДС по закону «все или ничего», которые могут соответствовать низкоамплитудным спайкам, отводимым из сомы клетки [3].



В данной работе показано, что возникновение ПД в дендритах пирамидных нейронов сенсомоторной коры и эти ДС характеризовались вариабельной и более низкой амплитудой по сравнению с соматическими ПД. Предположительно ДС возникали либо спонтанно, независимо друг от друга, либо одновременно с другими соматическими ПД и взаимодействия между ними не отмечалось. Отсутствие взаимодействия между предположительно ДС, возникающими при стимуляции ВПЛ ядра таламуса, и ортодромно вызванными соматическими ПД в быстрых пирамидных нейронах коры также было продемонстрировано [6].

Такие предположительно ДС с большей вероятностью возникали в пирамидных нейронах коры при частотной стимуляции (10/с) в течение 15—20 с специфических ядер таламуса, которая использовалась в качестве метода моделирования самоподдерживающейся активности коры типа пик-волна с частотой 3/с. В некоторых случаях отмечали увеличение количества предположительно ДС во время искусственной деполяризации и угнетение ДС при искусственной гиперполяризации пирамидных нейронов сенсомоторной коры [6].

При ионофоретической аппликации ГАМК к нейронам гиппокампа отмечалась деполяризация мембрани, на фоне которой исчезали соматические, но сохранялись предположительно ДС [3], хотя в некоторых случаях не отмечали изменений ДС под действием деполяризующего тока [18]; данное противоречие можно объяснить разной локализацией внутриклеточного микроэлектрода по отношению к соме и дендритам.

Некоторые авторы считают, что в нейронах гиппокампа регистрируемые предположительно ДС являются электротоническим отражением активности соседних нейронов через низкоомные межнейронные несинаптические контакты [15]. Но у позвоночных животных в новой коре не продемонстрировано существование таких контактов. Коэффициент усиления в таких контактах очень мал и преконтактный

спайк может вызвать деполяризацию в постконтактной мембране амплитудой до 1—5 мВ [5], что противоречит сравнительно высоким амплитудам предположительно ДС.

По литературным данным [22] нейрон имеет триггерные зоны генерации спайков в области аксонного холмика и в области бифуркации апикального дендрита. Последняя усиливает постсинаптические реакции отдаленных дендритных синапсов. Предположительно ДС запускают в общую конечную зону в области аксонного холмика и вовлечения сомы клетки. На основании анализа литературных и собственных данных можно предположить существование множественных зон генерации предположительно ДС в пирамидных нейронах новой коры и других отделах ЦНС.

Существует мнение, что предположительно ДС генерируются ионами Ca^{2+} [16, 23, 25] и кальциевые ионные каналы могут быть распределены как на соме [1, 16], так и на дендритах [23].

Активация кальциевых каналов на соме может генерировать значительный входящий ток, достаточный для генерации ПД. Высокочастотный разряд спайков, возникающих на фоне постактивационного деполяризующего потенциала, могут представлять Ca^{2+} спайки, возникающие в дендритах (рис. 3). Активация Ca^{2+} проводимости приводит к повышению внутриклеточной концентрации Ca^{2+} и активации Ca^{2+} зависимых K^+ токов, вызывающих длительную гиперполяризацию мембрани [10] (рис. 3). Ионные механизмы постактивационного деполяризующего и гиперполяризующего потенциалов зависят от концентрации внеклеточного Ca^{2+} [9]. Кроме того, повышение внутриклеточной концентрации Ca^{2+} влияет на внутриклеточный транспорт веществ, на их включение в мембрани и фосфорилирование белков [1], длительную перестройку эффективности синаптической передачи [4], а также может участвовать в механизмах обучения и памяти на основе способности дендритов к увеличению числа Ca^{2+} каналов при повторяющейся активности [8].

ЛИТЕРАТУРА

1. Костюк П. Г., Крышталь О. А. Механизмы электрической возбудимости нервной клетки, М., «Наука», 1981.
2. Лабахуа Т. Ш., Кокая М. Г., Окуджава В. М. ДАН СССР, 271, 5, 1271—1273, 1983.



3. Assaf S. Y., Cruneli V., Kelly J. S. *J. Physiol.*, 317, 35, 1981.
4. Bainbridge K. G., Miller J. J. *Brain Res.*, 221, 2, 299—305, 1981.
5. Bennett M. L. In: *Handbook of physiology* Ed. by S. R. Geiger. Sect I. The nervous system. American Physiology Society. Bethesda, 1977, 305—416.
6. Deschenes M. *Exp. Brain Res.*, 43, 3—4, 304—308, 1981.
7. Eccles J. C., Libet B., Young R. R. *J. Physiol.*, 143, 11—40, 1958.
8. Garcia Ramos J. Bot. *estad. med. J. Biol.*, 31, 3—4, 181—189, 1980.
9. Harada Y., Takahashi T. *Proc. Jap. Acad.*, B57, 10, 394—397, 1981.
10. Houston J. R., Price D. A. J. *Neurophysiol.*, 43, 3, 409—419, 1980.
11. Jasper H., Ajmone-Marsan C. In: *Electrical stimulation of the brain*, Austin, 203—231, 1961.
12. Kuno M., Llinas R. *J. Physiol.*, 201, 807—821, 1970.
13. Llinas R., Nickolson C. *J. Neurophysiol.*, 33, 532—551, 1971.
14. Llinas R., Sugimori M. *J. Physiol.*, 305, 197—213, 1980.
15. MacVicar B. A., Dudek F. E. *Science*, 213, 4509, 782—785, 1981.
19. Peacock J. H., Walker C. R. *Dev. Brain Res.*, 8, 1, 39—52, 1983.
17. Precht W., Richter A., Ozawa S., Shimazu N. *Exp. Brain Res.*, 19, 2, 377—393, 1974.
18. Pumain R. *Brain Res.*, 219, 2, 445—450, 1981.
19. Purpura D. A., McMurry, Leonard C. F., Malliani A. *J. Neurophysiol.*, 29, 5, 954—979, 1966.
20. Purpura D. P., Shafer R. J., Scott T. *J. Neurophysiol.*, 28, 925—942, 1965.
21. Reinoso-Suarez F. *Topografischer Hirnatlas der katze*. Darmstadt: Merck, 1961, 1265.
22. Spencer W. A., Kandel E. R. *J. Neurophysiol.*, 24, 1, 272—285, 1961.
23. Stafstrom C. E., Schwindt P. C., Chubb M. C., Crill W. E. *J. Neuropharmacol. (Neurophysiol.)*, 53, 1, 153—170, 1985.
24. Stefanis C., Jasper H. H. *J. Neurophysiol.*, 27, 5, 828—854, 1964.
25. Williams J. T., North R. A., Sheffer S. A., Nishiz S., Egan T. M. *Neuroscience*, 13, 1, 137—156, 1984.

კატის ცენცომობრული შერჩევის პირამიდულ ნივრონთა
დენძრიტიდან საგარაულო მოქმედების პოლიფიალები

თ. ლაგაზეა, გ. კოკაია, გ. ოკუზავა

საქართველოს სსრ მეცნიერებათა აკადემიის ი. ბერიძეს მუზეუმის
სახელმწიფო ფიზიოლოგიის ინსტიტუტი, თბილისი

რეზიუმე

მიორელაქსანტებით გაუმოძრავებელ კატეპზე მწვავე ცდის პირობებში თალამუსის ენერგო-პილტრო-ლატერალური ბირთვის ელექტროსტიმულარების დროს შესწავლილ იქნა სენსომოტორული ქრექის პირამიდული ნეირონების უჯრედშიდა აქტივობა. სომატური მოქმედების პოტენციალების გარდა თალამუსის ბირთვების ერთხელობრივი და რიტმული (10/შმ) გაღიზიანებისას აღირიცხა სხვადასხვა ამჰლიტურის მქონე (5—60 მგ) სპაიკები, რომლებიც დენძრიტული წარმოშობისანი უნდა იყვნენ. ჩევნს ცდებში ნეირონის ხელოვნური ჰიპერპლაზიზაცია თრგუნავ-

და სომატურ სპაიკებს, ხოლო სავარაუდო დენძრიტულ სპაიკებზე არ მოქმედებდა. როცა სომატური და სავარაუდო დენძრიტული სპაიკები ერთდროულად აღმოცენდებოდა, ამ სპაიკების ურთიერთზემოქმედება თავს არ იჩენდა. გამოთქმულია მოსახრება, რომ ჩევნს მიერ აღრიცხული ვარიაბელური მოქმედების პოტენციალები უნდა ასახავდნენ პირამიდულ ნეირონთა დენძრიტების იმპულსურ ქტივობას ნეირონთა მრავალ ზონაში. გამოთქმულია მოსახრება იმის თაობაზედაც, თუ რა ფუნქციას ასრულებენ ჩევნს მიერ აღრიცხული სავარაუდო დენძრიტული სპაიკები.

PRESUMED DENDRITIC ACTION POTENTIALS IN PYRAMIDAL NEURONS IN CAT'S SENSORIMOTOR CORTEX

341135-20
303-2010035

T. SH. LABAKHUA, M. G. KOKAIA, V. M. OKUJAVA

I. S. Beritashvili Institute of Physiology, Georgian Academy of Sciences, Tbilisi, USSR

Summary

Intracellular activity of pyramidal neurons of sensorimotor cortex was studied in acute cats immobilized by myorelaxants. Together with the somatic potentials of action during unit and rhythmic stimulation (10/s) of thalamic nucleus presumed dendritic spikes were recorded, characterized by relatively variable amplitude (5-60 mV). Induced hyperpolarization of neurons eliminated somatic spikes and had no effect on the

presumed dendritic spikes. There was no interaction between somatic and presumably dendritic spikes in the case of their simultaneous generation. It is suggested that these variable action potentials reflect the impulsive activity of dendrites of pyramidal neurons with multiple zones of generation. A possible functional role of presumably dendritic spikes is discussed.

УДК 612.014.612 825

ФИЗИОЛОГИЯ ЧЕЛОВЕКА И ЖИВОТНЫХ

РЕАКЦИИ ГЛИАЛЬНЫХ КЛЕТОК СЕНСОМОТОРНОЙ КОРЫ КОШКИ ПРИ АКТИВНОСТИ ТИПА ПИК-ВОЛНА

Т. Ш. Лабахуа, М. Г. Кокая, В. М. Окуджава

Институт физиологии им. И. С. Бериташвили АН ГССР, Тбилиси

В острых опытах на ненаркотизированных кошках, обездвиженных миорелаксантами, в сенсомоторной коре вызывалась самоподдерживающаяся ритмическая активность типа пик-волна ($3/c$), возникающая в ответ на ритмическое раздражение (8—14/ c) в течение 10—20 s центро-постеро-латерального (ВПЛ) ядра таламуса. Параллельно производилась внутриклеточная регистрация активности глиальных клеток.

Было показано, что в глиальных клетках развивалась деполяризация мембранныго потенциала (МП) до 20 mV на первых же секундах раздражения ВПЛ ядра таламуса, которая сохранялась после выключения раздражения и развития пик-волновой активности.

Через 20—25 s после прекращения пик-волновой активности в глиальных клетках отмечалась реполяризация, а затем гиперполяризация МП в среднем на 15—20 mV в течение 10—15 s с последующим восстановлением МП до исходного уровня.

Предполагается, что длительные колебания МП глиальных клеток обусловлены изменением концентрации ионов K^+ во внеклеточной среде при развитии и прекращении ритмической активности типа пик-волна.

О механизмах формирования и развития самоподдерживающейся ритмической активности типа пик-волна, являющейся одним из важных электроэнцефалографических эпилептических феноменов, существуют различные мнения [4, 7, 10, 15].

Относительно внутриклеточной реакции глиальных клеток во время самоподдерживающейся ритмической ак-

тивности типа пик-волна в существующей литературе нет данных.

Изучение активности глиальных клеток, так же как и первых, во время самоподдерживающейся ритмической активности типа пик-волна должно внести определенную ясность в вопрос о клеточных механизмах этой активности.

МЕТОДИКА

Исследования проводились на обездвиженных миорелаксантами кошках в условиях острого опыта. Подготовка животных к опытам (трахеотомия, обнажение правой сигмовидной извилины и двусторонний пневмоторакс) осуществлялась под эфирным наркозом. Края ран и участки сдавливания фиксаторами анестезировались новокаином. Животные переводились на искусственное дыхание. Регистрация глиальных клеток производилась че-

рез два часа после прекращения подачи паров эфира.

Раздражалось ВПЛ ядро таламуса (координаты: 9,0; 7,0; 1,0) по атласу Джаспера и Аймоне-Марсана [9] с помощью стереотаксически ориентированных биполярных (межполюсное расстояние 0,5 mm) константановых электродов с фабричной изоляцией. Раздражение производилось прямоугольными толчками тока длительностью до 0,5 ms .



Для отведения ЭКоГ активности применялся хлор-серебряный неполяризующийся электрод, который соприкасался с препаратором посредством фитилька, смоченного физиологическим раствором и агарового мостика. Отведение было монополярным.

Внутриклеточная активность глиальных клеток отводилась с помощью стеклянных микроэлектродов, заполненных раствором цитрата калия (2 моль/л). Потенциалы от микро- и макроэлектродов через катодные повторители подавались на усилители постоянного тока и фотографировалась с экрана двухлучевого осциллографа. МП глиальных клеток контролировался потенциометром КСП-4.

РЕЗУЛЬТАТЫ ИССЛЕДОВАНИЙ

В участке задней сигмовидной извины внутриклеточные отведения были получены от 10 глиальных клеток во время ритмической активности типа пик-волна. МП зарегистрированных глиальных клеток был равен 80—100 мВ.

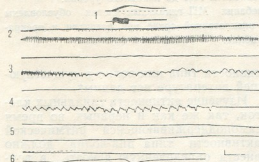


Рис. 1. ЭКоГ коры при самоподдерживающейся ритмической активности и соответствующая ей реакция глиальной клетки коры: МП — 90 мВ, глубина регистрации — 2,2 мм; 1 — идентификация глиальной клетки (45 В, 0,5 мс, 50/с); 2 — фон и начало стимуляции; 3—6 — продолжение записи активности. Параметры раздражения для вызывания самоподдерживающейся активности: 45 В, 0,5 мс, 12/с. Калибровка: 10 мВ для микро- и 2 мВ для макроотведения, 1 с

На рис. 1 и 2 приведены изменения МП при внутриклеточной регистрации глиальных клеток коры во время самоподдерживающейся ритмической активности типа пик-волна. В глиаль-

Глиальные клетки идентифицировались по высокому МП, медленной деполяризации, вызванной тетаническим раздражением ВПЛ ядра таламуса, и отсутствию синаптических потенциалов и потенциалов действия (ПД), как в фоновой записи, так и в ответ на различные раздражения, включая и непосредственное электрическое раздражение клетки путем пропускания деполяризующего толчка тока.

Самоподдерживающаяся ритмическая активность типа пик-волна вызывалась раздражением ВПЛ ядра таламуса с частотой 8—14/с в течение 10—20 с силой достаточной интенсивности [16].

ных клетках деполяризация развивалась на первых же секундах раздражения и либо сохранялась, либо возрастила, достигая деполяризации до

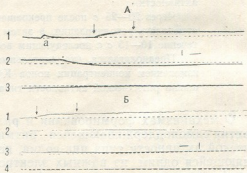


Рис. 2. Внутриклеточные потенциалы глиальной клетки при развитии самоподдерживающейся ритмической активности типа пик-волна: 1 — фон и начало раздражения; 2—4 — продолжение записи активности; стрелки — начало и конец стимуляции ВПЛ ядра таламуса; точки — прекращение пик-волновой активности; а — идентификация глиальной клетки (40 В, 0,5 мс, 50/с). А: МП — 80 мВ, глубина регистрации — 1,9 мм; параметры раздражения — 50 В, 0,5 мс, 10/с. Б: МП — 90 мВ, глубина регистрации — 2,3 мм; параметры раздражения — 45 В, 0,5 мс, 12/с. Калибровка: А — 10 мВ, 2 с; Б — 20 мВ, 1 с

20 мВ после выключения раздражения и развития самоподдерживающейся ритмической активности (рис. 1). Каких-либо значительных ритмичес-

ких колебаний МП в это время не наблюдалось (рис. 2 А, Б). В дальнейшем, после прекращения самоподдерживающейся ритмической активности типа пик-волна в глиальных клетках наблюдалась деполяризация МП в течение 13—20 с (рис. 1 и 2Б), его гиперполяризация в среднем на 15—20 мВ в течение 10—15 с (рис. 1 и рис. 2А) и восстановление до исходного уровня через 20—22 с от начала раздражения (рис. 2 А, Б).

Усредненные данные изменений МП глиальных клеток во время самоподдерживающейся ритмической активности типа пик-волна приведены на графике (рис. 3). Время стимуляции ВПЛ ядра таламуса составляло в среднем $9,76 \pm 6,10$ с ($n=10$). Среднее время самоподдерживающейся пик-волновой активности составляло $14,80 \pm 9,94$ с после прекращения раздражения. Как видно из графика, во время стимуляции в глиальных клетках примерно к 8 с отмечалась деполяризация на 26% от исходного. После прекращения раздражения ВПЛ ядра таламуса и развития самоподдерживающейся ритмической пик-волновой активности глиальные клетки оставались деполяризованными. После

прекращения самоподдерживающейся ритмической активности типа пик-волна глиальные клетки оставались деполяризованы на 9%.

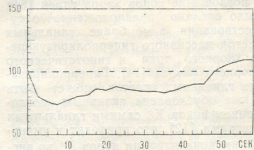


Рис. 3. Графическое выражение изменений МП глиальных клеток во время самоподдерживающейся ритмической активности типа пик-волна: абсцисса — время (с) после начала стимуляции; ордината — величина МП в % к исходному уровню, принятому за 100%. Усреднение производилось через каждые 2,5 с; стрелками обозначены конец стимуляции и самоподдерживающейся ритмической активности. Данные обработаны и выражены графически на компьютере РС - 1500

ляризованными до 50 с от начала стимуляции, затем развивалась гиперполяризация в среднем на 9%.

ОБСУЖДЕНИЕ РЕЗУЛЬТАТОВ

Все проанализированные корковые клетки с относительно высоким МП проявляли признаки, характерные для глиальных клеток [1, 2, 3, 11, 13, 14, 17]. В частности, при проколе клетки микроэлектродом не отмечались разряд повреждения, спонтанные постсинаптические потенциалы и ПД; при пропускании деполяризующих толчков тока через регистрируемый микроэлектрод не возникал ПД. Глиальная клетка не отвечала даже на очень сильную одиночную стимуляцию ВПЛ ядра таламуса, а при его частотной стимуляции появлялась медленная деполяризация [1, 13]. При ритмической стимуляции ВПЛ ядра таламуса с вовлечением в реакцию все большего числа корковых и таламических нейронов начинали преобладать возбуждающие синаптические влияния [6] и в глиальных клетках, по всей вероятности поэтому, отмечалась значительная деполяризация вследствие аккумуляции ионов K^+ , выделившихся в

межклеточное пространство из возбужденных соседних элементов [13]. После прекращения стимуляции формируется самоподдерживающаяся ритмическая активность типа пик-волны и в глиальных клетках не регистрируются какие-либо значительные ритмические колебания МП, коррелирующие с комплексом пик-волны, что свидетельствует о нейрональном генезе этих потенциалов. Очевидно, глиальные клетки пассивно отражают увеличение концентрации ионов K^+ в межклеточной среде и поэтому деполяризованы.

Как уже отмечалось, после прекращения самоподдерживающейся ритмической активности в глиальных клетках отмечалась гиперполяризация МП, которая может быть обусловлена активацией Na^+, K^+ электрогенного насоса нейронов [14]. Однако по литературным данным [1, 14] не обнаружено корреляции во времени между продолжительностью гиперполяризации

нейрона и глиальной клетки. На основании некоторых фактов (усиление метаболизма глиальных клеток с увеличением концентрации ионов K^+ [8] и поглощение ионов хлора глией [5]) было сделано предположение о существовании в мембране глиальных клеток пассивного гиперполяризующего хлорного тока и гипотетического хлорного насоса [14]. Гиперполяризация глиальных клеток может быть также обусловлена активным поглощением ионов K^+ самими глиальными клетками [12], что приводит к уменьшению концентрации ионов K^+ во внеклеточной среде ниже 3 моль/л, а сигналом для включения механизма

гиперполяризации может быть увеличение концентрации ионов K^+ в межклеточной щели [14].

Таким образом, длительные деполяризационные и гиперполяризационные сдвиги МП глиальных клеток новой коры, возникающие во время и после тетанических раздражений ВПЛ, вероятно, пассивно отражают изменения концентрации ионов K^+ в межклеточной среде, и такие изменения концентраций ионов K^+ могут играть определенную роль в процессах формирования и прекращения самоподдерживающейся ритмической активности тип-пик-волны.

ЛИТЕРАТУРА

1. Лабахуа Т. Ш., Бекая Г. Л., Окуджава В. М. Нейрофизиология, 14, 248—253, 1982.
2. Окуджава В. М., Лабахуа Т. М., Кокая М. Г. Тез. Всес. конф., посвященной 100-летию со дня рождения академика И. С. Бериташвили, Изд-во ТГУ, Тбилиси, 1985, 133.
3. Ройтбак А. И., Фанарджян В. В. ДАН СССР, 211, 748—751, 1973.
4. Avoli M., Gloor P., Kostopoulos G., Gotman J. J. Neurophysiol., 50, 819—837, 1983.
5. Burke R. S., Nelson K. M., Naumann R. A., Joung O. M. Exp. Brain Res., 10, 427—445, 1980.
6. Dempsey E. W., Morrison R. S. Amer. J. Physiol., 138, 292—308, 1942.
7. Gloor P., Pelegriini A., Kostopoulos G. K. Electroencephal. Clin. Neurophysiol., 46, 224—289, 1979.
8. Hertz G. J. Neurochem., 13, 1373—1387, 1966.
9. Jasper H., Ajmone-Marsan C. In: Electrical stimulation of the brain, Austin, 1961, 203—231.
10. Kostopoulos G., Avoli M., Gloor P. Brain Res., 267, 101—112, 1983.
11. Karahashi G., Golding S. Electroencephal. Clin. Neurophysiol., 20, 600—607, 1966.
12. Orkand R. K., Colles J. A., Tsacopoulos M. Abstr. Symposium of functions of Neuroglia, Tbilisi, 1984, 13.
13. Ransom B. R., Golding S. J. Neurophysiol., 36, 869—878, 1973.
14. Ransom B. R., Golding S. J. Neurophysiol., 36, 879—892, 1973.
15. Steriade M., Jossif G. Electroencephal. Clin. Neurophysiol., 37, 633—648, 1974.
16. Steriade M., Oakson G., Diallo A. Electroencephal. Clin. Neurophysiol., 41, 641—644, 1976.
17. Sugaga E., Golding J. L., O'Leary J. I. Electroencephal. Clin. Neurophysiol., 17, 661—699, 1964.

კატის სენსორულული ძირძის პირ-ტალღოვანი რიტმული პარტივობის ფრთხის გლიური უჯრედების რეაქციები

თ. ლაგაზუა, გ. მოდაია, გ. ოკუჯავა

საქართველოს სსრ მეცნიერებათა აკადემიის ა. ბერიძეს სახელობის
ფიზიოლოგიის ინსტიტუტი, თბილისი

რეზიუმე

მორელაქსანტებით გაუმოქავებელ კატეპსე მწვავე ცდის პირობებში თალამუსის კენტრო-პოსტერი-ლატერალური ბირ-

თვის სიხშიროვანი (8—14 წმ 10—20 წმ-ის განმავლობაში) გაღიზიანების საპასუხოდ სენსორულ ქერქში აღმოცენ-

დებოდა პიკ-ტალღოვანი რიტმული აქტივობა. პარალელურად ხდებოდა გლიური უჯრედების უჯრედშუა რეგისტრირება.

ომოჩნდა, რომ ცდის ამ პირობებში გლიურ უჯრედებში, გალიზიანების პირველსავე წამებში ვითარდება მემბრანული პოტენციალის დეპოლარიზაცია, საშუალოდ 20 მვ-ით, რომელიც თავს იჩენს გალიზიანების შეწყვეტის შემდეგაც და პიკ-ტალღოვანი აქტივობის განვითარების პერიოდშიც.

პიკ-ტალღოვანი აქტივობის შეწყვეტიდან 20—25 წმ-ის შემდეგ ხდება გლიური

უჯრედების რეპოლარიზაცია, ხოლო შემდეგ—მემბრანული პოტენციალის პარალელური ლარიზაცია 15—20 მვ-ით 10—15 წმ-ში განმავლობაში და ბოლოს — ამ პოტენციალის სრული აღდევნა.

გამოთქმულია მოსაზრება, რომ გლიური უჯრედების მემბრანული პოტენციალის ხანგრძლივი ძრები გამოწვეული უნდა იყოს K^+ -ის იონთა კონცენტრაციის ცვლილებით უჯრედშორის არეში, რომელიც ხდება პიკ-ტალღოვანი რიტმული აქტივობის განვითარებისას და ამ აქტივობის შეწყვეტის დროს.

REACTIONS OF GLIAL CELLS OF CAT'S SENSORIMOTOR CORTEX DURING SPIKE-AND-WAVE ACTIVITY

T. SH. LABAKHUA, M. G. KOKAIA, V. M. OKUJAWA

I. S. Beritashvili Institute of Physiology, Georgian Academy of Sciences, Tbilisi, USSR

Summary

In acute cats, immobilized by myorelaxants, self-sustained spike-and-wave rhythmic activity of the sensorimotor cortex was elicited after repetitive (8—14/sec during 10—20 sec) stimulation of the ventro-postero-lateral nucleus of the thalamus. At the same time, intracellular recording of glial cell was performed.

At the beginning of stimulation glial cells were shown to depolarize by some 20 mV and remain depolarized after cessation of stimulation, when there deve-

loped spike-and-wave rhythmic activity

After 20-25 sec of the spike-and-wave activity termination the repolarization and subsequent hyperpolarization by 15-20 mV during 10-15 sec and recovery of membrane potential (MP) of glial cells were observed.

It is suggested that long-lasting alterations of glial cell MP is due to changes of K^+ -100 w concentration in the extracellular space during the development and termination of spike-and-wave rhythmic activity in the cortex.

УДК 612.015.31 : 541.135.11/14

ДИНАМИКА ИЗМЕНЕНИЯ СОДЕРЖАНИЯ АЛЬДОСТЕРОНА И РЕНИНА В КРОВИ У КРОЛИКОВ ПРИ БОЛЕВОМ СТРЕССЕ

Н. А. Гзиришвили, Ц. Г. Хухунеишвили, Л. А. Камараули

Институт физиологии им. И. С. Берштади АН ГССР, Тбилиси

Поступила в редакцию 20.12.1984

У кроликов в состоянии стресса, вызванного болевым раздражением, методом радиоиммунного анализа определялась концентрация альдостерона и ренина в плазме крови с одновременным изучением содержания ионов натрия и калия. Наблюдения проводились до и через 5, 15, 30, 60, и 120 мин после нанесения болевого раздражения. Показано, что через 5 мин после действия раздражителя концентрация альдостерона и ренина по сравнению с исходными данными уменьшается, а с 30 мин начинает увеличиваться. Особенно резкие изменения наблюдаются через 120 мин после раздражения. Концентрация натрия в течение 5–60 мин не изменяется, тогда как через 120 мин она статистически достоверно, увеличена; концентрация калия понижена на всех этапах наблюдения.

Выявляемые изменения рассмотрены в связи с возбуждением гипоталамо-нейрогипофизарной системы, совместно с которой альдостерон и ренин регулируют электролитный гомеостаз. Не исключено также, что супрапиттико-нейрогипофизарная система принимает участие и в других метаболических процессах, направленных на эlimинацию последствий стрессорного воздействия.

В литературе имеются единичные данные об изменении активности супрапиттико-нейрогипофизарно-надпочечниковой системы при эмоциональном стрессе, вызванном болевым или каким-либо другим стрессорным раздражителем. Одни авторы отмечают усиление активности АДГ-вазопрессина в крови и задержку диуреза [10, 11, 12], другие — альдостерона и ренина, фермента юкстагломерулярного аппарата, переводящего пептидный гормон ангиотензин 1 в ангиотензин 2 [1, 8]. Из литературных источников также известно, что между вышеуказанными гормонами существует сложная взаимозависимость, в которой соотношения ионов натрия и калия имеют особенное значение. Если увеличение осмотичности или повышение концентрации натрия в крови является основным условием для выделения вазопрессина [15], то в этих условиях

выделение ренина заторможено [9]. Следовательно, при увеличении концентрации вазопрессина в крови происходит угнетение выделения ренина [7, 13, 14]. Но ангиотензин 2, введенный в третий желудочек мозга, вызывает чувство жажды и стимуляцию секреции вазопрессина [6]. Если взаимодействие этих гормонов в поддержании водно-электролитного гомеостаза сравнительно хорошо изучено, то при других стрессорных состояниях этот вопрос пока недостаточно изучен, в частности при эмоциональном стрессе, вызванном болью. Недостаточно изучены также характер секреции этих гормонов при болевом раздражении, их основная функция — регуляция электролитного равновесия в крови, значение этих гормонов в адаптации организма.

Исходя из вышесказанного, целью настоящего исследования является

изучение динамики изменения секреции альдостерона и ренина в плазме крови с одновременным наблюдением

за изменением концентрации натрия и калия у кроликов при стрессе, вызванном болевым раздражением кожи

МАТЕРИАЛ И МЕТОДИКА ИССЛЕДОВАНИЯ

Опыты проводились на кроликах самцах породы шиншила весом 3—3,5 кг. Содержание альдостерона и ренина в плазме крови определяли методом радиониммунного анализа с использованием наборов фирмы Seajre-Sorin (Франция). Концентрация натрия и калия определялась пламенно-фотометрически, методом Бриккера, описанным ранее [2, 3, 4]. Кровь бралась из ушной вены до и через 5, 15, 30, 60 и 120 мин после нанесения болевого раздражения, вызываемого электрическим раздражением кожи

при помощи латунных пластинок, прикладываемых к коже задних конечностей. Раздражение проводили прямоугольными импульсами при частоте 80 Гц в течение 30—50 с (электростимулятор ЭСЛ-2). Показателем болевого ощущения служили крик и попытка животного вырваться из клетки, дефекация и мочеиспускание.

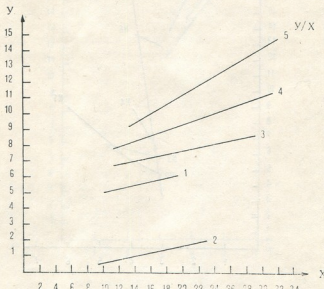
Полученные результаты обрабатывались методами вариационной статистики, с применением регрессионного и корреляционного анализов.

РЕЗУЛЬТАТЫ ИССЛЕДОВАНИЙ

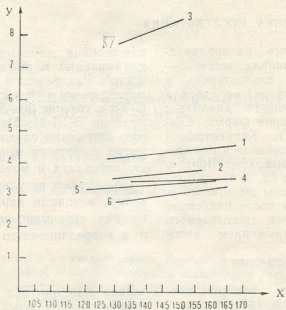
Нанесение болевого раздражения, по нашим данным, вызывает увеличение концентрации ренина в плазме крови по сравнению с исходными данными через 30, 60 и 120 мин. Однако концентрация ренина не изменяется через 5 и 15 мин после действия раздражителя. Концентрация альдостерона в плазме крови сперва уменьшена,

однако с 15 мин она начинает увеличиваться и уже через 30, 60 и 120 мин увеличение статистически достоверно (таблица). Как показал регрессионный анализ, зависимость между альдостероном и ренином особенно четко меняется через 60 и 120 мин после раздражения. Об этом говорят изменения линии регрессии через 60 и

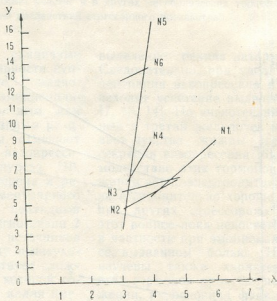
A



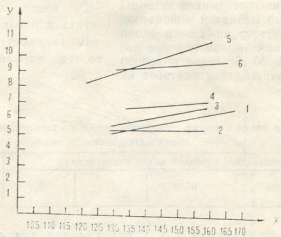
Б



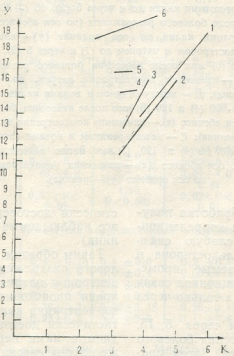
Б



Г



Д



12238

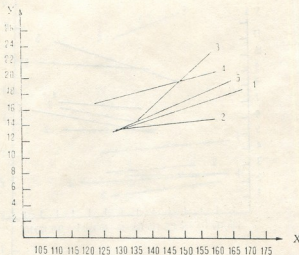


Рис. 1. Линии регрессии взаимоотношения: А — между альдостероном и ренином до (1) и через 5 (2), 30 (3), 60 (4) и 120 (5) мин после болевого раздражения (по оси абсцисс (х) — изменения концентрации ренина, по оси ординат (у) — альдостерона); Б — между ионами натрия и калия до (1) и через 5 (2), 15 (3), 30 (4), 60 (5) и 120 (6) мин после нанесения болевого раздражения (по оси абсцисс (х) — изменения концентрации натрия, по оси ординат (у) — калия); В — между альдостероном и ионами калия до и через 5 (2), 15 (3) 30 (4), 60 (5) и 120 (6) мин после болевого раздражения (по оси абсцисс (х) — изменения концентрации калия, по оси ординат (у) — альдостерона); Г — между альдостероном и натрием до (1) и через 5 (2), 15 (3) 30 (4), 60 (5) и 120 (6) мин после нанесения болевого раздражения (по оси абсцисс (х) — изменения концентрации натрия, по оси ординат (у) — альдостерона); Д — между ренином и ионами калия до (1) и через 5 (2), 30 (3), 60 (4) и 120 (5) мин после нанесения болевого раздражения (по оси абсцисс (х) — изменения концентрации калия, по оси ординат (у) — ренина); Е — между ренином и ионами натрия до (1) и через 5 (2), 30 (3), 60 (4) и 120 (5) мин после нанесения болевого раздражения (по оси абсцисс (х) — изменения концентрации натрия, по оси ординат (у) — ренина)

120 мин (рис. 1 А). Обработка полученных данных методом корреляционного анализа выявила слабую связь между показателями альдостерона и ренина во все наблюдаемые промежутки времени. Корреляционная связь статистически достоверна только через 60 и 120 мин (таблица).

Концентрация натрия через 5, 15, 30 и 60 мин после нанесения болевого раздражения не меняется. Затем происходит увеличение концентрации, которая становится статистически достоверной только через 120 мин. Концентрация калия однако после нанесения болевого раздражения стати-

стически достоверно уменьшается во все наблюдаемые нами периоды (таблица).

Таким образом, после нанесения болевого раздражения изменение концентрации натрия и калия в плазме крови происходит разнонаправленно: концентрация калия уменьшается статистически достоверно во все наблюдаемые нами периоды, концентрация же натрия сперва не меняется и только через 120 мин увеличивается.

Корреляционная связь между показателями натрия и калия слабая, но статистически достоверна в исходном состоянии и через 15 мин после нанесе-



сения болевого раздражения; в следующие периоды наблюдения связь не выявляется и только через 60—120 мин становится сильной и статистически достоверной (таблица). Линии регрессии не отличаются друг от друга (рис. 1Б).

в состоянии, так и через 5, 15, 30, 60 и 120 мин после нанесения стрессора. Процесс взаимоотношения между альдостероном и калием быстро меняется после нанесения стрессора. Об этом говорят изменения линий регрессии, особенно через 30, 60 и 120 мин после действия раздражителя (рис. 1В).

Таблица 1

Изменение концентрации альдостерона, ренина, натрия и калия до и после болевого раздражения

Показатели вариационной обработки	Исходная концентрация	Концентрация после болевого раздражения, мин				
		5	15	30	60	120
Альдостерон нмоль/л						
$\bar{x} \pm m_x$	$5,66 \pm 0,5$	$5,12 \pm 0,66$	$5,35 \pm 0,46$	$6,54 \pm 0,65$	$8,04 \pm 3,75$	$9,58 \pm 2,66$
$\bar{b} \pm m_b$	$1,93 \pm 0,3$	$2,49 \pm 0,45$	$1,74 \pm 0,31$	$2,44 \pm 0,5$	$3,75 \pm 0,6$	$3,91 \pm 0,71$
$x \pm 2s$	$2,86 \pm 8,4$	$0,15 \div 10,89$	$1,66 \div 11,7$	$1,35 \div 11,7$	$0,99 \div 15,9$	$0,33 \div 18,8$
P		3,0	1,55	2,49	3,8	4,66
		$P < 0,001$	$P < 0,15$	$0,05 < P < 0,02$	$P < 0,001$	$P < 0,001$
Ренин нг/мл/ч						
$\bar{x} \pm m_x$	$3,84 \pm 0,39$	$3,79 \pm 0,34$	$3,85 \pm 0,312$	$5,15 \pm 0,45$	$5,4 \pm 0,53$	$5,75 \pm 0,6$
$\bar{b} \pm m_b$	$1,3 \pm 0,26$	$1,13 \pm 0,23$	$1,03 \pm 0,21$	$1,5 \pm 0,9$	$1,77 \pm 0,35$	$1,99 \pm 0,41$
$x \pm 2s$	$1,24 \div 6,44$	$1,52 \div 6,06$	$1,8 \div 5,92$	$2,14 \div 8,14$	$1,86 \div 8,93$	$1,78 \div 8,8$
		0,13	0,14	8,79	4,6	8,5
		$P < 0,9$	$P < 0,9$	$P < 0,001$	$P < 0,001$	$P < 0,001$
Натрий м/моль/л						
$\bar{x} \pm m_x$	$140,8 \pm 8,7$	$139 \pm 2,77$	$141,36 \pm 3,35$	$141,2 \pm 3,96$	$146,4 \pm 6,6$	$153,5 \pm 5,7$
$\bar{b} \pm m_b$	$13,09 \pm 2,56$	$9,39 \pm 1,84$	$9,53 \pm 2,23$	$10,49 \pm 2,62$	$17,4 \pm 4,36$	$12,91 \pm 3,7$
$x \pm 2s$	$113,8 \div 167,7$	$119 \div 158,3$	$123,8 \div 159,6$	$125,2 \div 157,2$	$113,9 \div 178,5$	$131,6 \div 175,3$
		1,43	0,14	0,17	1,21	3,81
		$P < 0,1$	$P < 0,9$	$P < 0,8$	$P < 0,1$	$P < 0,001$
Калий м/моль/л						
$\bar{x} \pm m_x$	$4,13 \pm 0,05$	$3,74 \pm 0,15$	$3,71 \pm 0,23$	$3,56 \pm 0,13$	$3,42 \pm 13$	$3,7 \pm 0,15$
$\bar{b} \pm m_b$	$0,19 \pm 0,03$	$0,52 \pm 0,1$	$0,65 \pm 0,15$	$0,29 \pm 0,08$	$0,29 \pm 0,08$	$0,5 \pm 0,1$
$x \pm 2s$	$4,61 \div 3,65$	$2,67 \div 4,8$	$2,45 \div 4,95$	$3,04 \div 4,0$	$2,9 \div 3,9$	$2,6 \div 4,8$
		3,3	4,08	2,81	4,45	15
		$0,05 < P < 0,02$	$P < 0,001$	$0,02 < P < 0,01$	$P < 0,001$	$P < 0,001$
Показатели корреляционной обработки						
$r \pm m_r$						
Ал+рен	$0,23 \pm 0,3$	$0,4 \pm 0,16$	$0,2 \pm 0,3$	$0,2 \pm 0,1$	$0,3 \pm 0,2$	$0,47 \pm 0,2$
Ал+На	$0,3 \pm 0,28$	$0,2 \pm 0,3$	$0,05 \pm 0,4$	$0,03 \pm 0,3$	$0,34 \pm 0,38$	$0,03 \pm 0,4$
Ал+К	$0,5 \pm 0,02$	$0,5 \pm 0,2$	$0,2 \pm 0,44$	$0,4 \pm 0,4$	$1,1 \pm 0,2$	$0,08 \pm 0,2$
Рен+На	$0,4 \pm 0,3$	$0,1 \pm 0,3$	$0,3 \pm 0,2$	$0,5 \pm 0,2$	$0,07 \pm 0,2$	$0,58 \pm 0,2$
Рен+К	$0,4 \pm 0,3$	$0,36 \pm 0,3$	$0,20 \pm 0,48$	$0,25 \pm 0,40$	$0,06 \pm 0,15$	$0,2 \pm 0,4$
На+К	$0,4 \pm 0,2$	$0,23 \pm 0,7$	$0,5 \pm 0,3$	$0,1 \pm 0,4$	$0,5 \pm 0,1$	$0,5 \pm 0,43$

Наблюдается разное взаимоотношение вышеуказанных гормонов с электролитами.

Особая связь выявляется между альдостероном и ионами калия. Коэффициент регрессии y/x и x/y статистически достоверен как в исходном со-

стоянии, так и через 5, 15, 30, 60 и 120 мин после нанесения стрессора. Процесс взаимоотношения между альдостероном и калием быстро меняется после нанесения стрессора. Об этом говорят изменения линий регрессии, особенно через 30, 60 и 120 мин после действия раздражителя (рис. 1В).

Между ренином и ионами калия выявляется статистически достоверная корреляционная связь в исходном состоянии и уже через 5 мин после действия раздражения; в остальные периоды связь слабая и недостоверная. Линии регрессии меняются через 30, 60 и 120 мин (рис. 1 Д), что говорит об изменении процесса взаимоотношения между этими показателями.

ОБСУЖДЕНИЕ РЕЗУЛЬТАТОВ

Как показали наши данные, стрессреакция, вызванная электрическим раздражением кожи в стадии тревоги, сопровождается изменением содержания альдостерона и ренина в плазме крови. Эти гормоны вместе с АДГ-вазопрессином, гормоном нейрогипофизарной системы, составляют единую целую в регуляции водно-электролитного гомеостазиса, удерживая концентрацию натрия и калия в плазме крови на оптимальном уровне и при болевом раздражении. По нашим данным альдостерон и ренин выявляют корреляционную связь с ионами натрия и калия, но после действия болевого раздражения чувствительность этих гормонов к ионам калия выявляется сильнее, чем к ионам натрия. Это можно объяснить тем, что с наступлением стрессреакции концентрация ионов калия в плазме крови уменьшается во все наблюдаемые нами периоды и удерживание ее на оптимальном уровне более необходимо, чем концентрации натрия, которая сперва не изменяется и увеличивается только через 120 мин после действия раздражителя. Может быть, этот факт каким-то образом связан с другим процессом.

Группа авторов [8], изучавшая активность ренина при психо-социальном стимуле у крыс (помещали их в ящик, разделенный прозрачной стенкой на два отдела, в присутствии голодного кота), наблюдала сильное увеличение активности ренина в плазме крови. Полученные авторами данные объясняются сужением почечных сосудов,

Между ренином и ионами натрия выявляется сильная корреляционная связь в исходном состоянии и через 120 мин после действия раздражения. В промежутке между этими периодами корреляционная связь становится слабой; линия регрессии меняется только через 30 мин после болевого раздражения.

вызванным различными веществами, которые выделяются в ответ на возбуждение симпато-адреналовой системы [8]. Наряду с возбуждением симпато-адреналовой системы в этих условиях допустимо и возбуждение гипotalамо-нейрогипофизарной системы, отмечаемое в литературе при болевом стрессе [10]. Усиление выделения вазопрессина, альдостерона и ренина во время болевого стресса указывает на участие гипotalамо-нейрогипофизарно-надпочечниковой системы в стрессе, вызванном болевым раздражением.

Кроме электролитного перераспределения, эти гормоны, видимо, включаются и в другие метаболические сдвиги, направленные против болевого раздражения, в частности в усиление действия эндогенных опиатов. Это мнение поддерживается экспериментальными данными Росснер и соавт. [13], которые нашли энкефалинергические связи, содержащие опиоидные пептиды между супраоптическими и паравентрикулярными ядрами гипotalамуса и нейрогипофизом. Авторы предполагают, что лейцин энкефалин при стрессе высвобождается вместе с вазопрессином, который модулирует его действие.

Таким образом, наши данные показали, что в развитии общего адаптационного синдрома организма, наряду с симпато-адреналовой и гипotalамо-аденогипофизарной, принимает участие и гипotalамо-нейрогипофизарно-надпочечниковая система.



1. Афонин В. В., Орлов Л. Л., Калята Н. Ф., Витинг Т. А., Тигранян Р. А. Космическая биология и авиакосмическая медицина, 16, 3, 13—16, 1982.
2. Бриккер В. Н. В сб.: Нарушение электролитного обмена при сердечно-сосудистых заболеваниях, «Медицина», Л., 1965, 51—71.
3. Гзиришвили Н. А. Изв. АН ГССР, сер. биол., 3, 2, 115—123, 1977.
4. Гзиришвили Н. А. Изв. АН ГССР, сер. биол., 6, 6, 485—492, 1980.
5. Лакин Г. Ф. Биометрия, «Высшая школа», М., 1968.
6. Anderson B. Ann. Rev. Physiol., 39, 185—200, 1977.
7. Clamage D. M., Sanford Ch., Vander A. J., Mow D. R. Amer. J. Physiol., 231, 4, 1290—1294, 1976.
8. Bunag K. D. Cardiovascular Res., 11, 67—73, 1967.
9. Davis J. O., Freeman R. H. Physiol. Rev., 56, 1, 2—44, 1976.
10. Mirsky A. B. Arch. Neurol. Psychiat., 73, 1, 135—137, 1955.
11. O'Connor W. J., Verney E. Q. J. Exp. Physiol., 31, 393—396, 1942.
12. Rydin H., Verney E. Q. J. Exp. Physiol., 34, 235—260, 1972.
13. Rossier J., Pittman Q., Bloom F., Guillemin R. Fed. Proc., 39, 8, 2555—2560, 1980.
14. Tagawa H., Vander A. J., Bonjour J.-P., Malvin R. L. Amer. J. Physiol., 220, 4, 949—951, 1971.
15. Verney E. B. Proc. Roy. Soc. B., 135, 25—106, 1947.

პოცვების ცისხლად ალფოსტერონისა და რანინის ცვლილების
ფიზიოლოგიური მართვისული სტრუქტურის

5. ბრიკერი ვილი, 6. ხშულიავალი, ლ. ყავარაული

მაქაროფილოს სსრ მეცნიერებათა აკადემიის ი. ბერიტაშვილის
სიხლობის ფიზიოლოგიის ინსტიტუტი, თბილისი

რეზიუმე

შოცვრების სისხლში, მტკიცეული გაღიზიანებით გამოწვეული სტრესული მდგრამარეობის დროს, განვაშის სტადიაში, რადიოიმუნოლოგიური მეთოდით შესწავლილ იქნა ალფოსტერონისა და რენინის კონცენტრაცია, ნატრიუმისა და კალიუმის შემცველობასთან ერთად. დაკვირვება წარმოებდა მტკიცეულ გაღიზიანებამდე და გაღიზიანებიდან 5, 15, 30, 60 და 120 წუთის შემდეგ. მტკიცეული გაღიზიანებიდან 5 წუთის შემდეგ პლაზმაში ალფოსტერონისა და რენინის კონცენტრაცია, საშუალო მდგრამარეობასთან შედარებით, შემცველი აღმოჩნდა; 30 წუთიდან ამ ნივთებისათვის კონცენტრაცია სისხლის პლაზმაში იმატებდა. განსაკუთრებით მკვეთრი მატება აღინიშნებოდა მტკიცეული გაღიზიანების მოყენებიდან 120 წუთის შემდეგ.

სისხლში ნატრიუმის კონცენტრაცია მტკიცეული გაღიზიანების მიყენებიდან 5, 15, 30, 60 წუთის განმავლობაში არ იცვლებოდა, 120 წუთის შემდეგ კი მომატებული იყო, ხოლო კალიუმის კონცენტრაცია შემცველი იყო დაკვირვების ცველი საფეხურზე.

მიღებული ცვლილებების მიხედვით უნდა ვივარიუდოთ. რომ ალფოსტერონი და რენინი ჰიპოთალამურ-ჩერინოპიზური სისტემის აგზებასთან ერთად არეგულირებენ ელემტროლიტურ ჰომეოსტაზს. შესაძლოა ტკიცილით გამოწვეული სტრესის დროს სუპრაამბტიკონეირო-ჰიპოფიზური სისტემა სხვა მეტაბოლურ პროცესებშიც მონაწილეობს, რომელიც ახდენენ სტრესის შედეგად მიღებული ცვლილებების ელიმინაციის.

THE DYNAMICS OF CHANGES IN ALDOSTERONE AND RENIN CONTENT IN THE RABBIT'S BLOOD DURING NOCICEPITIVE STIMULATION

გერმანიული

N. A. GZIRISHVILI, Ts. G. KHUKHUNEISHVILI, L. A. KAMARAULI

I. S. Beritashvili Institute of Physiology, Georgian Academy of Sciences. Tbilisi, USSR

Summary

The concentration of aldosterone and renin was determined in the rabbit's blood, with simultaneous study of sodium and potassium content, under the stress, at the stage of alarm, caused by nociceptive stimulation, using the method of radioimmune analysis. The observations were carried out 5, 15, 30, 60, 120 min before and after the application of nociceptive stimulation. The concentration of aldosterone and renin decreases in 5 min after nociceptive stimulation, while their concentration in blood plasma shows an increase in 30 min. Especially sharp changes are observable in 120 min after nociceptive stimulation. The regressive relation between the content of aldostero-

ne and renin changes in 60 and 120 min, whereas the correlation is preserved. The concentration of sodium remains unchanged during 5-60 min after the application of nociceptive stimulation, while it is increased in 120 min. The potassium concentration is decreased at every stage of observation.

The revealed changes are analyzed in connection with the stimulation of hypothalamo-neurohypophyseal system together with which aldosterone and renin regulate electrolytic homeostasis. It is not ruled out, that the supraoptico-neurohypophyseal system takes part in other metabolic processes directed toward the elimination of consequences of stress.

УДК 611.018.84 : 813.12

ГИСТОЛОГИЯ

ВЛИЯНИЕ ИОНОВ НА РАСПРЕДЕЛЕНИЕ НЕЙРОГЛИАЛЬНЫХ КЛЕТОК В СУПРАСИЛЬВИЕВОЙ ИЗВИЛИНЕ МОЗГА КОШКИ

Н. А. Костенко

Институт физиологии им. И. С. Бериташвили АН ГССР, Тбилиси

Поступила в редакцию 17.09.1984

Исследовалось распределение астроцитов и олигодендроцитов, а также изменение нейронно-глиальных отношений в коре супрасильвиеевой извилины мозга кошки при аппликации на поверхность коры растворов KCl разной концентрации (20 мМоль/л, 30 мМоль/л, 40 мМоль/л). Данные количественного анализа показали, что при аппликации KCl количество олигодендроцитов увеличилось по всем слоям по сравнению с контролем, особенно в нижних слоях коры. Количество астроцитов увеличилось достоверно в V слое коры. Во всех случаях увеличилось количество нейронов, имеющих сателлиты. Наиболее отчетливая реакция сателлитоза отмечалась при аппликации 30 мМоль/л. При аппликации 40 мМоль/л реакция со стороны олигодендроцитов и астроцитов имеет менее выраженный характер. Возможно, концентрация 30 мМоль является предельной для выявления активности нейроглии.

В последнее время все шире ведутся исследования деятельности мозга с учетом большой роли нейроглиальных клеток в его электрогенезе. Известно, что глиальная мембрана чувствительна даже к незначительным изменениям концентрации ионов калия в межклеточных щелях [4]. При этом мембрана глиальных клеток деполяризуется. Поглощая из межклеточных щелей избыточное количество ионов калия и удерживая их, глиальные клетки тем самым защищают нейроны от чрезмерных взаимовлияний, связанных с освобождением ионов калия при активации нейронов [4, 9, 10, 14, 16].

Важная роль ионов калия в деятельности нервной системы побудила нас провести исследование нейронно-глиальных взаимоотношений при воздействии KCl с разной концентрацией ионов калия на поверхность коры.

Исследование проводили на взрослых кошках при глубоком нембуталовом наркозе (80 мг/кг). Аппликация KCl с разной концентрацией ионов

калия (20 мМоль/л, 30 мМоль/л, 40 мМоль/л) производилась на среднюю часть супрасильвиеевой извилины — поле Iтsp [16]. При аппликации использовалось специальное приспособление, позволяющее одновременно с аппликацией производить регистрацию электрических потенциалов, в нашем случае дендритные потенциалы (ДП) [1]. Через 1 ч после начала аппликации мозг фиксировался в 10%-ном формалине. Кусочки мозга (поле Iтsp) заливались в парафин ирезались на срезы толщиной 15 мкм. Срезы окрашивались галлоцианин-хромовыми квасцами по Эйнарсону. Методика подсчета нейронов и нейроглии и выведения индексов описана ранее [3]. Статистическая обработка и сравнительный анализ полученных данных велись методом вариационной статистики по Стьюденту.

Результаты опытов с аппликацией на поверхность коры мозга кошки растворов KCl разной концентрации приведены в таблице и на рисунке. При действии KCl с концентрацией

20 мМоль/л подсчет количества астроцитов не дал достоверного отличия от контроля во всех слоях, кроме V слоя, где их количество несколько больше, чем в контроле. Подсчет олигодендроцитов показал увеличение их количества в нижних слоях коры (V—VI). Это подтвердил и соответствующий индекс: отношение всех олигодендроцитов ко всем нейронам (рис. 1). Для выяснения соотношения сателлитных и свободных нейроглиальных клеток были подсчитаны нейроны без сателлитов и нейроны с разным количеством

6,5%, с 3 — на 2,8%, с 4 и более сателлитами уменьшилось в полтора раза.

При действии KCl в концентрации 30 мМоль/л количество астроцитов по всем слоям не дало достоверных отличий от контроля. Количество олигодендроцитов увеличилось в III—V слоях на 27,8% ($p < 0,001$), а индекс $\frac{\text{все олиг.}}{\text{все нейр.}}$ показал достоверное увеличение олигодендроцитов в IV—VI слоях (рис.). Из приведенной таб-

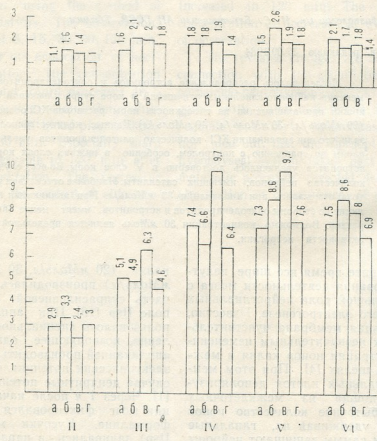


Рис. 1. Распределение по слоям астроцитов (А) и олигодендроцитов (Б) в коре супрасильвийской извилины мозга кошки в контроле (а) и при аппликации KCl с разной концентрацией ионов калия: б — 20 мМ, в — 30 мМ, г — 40 мМ

вом сателлитов. Из таблицы видно что во всех слоях коры суммарно уменьшалось количество нейронов с сателлитами на 4,3%. Наибольшее их количество выявилось в нижнем комплексе слоев. Количество нейронов с 2 сателлитами увеличилось на

лицы видно, что суммарно по всем слоям количество нейронов с сателлитами увеличилось на 18,3% по сравнению с контролем. Наибольшее количество нейронов с сателлитами наблюдалось в III—V слоях коры. Нейроны с 2, 3, 4 и более сателлита-

ми увеличилось в количестве по всем слоям, причем в V—VI слоях это увеличение значительное.

При аппликации растворов KCl в концентрации 40 мМоль/л количество астроцитов достоверно увеличилось в V слое (рис.), олигодендроциты — в IV—VI слоях. При анализе таблицы выявилось, что сателлитоз проявился в меньшей степени, а именно, количество всех нейронов, имеющих сателлиты, увеличилось только на 2,9%. Наибольшее увеличение количества нейронов с сателлитами отмечается в V слое коры. В данном случае реакция сателлитоза произошла за счет нейронов с 2—4 сателлитами, в то время как нейроны с одним сателлитом почти не изменились в числе. Нейронов с 5 и 6 сателлитами в данном случае в просмотренных срезах не наблюдалось.

Анализ полученных данных показал, что при аппликации растворов KCl произошли изменения со стороны нейроглиальных элементов и в основном со стороны олигодендроцитов. В опытах на культуре ткани показа-

ния 30 мМоль/л. Количество нейронов с сателлитами увеличилось на 5,9%. Исходя из наших наблюдений, эта концентрация является предельной для активности нейроглиальных клеток, так как при 40 мМоль/л не наблюдается столь выраженной реакции сателлитоза (число нейронов с сателлитами увеличилось только на 2,9%) и нейронов с 5 и 6 сателлитами не наблюдалось. Это опять-таки согласуется с данными на культуре ткани, когда при введении в среду больших концентраций ионов калия (114 мМоль/л) не происходило образования отростков и сразу наступало угнетение их двигательной активности [6].

В наших опытах в течение всего времени аппликации KCl с поверхности регистрировался ДП. Ионы калия при их низкой концентрации вызывают увеличение амплитуды ДП, а при более высоких концентрациях ионов калия амплитуда ДП уменьшается [2]. ДП обусловлен проведением возбуждения по волокнам I слоя коры [5]. Наши количественные данные вы-

Таблица

Распределение по слоям нейронов с разным количеством сателлитов в поле Hsp в контроле и при аппликации KCl (в % от общего количества нейронов)

Слой	Нейроны без сателлитов				Нейроны с 1 сателлитом				Нейроны с 2 сателлитами				Нейроны с 3 сателлитами				Нейроны с 4 и более сателлитами				
	А	Б	В	Г	А	Б	В	Г	А	Б	В	Г	А	Б	В	Г	А	Б	В	Г	
II	21,7	24,6	24,9	23,2	3,4	3,3	3,4	4,0	0,4	0,5	0,1	0,2	—	—	—	—	—	—	—	—	—
III	14,9	14,1	13,8	15,0	4,2	4,5	5,6	5,6	1,2	1,3	1,5	1,4	0,08	0,2	0,1	0,1	—	0,2	0,06	—	—
IV	13,1	12,3	9,8	11,5	5,0	4,8	5,6	5,3	1,8	2,0	2,4	1,4	0,5	0,4	0,7	0,2	0,05	0,05	0,08	0,03	—
V	8,5	5,6	5,3	6,4	3,5	3,6	3,8	4,2	1,7	2,7	2,2	1,9	0,9	0,9	1,2	0,9	0,2	0,6	0,8	0,2	—
VI	11,0	9,1	9,4	9,9	5,6	5,4	5,1	6,0	1,5	2,7	2,4	1,9	0,4	0,7	0,6	0,3	0,02	0,1	0,2	0,07	—
	69,2	65,7	63,2	66,0	21,7	21,6	23,5	25,1	6,6	9,2	8,6	6,8	1,88	2,2	2,6	1,5	0,27	0,95	1,14	0,3	—

Примечание: А — контроль; Б—Г — аппликация KCl разной концентрации:
Б — 20 мМоль/л; В — 30 мМоль/л; Г — 40 мМоль/л

но, что небольшое увеличение концентрации ионов калия в среде (до 14 мМоль/л) вызывает двигательную активность олигодендроцитов, наблюдается рост и движение их отростков [6]. В наших опытах сравнительно небольшие концентрации ионов калия (20—30 мМоль/л) вызывали реакцию сателлитоза. В качестве сателлитов в основном выступают олигодендроциты. Наиболее отчетливая реакция сателлитоза наблюдается при аппликации KCl с концентрацией ионов ка-

тии 30 мМоль/л. Количество нейронов с сателлитами увеличилось на 5,9%. Исходя из наших наблюдений, эта концентрация является предельной для активности нейроглиальных клеток, так как при 40 мМоль/л не наблюдается столь выраженной реакции сателлитоза (число нейронов с сателлитами увеличилось только на 2,9%) и нейронов с 5 и 6 сателлитами не наблюдалось. Это опять-таки согласуется с данными на культуре ткани, когда при введении в среду больших концентраций ионов калия (114 мМоль/л) не происходило образования отростков и сразу наступало угнетение их двигательной активности [6].

Существуют следующие механизмы проникновения ионов калия: 1) диффузия из мест большой концентрации ионов калия [8, 13], 2) активное поглощение глисси или нейроном, так называемый калиевый насос [12, 17]; 3) механизм электрического переноса [11, 16].

Предполагается, что проникновение путем диффузии и активный перенос ионов калия идет одновременно и довольно быстро [12]. Исходя из приведенных литературных данных можно понять наблюдаемую в наших опытах реакцию нейроглии не только в по-

верхностных, но и в нижних слоях коры. Суммируя все вышеизложенное, можно предположить, что при увеличении концентрации ионов калия в межклеточных щелях определенным образом реагирует нейроглия, особенно олигодендроглия коры мозга.

ЛИТЕРАТУРА

1. Гедеванишвили Г. И. Сообщение АН ГССР, 100, 437—440, 1980.
2. Гелиташвили Д. Е. Изв. АН ГССР, сер. биол., 5, 188—200, 1979.
3. Купарадзе М. Р., Костенко Н. А. Изв. АН ГССР, сер. биол., 6, 211—216, 1980.
4. Куффлер С., Николос Дж. От нейрона к мозгу, «Мир», М., 1979, 241—273.
5. Ройтбак А. И. Современные проблемы электрофизиологических исследований нервной системы, «Медицина», М., 1964, 164—220.
6. Сванидзе И. К., Ройтбак А. И., Диgidимова Е. В. ДАН СССР, 211, 1450—1452, 1973.
7. Сванидзе И. К., Диgidимова Е. В. Изв. АН ГССР, сер. биол., 6, 499—505, 1980.
8. Bracho H., Orkand R. K. Brain Res., 36, 416—419, 1972.
9. Gardner-Medwin A. R. J. Exper. Biol., 95, 111—127, 1981.
10. Hamberger A., Heen F. A. Metabolic Compartmentation in Brain., London and Basingstoke, 1973, 305—317.
11. Hertz L. J. Nature, 206, 1091—1094, 1965.
12. Henn F. A., Haljamae H., Hamberger A. Brain Res., 43, 437—443, 1972.
13. Lux H. D., Neher E. Exper. Brain Res., 17, 190—205, 1973.
14. Pedley T. A., Fisher R. S., Futamachi R., Prince D. Fed. Proc., 35, 1254—1259, 1976.
15. Sanides S. F., Hoffman J. J. Hirnforsch., 11, 79—104, 1969.
16. Somjen R. R. Ann. Rev. Physiol., 37, 163—190, 1975.
17. Wendell-Smith C. P., Blunt M. J., Nature, 208, 600—601, 1965.

კალიუმის ოთხთა გავლენა ნიტოგლიური უჯრედების
ზარალურებაზე კატის თავის ტვინის უპარასილვიურ ხვეულაში

6. პოსტინცო

საქართველოს სსრ მეცნიერებათა აკადემიის ი. ბერიძა-შვეიცარის სახელობის
ფიზიოლოგიის ინსტიტუტი, თბილისი

რეზიუმე

კატის დიდი ტვინის ქრექის შუა სუპრა-
სილვიურ ხვეულში (ველი Itsp, სანიტესის
მიხედვით) კალიუმის ოთხთა სხვადასხვა
კონცენტრაციის შემცველი KCl-ის აპლი-
კაციით შესწავლილ იქნა ნეიროგლიური
უჯრედების განაწილება. 15 მეტ სისქის ანა-
თლების შედებვა ხდებოდა ეინარსონის
მეთოდით. მასალის რაოდენობრივმა ანა-

ლიზმა გვიჩვენა, რომ ოლიგოდენდროცი-
ტებისა და სატელიტური ნეირონების რა-
ოდენობის ზრდა, ოლიგოდენდროციტების
ქრივაცია კარგად გამოვლინდება. KCl-ის
ხსნარის აპლიკაციის იმ შემთხვევაში,
როცა K+-ის ოთხთა კონცენტრაცია
30 მმ-ია.

INFLUENCE OF K⁺ ON THE DISTRIBUTION OF NEUROGLIAL CELLS IN SUPRASYLVIAN GYRUS OF CAT'S BRAIN

N. A. KOSTENKO

I. S. Beritashvili Institute of Physiology, Georgian Academy of Sciences, Tbilisi, USSR

Summary

The distribution of neuroglial cells in the medial region of the cat (area Itsp according to Sanides) was studied during the K⁺ application of different concentrations (20, 30, 40 mM). Sections of 15 μ m thick were stained with gallocyanin by method of Einarson. Quantitative evaluation of the data has revealed a statis-

tically significant rise of the number of oligodendrocytes and neurons with satellites, especially at the application of 30 mM concentration K⁺. This concentration was revealed to promote the activation of the neuroglia and particularly the activity of oligodendrocytes.

УДК 577.158:577.150.3

БИОХИМИЯ

**ЗАВИСИМОСТЬ НЕКОТОРЫХ ПОКАЗАТЕЛЕЙ
НИТРОГЕНАЗЫ, ВЫДЕЛЕННОЙ ИЗ *Azotobacter vinelandii* UW-OP,
ОТ СВОЙСТВ РЕАКЦИОННОЙ СРЕДЫ**

Н. О. Гонишвили, Н. Н. Нуцубидзе

Институт биохимии растений АН ГССР, Тбилиси

Поступила в редакцию 27.12.1984

Исследовалось влияние разных органических растворителей на активность нитрогеназы (К. Ф. 1.18.2.1). Выяснилось, что из гидрофобных органических растворителей меньше всех нитрогеназу (НГ) инактивирует глицерин. В двофазной системе (водно-буферный раствор НГ: гидрофобный органический растворитель) с высокой концентрацией органической фазы степень инактивации НГ низка, поэтому различие ее удельных активностей с контролем небольшое. Установлено, что образование обращенных мицелл в бензole липидами, выделенными из *Azotobacter vinelandii* UW-OP, способствует стабилизации НГ.

Один из факторов, влияющий на поведение фермента, — окружающая его среда. В природных условиях ферментативные реакции протекают в воде. Высокая полярность воды, обусловливавшая сильное взаимодействие между белками и растворителем, по существу определяет активную конформацию сложной молекулы белка. Точнее, *in vivo* ферментативные реакции, как правило, идут на поверхности раздела фаз, поскольку наибольшая часть

количества ферментов адсорбирована на мембранных или вторгнута в мембранный слой.

Целью нашей работы являлось исследование зависимости некоторых показателей нитрогеназы (К. Ф. 1.18.2.1) от свойств реакционной среды, которая представляла собой систему, отличающуюся от воды или водно-буферного раствора своими физико-химическими (диэлектрическая проницаемость, полярность) свойствами.

МАТЕРИАЛЫ И МЕТОДЫ

Фермент нитрогеназу выделяли из аэробных азотфикссирующих микробов *Azotobacter vinelandii* UW-OP и очищали по методу Батеса [22] с некоторыми модификациями. Количество белка определяли с помощью реактива Биурета на спектрофотометре СФ-26 [3]. Один миллилитр инкубационной среды ферmenta содержал 1—1,5 мг НГ, 5 мкМ MgCl₂, 20 мкМ Na₂S₅O₄, 5 мкМ АТФ, 50—70 мкМ трис-HCl, 30 мкМ креатинфосфата и 0,5 мг (10 единиц) креатинфосфокиназы. Инкубацию фермента проводили при 30°C на качалке.

Активность НГ определяли модифицированным нами ацетиленовым методом на газовом хроматографе ЛХМ-8МД, снабженном ионным детектором пламени [10, 14, 17, 18]. Аналитические колонки (100 0,3) см были заполнены гранулированной окисью алюминия (0,2—0,4) мм; температура термостата колонок — 100°C; скорость подачи гелия, водорода и воздуха составляла соответственно 20, 20 и 200 см³/мин. Удельную активность по ацетилену вычисляли по формуле: уд. активность = K $\frac{v \cdot h}{m \cdot t}$ [н.моль

$C_2H_2/mg/\text{белка.мин}$], где V — объем газовой фазы в инкубационном сосуде (см^3), h — высота пика этилена (м.м.), m — количество фермента в инкубационной среде (мг), t — время инкубации (мин), K — коэффициент пропорциональности, который в условиях опыта равнялся $14, 32 \text{ моль.см}^{-3}\cdot\text{м.м.}^{-1}$. Удельную активность НГ по молекулярному азоту определяли реагентом

Несслера на спектрофотометре СФЭ-26 [11].

Липиды выделяли из *Azotobacter vinelandii* UW-OP по Кейтсу [1]. Органические растворители очищали известными в литературе методами [4]. Исследование проводили в анаэробных условиях в среде гелия. Приведенные в статье концентрации растворителей выражали в объемных процентах.

РЕЗУЛЬТАТЫ ИССЛЕДОВАНИЯ И ИХ ОБСУЖДЕНИЕ

Влияние гидрофильных органических растворителей на активность НГ. В опытах использовали следующие гидрофильные органические растворители: метиловый и этиловый спирты, диметилсульфоксид, диметилформамид, 1,4-диоксан,monoаминоэтанол, глицерин, этиленгликоль и ацетон. Контролем принимали удельную активность фермента в водно-буферном растворе. Результаты приведены на рис. 1.

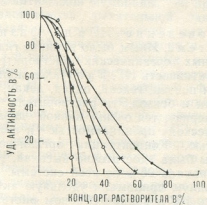


Рис. 1. Зависимость удельной активности НГ от концентрации органического растворителя: ● — глицерин, × — этиленгликоль, ○ — monoаминоэтанол, ▲ — диметилсульфоксид, △ — этанол, □ — ацетон

Как видно из рисунка, резкое падение удельной активности НГ с увеличением концентрации органического растворителя в реакционной среде отмечалось в случаях ацетона и этилового спирта. Аналогично действовали метиловый спирт, 1,4-диоксан и диметилформамид. В 30%-ных растворах этих растворителей удельная активность НГ падала до нуля. В случае

диметилсульфоксида, в отличие от вышеуказанных растворителей, уменьшение удельной активности фермента выражено менее. В 30%-ном растворе диметилсульфоксида удельная активность НГ составляла 24% от активности в водно-буферном растворе, а в 40%-ном растворе — уже равнялась нулю. Степень инактивации фермента в остальных растворителях постепенно уменьшалась в следующей последовательности: monoаминоэтанол → этиленгликоль → глицерин. Так, если удельная активность НГ в 50%-ном растворе monoаминоэтанола равнялась нулю, то в растворах этиленгликоля и глицерина той же концентрации она составляла соответственно 10 и 30% от активности в водно-буферном растворе. НГ полностью инактивировалась в 65%-ном растворе этиленгликоля, а в случае глицерина концентрация, вызывающая полную инактивацию, составляла 80—85%.

Эти результаты согласуются с литературными данными [2, 20] в том, что молекула белка сохраняет нативную структуру, а значит и катализическую активность в тех растворителях, которые участвуют в сольвофобных взаимодействиях. Частным случаем этих взаимодействий, по мнению Рея [20], являются гидрофобные взаимодействия, которые играют основную роль в сохранении нативной структуры молекулы белка в водных растворах [19]. По силе сольвофобных взаимодействий, растворители делят на три класса: 1) вода, глицерин, этиленгликоль, monoаминоэтанол и др.; 2) метилформамид, диметилформамид; 3) метанол, этанол, толуол. Сольвофобные взаимодействия больше всех реализуются в растворителях первого класса, сравнительно меньше — в растворителях

второго класса и практически не существуют в растворителях третьего класса [2]. Поэтому можно считать, что для функционирования НГ наиболее благоприятными должны быть растворители первого класса. Однако из растворителей этого класса, естественно, надо выделять воду, которую использует природа, а затем глицерин.

Известно, что НГ катализирует восстановление соединений, содержащих тройные или условно тройные связи и гидроксоний [9]. В связи с этим представляло интерес изучение восстановления ферментом молекулярного азота и ацетилена в разных концентрациях раствора глицерина. Результаты приведены в табл. 1. Как видно из таблицы, в водно-буферном растворе скорость превращения ферментом ацетилена в этилен в 4,3 раза больше, чем восстановления молекулярного азота. С увеличением концентрации глицерина эта величина постепенно уменьшалась, а в 80%-ном растворе глицерина, наоборот, скорость восстановления азота была вдвое больше, чем скорость восстановления ацетилена. В случае ацетилена наблюдалось 105-кратное уменьшение скорости реакции, тогда как скорость превращения молекулярного азота уменьшилась 12 раз, т. е. почти в 10 раз медленнее. По литературным данным [2], чем менее реакционноспособен субстрат по отношению к ферменту в воде, тем меньше падает скорость его превращения при переходе в смесь воды с органическим растворителем. Следовательно, в это время происходит изменение специфичности фермента, что и можно использовать для выяснения механизма специфичности действия ферментов.

В время изучения ферментативного катализа надо разграничивать влияние среды на каталитические группы в активном центре от ее влияния на активную конформацию фермента. Исключено, чтобы использованные нами растворители могли бы вызвать химическое модифицирование НГ. Более допустимо, что уменьшение удельной активности фермента как в глицерине, так и в других гидрофильных органических растворителях было вызвано нарушением активной конформации молекулы НГ. Повторением этого является зависимость оптического поглощения НГ в ультрафиолетовой об-

ласти (278 нм) от концентрации глицерина (рис. 2). Как видно из рисунка, даже малое количество глицерина вызывает конформационное изменение молекулы НГ, которое с увеличением концентрации растворителя переходит в денатурацию. Резкий скачок на кривой соответствует процессу денатурации фермента.

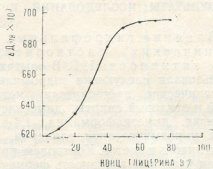


Рис. 2. Оптическое поглощение НГ при 278 нм
как функция концентрации глицерина

Поведение НГ в двухфазной системе. Иным было влияние гидрофобных органических растворителей на активность НГ. В опытах использовали пентан, гексан, октан, декан,undiекан и бензол. Эти растворители характеризуются очень низкой диэлектрической проницаемостью и полярностью. Концентрация органической фазы была достаточно высокая, она составляла 95% от всей системы. За исходную принимали удельную активность НГ в водно-буферном растворе. В одном случае система представляла эмульсию — водно-буферный раствор НГ: гидрофобный органический растворитель, а в другом случае — суспензию — пористое стекло (размер пор 5—15 мк): гидрофобный органический растворитель. Пористое стекло пропитывали НГ и водно-буферным раствором компонентов для функционирования фермента. Результаты приведены в табл. 2.

Как видно из таблицы, удельные активности уменьшены по сравнению с исходной как в первом, так и во втором случаях, однако разница не очень большая. По нашему мнению, уменьше-

ние было вызвано растворением малого количества органического растворителя в воде и, в результате, малым изменением конформации НГ, или же денатурацией части фермента. Помещение НГ в пористое стекло вызывало сравнительное увеличение удельной активности фермента. Как видно, адсорбция НГ на поверхности пор стекла повышала степень устойчивости структуры белка по отношению к влиянию гидрофобных органических растворителей.

Таким образом, в двуфазной системе с малым содержанием воды НГ, как и некоторые другие ферменты [7], функционирует хорошо.

Поведение НГ в обращенных мицеллах. Установлено, что в интактных клетках *Azotobacter vine landii* НГ локализована на цитоплазматических мембранах, которые имеют окислительно-восстановительные функции, но они с процессом фиксации азота непосредственно не связаны [5, 12]. Клеточные мембранные структуры, которые содержат НГ, называются азотофорами [21]. Что касается цитоплазматической мембранны, ей приписывается роль дыхательной защиты (увеличение темпа дыхания для удаления избыточного кислорода [13, 15]) и генератора некоторых компонентов, которые участвуют в восстановлении НГ [16]. Существуют факты (более низкая активность фракций, содержащих азотофоры, по сравнению с очищенными препаратами НГ), которые ставят под сомнение участие мембран в процессе фиксации азота.

Известно, что полярные липиды при диспергировании в воде образуют мицеллы, в которых углеводородные хвосты липидов защищены от контакта с водой, образуя гидрофобную fazу, а гидрофильные головы расположены на внешней поверхности мицелл [5]. Если вместо воды использовать какой-нибудь гидрофобный растворитель, то при диспергировании липидов в них произойдет образование так называемых «обращенных мицелл». В таких мицеллах полярные группы образуют ядро мицелл, а углеводородные фрагменты — внешний слой, подобно поверхностно активным веществам [8].

Нами было изучено влияние времени и температуры на стабильность НГ, находившейся в обращенных ми-

циллах. Суммарную фракцию липидов отделяли от хлороформа током гелия при 30°C и полученный остаток растворяли в октане, декане, ундекане, пентане, гексане и бензоле. Поскольку наиболее хорошей растворимостью обладал бензол, его и использовали в наших опытах. 40 мг препарата растворяли в 5 мл бензола и прибавляли к нему 0,1 мл водно-буферного раствора НГ (1,2 мг). При встряхивании образовывалась мицеллярная эмульсия. Для определения активности (АТР-генерирующую систему и донор электронов не добавляли в эмульсию) мицеллы осаждали центрифугированием эмульсии при 20000 g. В это время НГ отделялась от осадка липидных частиц. Бензол удаляли с помощью шприца.

Для изучения влияния времени на активность фермента использовали мицеллярный раствор НГ в бензоле, а в качестве контроля водно-буферный

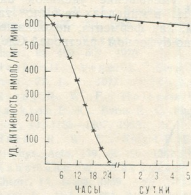


Рис. 3. Зависимость удельной активности НГ от времени: ● — мицеллярная эмульсия НГ в бензоле, × — НГ в водно-буферном растворе

раствор фермента. В опытах применяли НГ, очищенную 23-кратно. Инкубацию проводили при комнатной температуре (25°C) в темноте. Оказалось, что фермент в водно-буферном растворе полностью инактивировался в течение 24—27 ч, в то время как НГ в обращенных мицеллах в бензоле в течение 5 дней теряла лишь 5—8% исходной активности, т. е. практически сохраняла исходную активность (рис. 3).

Изучено влияние высокой температуры на НГ активность в мицеллах.

Для сравнения использовали водно-буферный раствор фермента, очищенного 15- и 23-кратно. Инкубацию про-

изнесенных белков и, особенно, мембранных компонентов.

Для подтверждения этого представления и вышеотмеченного результата снимали спектры оптического поглощения в ультрафиолетовой области (278 нм) НГ, денатурирующейся при 60°C. (рис. 5). После центрифугирования мицеллярной эмульсии и удаления бензола брали 0,03 мл супернатанта, переносили в кювету и разбавляли водно-буферным раствором до 3,5 мл. В этих опытах применяли НГ, очищенную 23-кратно. Контролем служила НГ в водно-буферном растворе. При измерении оптических поглощений фермента во всех случаях использовали анаэробные кюветы.

Как видно из рис. 5, кривая денатурации НГ в водно-буферном растворе характеризуется более резким скачком, чем кривая НГ, находящейся в обращенных мицеллах.

Результаты опытов свидетельствуют о том, что в обращенных мицеллах между НГ и липидами существуют определенные взаимодействия, что выражается в стабилизации НГ комплекса. В то же время эти взаимодействия не так сильны, поскольку при центрифи-

Таблица I
Зависимость удельной активности НГ от концентрации глицерина

Концентрация глицерина в %	Удельная активность нмоль C ₁₈ H ₃₆ -белка. мин (A ₁)	Удельная активность нмоль N ₂ /мг-белка. мин (A ₂)	A ₁ A ₂
0	525	122	4,3
10	483	117	4,1
20	388	102	3,8
30	299	85	3,5
40	220	68	3,2
50	141	51	2,8
60	81	37	2,2
70	34	23	1,5
80	5	10	1/2

водили при 60°C. Результаты представлены на рис. 4. Как видно из рисунка, уменьшение удельной активности НГ в мицеллах не было таким резким, как фермента, находившегося в водно-буферном растворе. Следует

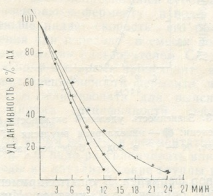


Рис. 4. Влияние температуры (60°C) на удельную активность НГ: ▲ — мицеллярная эмульсия НГ, очищенной 23-кратно в бензоле; водно-буферные растворы НГ, очищенной × — 15-кратно, ● — 23-кратно

отметить, что с увеличением степени чистоты НГ время ее инактивации уменьшалось. Это указывает на защитную функцию присутствующих

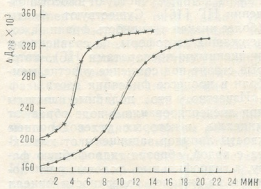


Рис. 5. Оптическое поглощение (278 нм) НГ при воздействии температуры (60°C) как функция времени: ● — НГ в обращенных мицеллах в бензоле, × — НГ в водно-буферном растворе

гирований они нарушаются. Использование обращенных мицелл, образующихся в бензоле, позволяет создать приближенную модель фермента НГ, функционирующей *in vivo*.

Таблица 2

Удельные активности НГ в двухфазной системе: I — водно-буферный раствор НГ : гидрофобный органический растворитель; II — пористое стекло : гидрофобный органический растворитель

Раствори- тель	I		II	
	Удельная актив- ность, нмоль $C_2H_2/mg\text{-белка}\cdot$ мин	%	Удельная актив- ность, нмоль $C_2H_2/mg\text{-белка}\cdot$ мин	%
Вода	525	100	525	100
Пентан	433	82,5	466	88,8
Гексан	435	82,9	—	—
Октан	439	83,9	473	90,1
Декан	439	83,9	—	—
Ундекан	450	85,7	—	—
Бензол	396	75,4	435	82,9

ЛИТЕРАТУРА

- Кейтс М. Техника липидологии, «Мир», М., 1975.
- Клибанов А. М., Семенов А. Н., Самохин Г. П., Мартинек К. Биоорганическая химия, 4, 82—88, 1978.
- Кочетков Г. А. Практическое руководство по энзимологии, «Высшая школа», М., 1980, 222—223.
- Лабораторная техника органической химии (под ред. Б. Кейла), «Мир», М., 1966, 591—613.
- Левченко Л. А., Ивлева И. Н., Яковлев В. А. В сб.: Новое в изучении биологической фиксации азота, «Наука», М., 1971.
- Лениндже А. Биохимия, «Мир», М., 1974, 246—247.
- Мартинек К., Клибанов А. М., Самохин Г. П., Семенов А. Н., Березин И. В. Биоорганическая химия, 3, 696—702, 1977.
- Мартинек К., Левашов А. В., Клячко Н. Л., Березин И. В. ДАН СССР, 236, 920—923, 1977.
- Проблемы фиксации азота (под ред. Р. Харди, Ф. Боттомли, Р. Бёрнса), «Мир», М., 1982, 455—499.
- Шапошников Г. А. Биохимические методы, М., 1980.
- Шарло Г. Методы аналитической химии, «Химия», М., 1966.
- Яковлев В. А., Левченко Л. А. ДАН СССР, 159, 1173—1174, 1964.
- Ackrel B. A. C., Jones C. W. Eur. J. Biochem., 20, 29—35, 1971.
- Dilworth M. J. Biochim. Biophys. Acta, 127, 285—294, 1966.
- Haaker H., Veeger C. Eur. J. Biochem., 63, 499—507, 1976.
- Haaker H., Veger C. Eur. J. Biochem., 77, 1—10, 1977.
- Hardy R. W. F., Holsten R. D., Jackson E. K., Burns R. C. Plant Physiol., 43, 1185—1207, 1968.
- Hardy R. W. F., Knight E. Biochim. Biophys. Acta, 139, 69—90, 1967.
- Kauzmann W. Advances Protein Chem., 14, 1—63, 1959.
- Ray A. Nature, 231, 313—314, 1971.
- Reed D. W., Toia R. E. Raveed D. Biochem. Biophys. Res. Commun., 58, 20—26, 1974.
- Yates M. G., Planque K. Eur. J. Biochem., 60, 467—476, 1975.

AZOTOBACTER VINELANDII UW-OP-08 60°КРМ80Б6А86

ზოგიერთი გახასიათებლის დამოკიდებულება
სარტყელი პრიც თვისებისაზე

6. ღონიაშვილი, 6. ლიანგიძე

საქართველოს სსრ მცენიერებათა აკადემიის მცენერთა ბიოქიმიის ინსტიტუტი, თბილისი
რეზიუმე

შესწავლით იქნა სხვადასხვა ორგანული
გამხსნელის გავლენა ნიტროგენაზას აქ-
ტივობაზე. გმოირკვა, რომ ჰიდროფი-

ლური ორგანული გამხსნელებიდან ფერ-
მენტის ინაქტივაციას ყველაზე ნაკლებად
იწვევს გლიცერინი. ორფაზიან სისტემაში

(ფერმენტის ბუფერული წყალსნარი — პიღოფობური ორგანული გამხსნელი), ორგანული გამხსნელის მაღალი კონცენტრაციის დროს ($>90\%$), ნიტროგენაზას ინაქტივაციის ხარისხი მცირდა, ამიტომ მისი ხევლრითი აქტივობა საკონტროლოსაგან დაღად არ განსხვავდება. დადგინდა, რომ ბენზოლში ლიპიდებისაგან წარმოქმნილი შებრუნებული მიცელები ზრდიან ნიტროგენაზას სტაბილურობას. ოთახის

ტემპერატურაზე ფერმენტი მთლიანად კარგავს აქტივობის 24—27 საათში, მაგრამ როდესაც შებრუნებულ მიცელების ჩანა თული ნიტროგენაზა ბენზოლში 5 დღის განმავლობაში საჭყისი აქტივობის 5—8 %-ს კარგავს. შებრუნებული მიცელების ასეთივე მასტაბილირებელი ეფექტი ნიტროგენაზაზე შემჩნეულ იქნა მაღალი ტემპერატურის პირობებშიც.

DEPENDENCE OF SOME NITROGENASE INDUCED FROM AZOTOBACTER VINELANDII UW-OP ON REACTION MEDIUM CHARACTERISTICS

N. O. GONIASHVILI, N. N. NUTSUBIDZE

Institute of Plant Biochemistry, Georgian Academy of Sciences, Tbilisi, USSR

Summary

The influence of different solvents on the nitrogenase activity has been studied. Among hydrophobic organic solvents, glycerine appeared to cause the least inactivation. In doublephase system of nitrogenase aqueous buffer solution: hydrophobic organic solvent with the high organic phase concentration, the degree of activation is low, and the difference of specific activity and control is not too big.

It was established that formation of

conversed micells by lipids isolated from *Azotobacter vinelandii* promotes nitrogenase stabilization in benzole. At room temperature (25°C) nitrogenase in aqueous buffer solution completely loses activity within 24-27 hours, while nitrogenase of conversed micells in similar conditions preserves the initial activity even 5 days later. The same stabilizing effect in conversed micells on nitrogenase was obtained under the conditions of high temperature.

УДК 581.9(479)

БОТАНИКА

КОЭФФИЦИЕНТ СХОДСТВА ПЕТРОФИЛЬНОЙ ФЛОРЫ ВЫСОКОГОРНОЙ СВАНЕТИ, РАЧА-ЛЕЧХУМИ И ЮГО-ОСЕТИИ (ЮЖНЫЕ СКЛОНЫ ЦЕНТРАЛЬНОГО КАВКАЗА)

Ш. К. Шетекаури

Институт ботаники им. Н. Н. Кецховели АН ГССР, Тбилиси

Поступила в редакцию 20.11.1984

Обсуждается коэффициент сходства высокогорной (1800—3500 м н. у. м.) петрофильной флоры Сванети, Рача-Лечхуми и Юго-Осетии. Для установления коэффициента сходства между отдельными районами использована формула Престона.

Как в количественном отношении, так и по видовому составу выявлено сходство флоры Сванети и Рача-Лечхуми, от которой значительно отличается флора Юго-Осетии. Это объясняется особенностью геоморфологического строения и истории флоры изучаемых районов.

В течение нескольких лет нами изучались высокогорные флороценотические комплексы южных склонов Центрального Кавказа (Сванети, Рача-Лечхуми, Юго-Осетии). К последнему относится средняя часть горной области Большого Кавказа, расположенная между меридианами гор Эльбрус и Казбек [1, 2].

В результате исследований были выделены следующие высокогорные флороценотические комплексы: скально-осыпно-rossыпные, горно-луговые, рододендронниковые, субальпийско-высокотравные и альпийские ковры; отдельно рассматривались деревья и кустарники.

В статье мы касаемся коэффициента сходства высокогорной флоры скально-осыпно-rossыпного комплекса данной территории.

Как известно [3—10], под высокогорной подразумевается флора пространств, расположенных выше естественного предела распространения лесной растительности (независимо от гипсометрических высот расположения над уровнем моря). Последний обычно совпадает со среднейюльской изотермой, равной 10°C.

Естественные пределы распространения той или иной растительности часто меняются в зависимости от колебаний границ высотной поясности. Наблюдается смещение субальпийского пояса до высоты 1800 м н. у. м., соответственно которому устанавливается нижний предел высокогорья. Верхним пределом распространения высокогорных растений принята высота 3500 м н. у. м., хотя верхней границей произрастания растений считаются гипсометрические высоты со среднейюльской изотермой 3—4°C. К ним относятся орео- и ультраореофиты субнивального пояса, отличающиеся высокой резистентностью.

Все 258 видов, объединенных в 35 семействах и 107 родах, выявленных с указанными высотами в каждом из 3-х флористических районов, представлены в разном количестве. Количественное соотношение таксонов внутри ведущих родов и семейств определило «лицо» флоры исследуемой территории. Выявлены видовые различия состава флор отдельных районов и различия в количественном отношении.

При установлении коэффициента сходства петрофильной флоры вер-

Ареологический спектр скально-сыпуче-рассыпного высокогорного флороценотического комплекса Санети, Рача-Лечхуми и Юго-Осетии

Тип ареалов	Группа ареалов	Число видов	%	Общее число видов			Среди них		
				Санети—Рача-Лечхуми	Санети—Юго-Осетии	Рача-Лечхуми—Юго-Осетии	I	II	III
COLCH	colch: lat; cauc	3	1,16	2	0	0			
	colch: w. gr. cauc	28	10,85	12	2	3			
	colch: colch — lat	3	1,16	3	2	2			
EUCAUC	eucauc: lat, gr. cauc	48	18,60	31	25	25			
	eucauc: centrc. cauc	16	6,20	8	4	6			
	eucauc: cauc. min	1	0,39	1	0	0			
CAUC	cauc: lat. cauc	41	15,89	19	20	18			
	cauc: cauc. as. min	37	14,34	24	23	19			
	cauc: cauc. as. anter	19	7,36	16	14	15			
MEDIT	medit — cauc	5	1,94	2	2	2			
	medit — as. anter — cauc	6	2,32	6	5	5			
	medit — europ — cauc	3	1,16	1	0	0			
EUROP	europ — cauc	2	0,77	1	1	1			
	europ — medit — cauc	4	1,55	3	3	4	25	28	28
AS. MIN	as. min — cauc	4	1,55	1	2	1			
	as. min — europ — cauc	1	0,39	1	0	1			
AS. ANTER	as. anter — cauc	1	0,39	0	1	0			
PANCONT	pancont — cauc	2	0,77	2	2	2			
HOLARCT	holarct — cauc	19	7,36	15	16	15			
PALEARCT	palearct — cauc	15	5,81	12	9	9			
Всего 10	20	258	100	159(61,63%)	130(50,38%)	127(40,22%)			

Примечание: для всех 3-х районов общими являются 120 видов

Условные обозначения: к табл. 1:

Типы:

COLCH — колхидский; EUCAUC — кавказионский (евкавказский); CAUC — кавказский; MEDIT — средиземноморский; EUROP — европейский; AS. MIN — малоазийский; AS. ANTER — переднеазиатский; PANCONT — панконтинентальный; HOLARCT — голарктический; PALEARCT — палеарктический.

Группы:

lat. colch — ширококолхидская; colch-laz — колхидско-чачетская; lat. cauc — ширококавказская; w. gr. cauc — западно-кавказская; centr. cauc — центрально-кавказская; lat. gr. cauc — общекавказионская.

ховьев Ингури, Цхенис-Цкали, Риони, Ксани и Лиахви нами также принималась во внимание типология ареалов [11, 12], в основе которой лежит диапазон современного географического распространения растений и «центр

Таблица 2

Коэффициент сходства и различия между флорами Сванети (I), Рача-Лечхуми (II) и Юго-Осетии (III) на примере скально-осыпного и каменисто-rossыпного флюроценотического комплекса

Флористические районы		I	II	III
	I — Z (Сходство между флорами)	Z (Разница между флорами)		
			0,25	0,35
I				
II		0,75		0,38
III		0,65	0,62	—

ЛИТЕРАТУРА

- Алексин В. В., Кудряшов Л. В., Говорухин В. С. География растений. Учпедгиз, М., 1957.
- Гагнадзе Р. И., Иванишвили М. А. Изв. АН ГССР, сер. биол., 1, 3, 201—209, 1975.
- Гагнадзе Р. И., Иванишвили М. А. Изв. АН ГССР, сер. биол., 1, 5—6, 373—390, 1975.
- Гвоздецкий Н. А. Физическая география Кавказа, МГУ, М., 1954.
- Долуханов А. Г., Сахокиа М. Ф., Харадзе А. Л. Тр. Тбил. бот. ин-та, 8, 114—138, 1942.
- Красноборов И. М. Высокогорная флора Западного Саяна, «Наука», Новосибирск, 1976.

тяжести ареала» отдельных видов. Установлены общие географические элементы для Сванети — Рача-Лечхуми (I, II районы), Сванети — Юго-Осетии (II—III), Юго-Осетии — Рача-Лечхуми (III—II); выявлено также общее число видов всех 3-х флористических районов и количество видов для каждого в отдельности (табл. 1).

Из общего числа видов петрофильной флоры на Сванети приходится — 198, Рача-Лечхуми — 197, Юго-Осетию — 166. Для определения коэффициента сходства между отдельными районами использована формула Престона [13]:

$$\left(\frac{F_1}{F_{1+2}} \right)^{\frac{1}{2}} + \left(\frac{F_2}{F_{1+2}} \right)^{\frac{1}{2}} = 1,$$

где F_1 — число видов, входящих в флору одного района; F_2 — число видов флоры второго сравниваемого района; F_{1+2} — общее число видов двух сравниваемых районов; z — показатель различия между сравниваемыми флорами; 1 — z — коэффициент сходства сравниваемых флор по таблице Престона.

Коэффициент сходства и различия между флорами приводится в табл. 2.

Таким образом, выявилось сходство между петрофильной флорой Сванети и Рача-Лечхуми в количественном отношении и по видовому составу. В этом отношении от них значительно отстает Юго-Осетия, что объясняется отличием первых двух районов от последнего массивной горной системой, характером оледенения и историей флоры. В ботанико-географическом отношении первые районы представляют часть фитохориона Колхида; в верховья рек Ксани и Лиахви не могут проникнуть многие интересные представители колхидской флоры, сосредоточенные, в основном, в высокогорьях Сванети и Рача-Лечхуми.

7. Кумынова А. В. Растительный покров Алтая, «Наука», Новосибирск, 1965.
8. Малышев Л. И. Высокогорная флора Восточного Саяна, «Наука», М.-Л., 1965.
9. Маруашвили Л. И. В кн.: Геоморфология Грузии, «Мецниереба», Тбилиси, 1971, 172—236.
10. Станюкович К. В. Растительность вы-
сокогорий СССР, Изд-во АН Тадж. ССР, Сталинабад, 1960.
11. Станюкович К. В. Растительность гор СССР, «Дониши», Душанбе, 1973.
12. Толмачев Л. И. Введение в географию растений, ЛГУ, Л., 1974.
13. Preston F. W. Ecology, 43, 3, 410 — 432, 1962.

სვანეთის, რაჭა-ლეჩხუმისა და სამხრეთ ოშეთის (ცენტრალური კავკასიონის სამხრეთი კალთები) გაღალი ათის პეტროფილური ფლორის მგრავილის განვითარების კონცილი

შ. შეთერაშვილი

საქართველოს სსრ მეცნიერებათა აკადემიის ნ. კოცხველის
სახელობის ბორტანიკის ინსტიტუტი, თბილისი

რ ე ზ ი უ მ ე

ნაშრომში განხილულია სვანეთის, რაჭა-ლეჩხუმისა და სამხრეთ ოშეთის მაღალი მთის (ზღვის დონიდან 1800—3500 მეტრი სიმაღლეები) პეტროფილური ფლორის მსგავსების კოეფიციენტი პრესტონის ფორმულის მიხედვით. გამოვლინდა სვანეთისა და რაჭა-ლეჩხუმის ფლორის მსგავსება, როგორც სახეობათა რიცხვის, ისე სახეობრივი შემადგენლობის მიხედვით. ამ თვალსაზრისით სამხრეთ მათ-

გან მნიშვნელოვნად განსხვავდება, რაც შეიძლება პირველი ორი რაიონის გამყინვარების ხასიათით თავისებურებითა და ფლორის ისტორიით აიხსნას. ამ გარემოებით უნდა აიხსნას ის ფაქტი, რომ მდინარე ქსნისა და ლიახვის სათავეებამდე ვერ აღწევს ის მრავალი საინტერესო სახეობა, რომელიც კოლხეთის ფიტობორიონებში — სვანეთისა და რაჭა-ლეჩხუმშია თავმყრილი.

SIMILARITY COEFFICIENT OF THE PETROPHYLIC FLORA OF SVANETI, RACHA - LECHKHUMI AND SOUTH - OSETI HIGH MOUNTAINS (SOUTH SLOPES OF THE CENTRAL CAUCASUS)

Sh. K. SHETEKauri

N. N. Ketskhoveli Institute of Botany, Georgian Academy of Sciences, Tbilisi, USSR

Summary

Similarity coefficient of the petrophytic flora of Svaneti, Racha-Lechkhumi and South-Oseti (1800—3500 m above the sea level) is considered.

To establish the similarity coefficient among various districts the Preston formula has been used.

The similarity of Svaneti and Racha-Lechkhumi flora has been revealed both quantitatively and in species. But as for South-Oseti, it considerably differs from them in this respect due to the peculiarity of glaciation and the history of the flora of the former two districts.

УДК 597.05.152(28)

ЭКОЛОГИЯ

О ПЛОТНОСТИ И ПРОСТРАНСТВЕННОМ РАСПРЕДЕЛЕНИИ РЫБ В ТБИЛИССКОМ ВОДОХРАНИЛИЩЕ

Л. К. Малинин, Т. Р. Кокосадзе

Институт биологии внутренних вод АН СССР, БОРОК.

Институт зоологии АН ГССР, Тбилиси

Поступила в редакцию 12.03.1984

С помощью гидроакустических съемок выявлено, что в Тбилисском водохранилище наиболее высокая плотность пелагических рыб приурочена к мелководной восточной части. Обширные площади центральной части водоема характеризуются очень низкими биомассами рыб. Средняя ихтиомасса в глубоководных участках составляет $15 \pm 5 \text{ кг/га}$. Во время летней термостратификации основная масса рыб концентрируется выше слоя температурного скачка, занимая зону эпилимниона. Это обусловлено тем, что основу ихтиофауны Тбилисского водохранилища составляют теплолюбивые виды рыб.

Тбилисское водохранилище относится к Самгорской оросительной системе. Оно создано путем искусственного затопления 11-километрового отрезка долины древней Куры водами р. Иори. Водоем характеризуется резкими колебаниями уровня воды. Наименьший уровень воды приходится на август-октябрь. Площадь зеркала воды варьирует от 5,15 до 10,75 км² [6]. Наибольшая глубина при максимальном направлении достигает 43 м.

В июле 1983 г. на этом водоеме нами была проведена гидроакустическая съемка с целью изучения плотности и пространственного распределения пелагических рыб. Гидроакустические методы с применением современных рыбопоисковых приборов достаточно объективно отражают реальную картину распределения и плотности рыб. Основные положения применения этих методов изложены в различной литературе [7, 8]. В нашей работе использовались эхолоты «Лещ» и «Fishfinder-5000». Эхосъемку проводили с катера «Прогресс» на скорости 4—4,5 км/ч. Скорость хода постоянно замеряли гидрологической вертужкой. Съемка проводилась по системе параллельных разрезов поперек водоема.

Всего было сделано 10 разрезов с интервалом 0,8—1 км. Плотность рыб рассчитывали на каждые 100 м хода катера. Рассчитанные плотности наносили на схему водоема, затем определяли линии равных плотностей рыб (изофизы). Биомассу рыб определяли исходя из средней навески рыб в промысловых уловах. Из-за методических ограничений из поля наших исследований выпали все мелководия с глубинами менее 4 м.

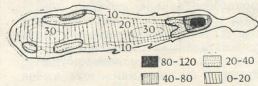


Рис. 1 Схема распределения рыб (в кг/га) в Тбилисском водохранилище

На рис. 1 представлена схема распределения биомасс рыб (без разделения на виды) в горизонтальной плоскости. Здесь же приведены и изолинии глубин во время наших работ. Первое на что следует обратить внимание, —

это очень низкие биомассы рыб на обширных площадях центральных глубоководных участков водохранилища. Здесь максимальная величина ихтиомассы была 10 ± 5 кг/га, минимальная — менее 2 кг/га. Наиболее высокие концентрации рыб отмечены в восточной части водоема в районе впадания канала, несущего воды р. Иори. Здесь биомасса рыб достигла величин 100 ± 20 кг/га. Еще один участок с повышенной плотностью рыб (60 ± 20 кг/га) обнаружен в западной части озера над глубинами менее 20 м. В целом для всей исследованной нами акватории средняя ихтиомасса оценена величиной 15 ± 5 кг/га.

Для оценки характера пространственного распределения рыб определенный интерес представляет выяснение степени агрегированности рыб. Для этого нами был использован показатель Ллойда [1], который рассчиты-

ается по формуле $C_L = \frac{S^2 - \bar{x}}{\bar{x}^2} + 1$, где

S — среднеквадратическое ожидание, \bar{x} — среднеарифметическая величина плотности рыб. Оказалось, что для центральных участков водохранилища показатель агрегированности равняется 1,1—1,4. Это говорит о том, что распределение пелагических рыб, составляющих основу ихтиомассы центральных участков, имеет однообразный характер с относительно малой агреги-

рованностью. Это можно видеть также непосредственно по эхограммам записям и по изменениям плотностей рыб на конкретных разрезах (рис. 2). В Тбилисском водохранилище основу пелагического комплекса составляют разновидная молодь, потребляющая зоопланктон [4] и уклей. В небольшом количестве в пелагии представлены и другие планктоноядные виды: рипус, шемая. В открытых водах встречается форель, но численность ее невелика [3]. Однородность распределения пелагических рыб определяется спецификой распределения зоопланктона и динамикой водных масс. В Тбилисском водохранилище подвижность водных масс в значительной мере зависит от ветровых воздействий [5], которые предопределяют постоянное смещение.

В мелководных прибрежных зонах показатель Ллойда существенно выше (2,5—3,7) в связи с большей агрегированностью рыб в литорали. Из 22 видов и подвидов рыб, составляющих ихтиофауну этого водоема, наиболее массовыми являются бентосоядные: храмуля, карп, пескарь, шиповка, бычок. Первые два вида в промысловых уловах по весу составляют 70—80%. Наиболее оптимальными условиями для их нагула обладают места с малыми глубинами [2]. Отличительной особенностью распределения бентосных организмов является их ярко выраженная агрегированность [1]. Такая специфика распределения кормовых объектов, вероятно, и обуславливает наблюдаемую нами агрегированность распределения рыб в прибрежных мелководьях.

Из эхограмм видно, что в прибрежных участках размеры эхометок от рыб существенно больше, чем на открытых участках. Это говорит о том, что наиболее крупные рыбы в водохранилище придерживаются в основном прибрежья. В связи с этим интерес представляет анализ распределения рыб в зависимости от глубин. По мере приближения к прибрежным мелководиям возрастает как плотность рыб, т. е. количество особей на единицу площади, так и их биомасса. Коэффициент корреляции между биомассой рыб и глубиной на биотопе в целом для всех 10 эхометрических разрезов составил $0,43 \pm 0,09$ при $P > 0,95$, что говорит о сравнительно высокой взаимосвязи этих показателей. Еще большим коэффициент корреляции получается при анализе биомасс рыб, находящихся над глубинами менее 20 м ($0,63 \pm 0,1$ при $P > 0,95$). Эти данные хорошо согласуются с выводом М. Г.

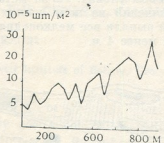


Рис. 2 Изменения плотностей рыб по одному эхометрическому разрезу: по оси ординат — плотность рыб, шт/м², абсцисс — расстояние, м

рованностью. Это можно видеть также непосредственно по эхограммам записям и по изменениям плотностей рыб на конкретных разрезах (рис. 2). В Тбилисском водохранилище основу пелагического комплекса составляют

Деметрашивили [1] о том, что большая часть рыбного населения в Тбилисском водохранилище приурочена к зонам с малыми глубинами.

Тбилисское водохранилище в летнее время характеризуется четким расслоением вод на эпи-, мега- и гиполимнион. Слой температурного скачка пролегает на глубине 12—14 м. Из эхограмм видно, что в глубоководных участках основная масса рыб концентрируется только в верхних слоях воды.

Непосредственно во время эхосъемок нами были проведены измерения температуры воды по вертикали. На рис. 3 представлены данные этих из-

картину вертикального распределения пелагических рыб. По мере приближения к береговой линии горизонт нахождения рыб несколько увеличивается. Здесь встречаются отметки от рыб, находящихся на глубинах более 10 м. В ряде случаев регистрировалась рыба непосредственно в придонных слоях на глубинах 14—16 м. Измерения температуры воды по вертикали показали, что вблизи мелководий расслоение вод нарушается (рис. 3б). Температура воды вблизи дна и у поверхности отличается здесь всего на 2—4° (для сравнения отметим, что в центральных глубоководных участках разница в температурах воды по-

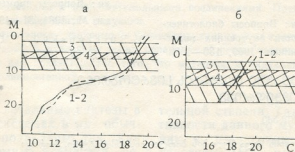


Рис. 3. Вертикальное распределение температуры воды (1—2), зона обитания рыб (3) и горизонт их наибольшей концентрации (4): а) — в центральном глубоководном участке; б) — в прибрежной зоне; по оси ординат — глубина, м, абсцисс — температура воды, в градусах

мерений, здесь же нанесена и частота встречаемости рыб в различных горизонтах. В центральных участках рыбы занимают только слой эпилимниона, обитая в 3—10 м от поверхности воды. Наиболее высокие концентрации рыб отмечаются в еще более узком слое толщиной всего 2 м, в 5—7 м от поверхности. Диапазон температур в зоне обитания рыб очень небольшой, 17—19° (рис. 3а). Совершенно не отмечены рыбы в гиполимнионе. В промежуточном слое, металимнионе, встречаются единичные особи. Такое распределение обусловлено видоспецифичностью ихтиофауны: подавляющее большинство видов — теплолюбивые. Из холодолюбивых можно отметить только ладожского рипуса и форель, акклиматизированных в этом водоеме еще в 60-годах. Но численность их невелика и они не определяют общую

верхность — дно достигает 10—11°). Таким образом, глубина нахождения рыб в летнее время в значительной степени определяется степенью термического расслоения вод.

Был проведен анализ особенностей распределения пелагических рыб в связи с изменениями температуры воды у поверхности. Температура воды регистрировалась непосредственно во время эхосъемки, датчик электротермометра крепился на штанге выносного вибратора эхолота. Отмечено, что изменения температуры воды у поверхности во время наших наблюдений варьировали незначительно, в пределах $\pm 0,7$, (от 19,5 до 20,9°). Коэффициент корреляции между биомассами рыб и температурой воды у поверхности составлял $0,24 \pm 0,11$ при $P > 0,95$. Это говорит о слабой связи между показателями. Иными слова-

ми, незначительные изменения в температуре воды у поверхности не оказывают существенного влияния на пространственное распределение рыб.

Таким образом, наши исследования показали, что в горизонтальном аспекте наибольшая плотность и биомасса рыб в летнее время отмечается

в прибрежных мелководиях с глубинами менее 10—12 м. В вертикальном плане зона нахождения рыб ограничивается только эпилимнионом. Общая ихтиомасса в Тбилисском водохранилище (без учета мелководий), сравнительно небольшая, составляла на период наблюдений 15 ± 5 кг/га.

ЛИТЕРАТУРА

- Баканов А. И. Бентос оз. Плещеево. Функционирование озерных экосистем, Рыбинск, 1983, 70—83.
- Деметрашили М. Г. Труды Института зоологии АН ГССР, XIX, 1963, 137—139.
- Деметрашили М. Г. В кн.: Вопросы биологической продуктивности внутренних водоемов Грузии, Тбилиси, 1969, 132—149.
- Кохия А. Б. В кн.: Вопросы биологической продуктивности внутренних водоемов Грузии, Тбилиси, 1969, 150—158.
- Метревели Г. С. В кн.: Вопросы биологической продуктивности внутренних водоемов Грузии, Тбилиси, 1969, 198—200.
- Садовский А. А. В кн.: Вопросы биологической продуктивности внутренних водоемов Грузии, Тбилиси, 1969, 37—42.
- Юданов К. И., Каляхман И. Л. В кн.: Вопросы промысловой гидроакустики, М., 1981, 31—49.
- Birczynski J. FAO Fish. Techn. Pap., 191, 1—89, 1982.

თბილისის ტყალსაცავში თავზების ციცონების გამოვლენისა და სიმპტომები

ლ. ალინინი, თ. კოკოსაძე

სსრ მეცნიერებათა აკადემიის შიდა წყალების ბიოლოგიის ინსტიტუტი, ბორჯომის საქართველოს სსრ მეცნიერებათა აკადემიის ზოოლოგიის ინსტიტუტი, თბილისი

რეზიუმე

1983 წლის ივნისში თბილისის წყალსაცავში თევზების ხელსაყრდნობის დახმარებით ჩატარდა ჰერცოგუსტიური ვადაღლებები. გამოვლინდა, რომ ამ წყალსაცავში (ონერლიკიანი იდგილების გარდა) თევზების საშუალო ბიომასა 15 ± 5 კგ/ჰა-ს შეადგინა. ზაფხულში სეზონის სტრატიფიკაციის დროს თევზების ძირითადი მასა ეპილიმნიონშია კონცენ-

ტრირებული. წყლის ტემპერატურის ერთ-ერთა უმაღლესი განსაზღვრამ გვიჩვენა, რომ ტემპერატურული სხვობა წყლის ზედაპირისა და ფსევრის შორის 2—4°-ია. სხვობის ზორის ქვედა ფენებში თევზები არ ძიმოჩნდა. ეს იმის შედეგია, რომ თბილისის წყალსაცავის პელაგიური იქტიოფაუნის ძირითადი წარმომადგენლები სითბოს-მოყვარული თევზებია.

ON ABUNDANCE AND SPACING OF FISHES IN THE TBILISI RESERVOIR

L. K. MALININ, T. R. KOKOSADZE

The Institute of Biology of the Internal Waters, Academy of Sciences, Borok, USSR
The Institute of Zoology, Georgian Academy of Sciences, Tbilisi, USSR

Summary

In July 1983 hydroacoustic survey of the Tbilisi reservoir was made with echo sounder. It was estimated that average biomass of fishes in this reservoir was about 15 ± 5 kg/ha, without registration of shallows. During summer stratification the main masses of fishes concentrated in epilimnion. Below the layer of thermocline fishes were not found. This is due to the fact that the basic representatives of ichthyofauna of Tbilisi reservoir are heat-loving fishes.

ВЛИЯНИЕ ФОРМАЛЬДЕГИДА И АМИНОМЕТИЛОЛЫХ СОЕДИНЕНИЙ НА ВЫЖИВАЕМОСТЬ И ИНДУКЦИЮ КОЛИЦИНОГЕННОСТИ У МУТАНТОВ *ESCHERICHIA COLI* ПО РЕПАРАЦИИ И РЕКОМБИНАЦИИ

Дж. А. Джеджелава, Т. Г. Чанишвили

Тбилисский НИИ вакцин и сывороток МЗ СССР. Тбилиси

Разработаны условия экспериментального изучения индукции синтеза колицина EI формальдегидом, оптимальные для наблюдения снижения уровня выживаемости и увеличения доли колициногенных клеток у дикого штамма *E. coli*. В этих условиях исследованы выживаемость и индукция колициногенности у репарационных и рекомбинационных мутантов кишечной палочки при их обработке формальдегидом и аминометилольными соединениями. Предложен способ вычисления коэффициента индукции.

Установлена зависимость уровня индукции синтеза колицина и выживаемости от мутаций в различных генах репарации и рекомбинации. Данные интерпретируются как доказательство того, что механизмом индукции является дерепрессия колициногенной плазмиды.

Специфические летальные синтезы в колициногенных системах в их обычном состоянии подавлены, так как репликация эпизомных элементов ре-прессируется продуктами хромосомных генов. С помощью индуцирующих агентов колиценогенные факторы можно вывести из-под хромосомного контроля. Возможность такой искусственной регуляции функций плазмид путем индукции имеет важное значение как для уточнения механизмов взаимодействия плазмид с бактериальным геномом, так и для выяснения природы самого явления индукции.

Мы изучали индуцирующее воздействие формальдегида (ФА) и его соединений с аминокислотами на синтез колицина EI у штаммов *E. coli* с мутациями в генах, ответственных за репарацию и рекомбинацию. Мутагенные свойства ФА известны давно, однако лишь в последнее время было привлечено внимание к механизму действия этого агента—в связи с тем, что он оказался удобным средством для изучения роли сшивок ДНК-белок и ДНК-ДНК в мутагенезе.

Установлено, что ФА эффективно взаимодействует с денатурированными участками ДНК, вступая в реакцию с аминогруппами оснований, а с нативной молекулой реагирует в незначи-

тельной степени. Такое различие в активности данного мутагена по отношению к раздвоенным и скрученным участкам ДНК настолько очевидно, что оно используется для локализации расплетенных участков. Этот тест дал возможность Синсхеймеру в 1959 г. доказать, что геном фага ФХ174 представлен одноцепочечной ДНК [11].

Поверенный и др. [2] использовали ФА для фиксации денатурированных участков ДНК, а также с целью исследования характера повреждений вторичной структуры ДНК, вызванных гамма- и УФ-облучением. Согласно данным Алдерсона [7] при взаимодействии ФА с нуклеиновыми кислотами образуются адениновые димеры, в которых два смежных основания связываются друг с другом посредством прочного метиленового мостика между аминогруппами. Нишиока в 1973 г. показал, что летальные и мутационные повреждения, вызванные ФА, подвергаются такой же эксцизионной репарации, как и индуцированные УФ-светом тиминовые димеры [9].

Семин и соавт. [3] изучали возможность взаимодействия монометилольных производных аминокислот с нуклеотидами и интактными молекулами ДНК. По их мнению, проявление мутагенного действия ФА имеет место в

условиях, когда обязательно должно происходить образование аминометильных соединений. Мицевич и др. установили, что в процессах репара-

ции индуцированных ФА и его производными повреждений ДНК принимают участие продукты генов *uvrC*, *recA* и др. [1].

МАТЕРИАЛЫ И МЕТОДЫ

Использованные в работе штаммы *E. coli* K¹² приведены в табл. 1. Все они являются носителями колициногенной плазмиды ColEI. В опытах по определению колициногенности в качестве индикатора служил неколициногенный дикий штамм KS112. Проверку способности штаммов к синтезу колицина проводили по Фредерику ме-

Таблица 1

Генетическая характеристика использованных штаммов

Штамм	Состояние генов	
	репарации	рекомбинации
KS112	+	+
KS114	uvrE502	+
3283	uvrA6	+
Jc5519	+	recB21recC22
Jc7623	+	recB21recC22sbcB
AB 2463	+	recA13

тодом агаровых слоев [6]. Ночные бульонные культуры исследуемых штаммов засевали уколом в твердый питательный агар, инкубировали в течение 24 ч и убивали клетки выросших колоний парами хлороформа. Свежую стационарную культуру индикаторного штамма разбавляли в 10-кратном объеме мясопептонного бульона, подращивали до логарифмической фазы роста (1,5 ч при 37°C) и, смешав 0,2 мл суспензии с расплавленным и охлажденным до 45°C мягким агаром, наносили на поверхность твердого агара с выросшими (и убитыми хлороформом) колониями исследуемой культуры. После 12–18-часового инкубирования чашек при 37°C о колициногенности изучаемого штамма судили по наличию вокруг колоний прозрачных зон отсутствия роста индикаторной культуры.

Для опытов использовали обычный формалин. После точного определения концентрации ФА нодометрическим методом [5] готовили 10 М раствор, соответствующими разведениями которого получали нужные концентра-

ции. Монометильные производные глицина фирмы Serva (ФРГ) и отечественного препарата лизина — монометилглицин (ММГ) и монометиллизин (ММЛ) готовили смешиванием ФА с трехкратными избытками аминокислот [1, 3].

С целью определения количества жизнеспособных клеток в исходных суспензиях и спонтанного уровня колициногенности ночные бульонные культуры колициногенного и индикаторного штаммов выращивали до логарифмической фазы. Клетки исследуемой культуры осаждали центрифугированием и ресуспендировали в первоначальном объеме натрий-фосфатного буфера, pH 6,8. Для определения количества жизнеспособных клеток готовили серию разведений опытной культуры, а затем из определенных разведений высевали по 0,1 мл суспензии на поверхность твердого агара в чашках Петри и растирали шпателем. Чашки ставили в термостат при 37°C до следующего утра и производили подсчет колоний. В случае определения спонтанного уровня колицинпродукции по 0,1 мл суспензии исследуемой культуры из соответствующих разведений смешивали с 5 мл расплавленного и остуженного до 45°C мягкого агара, добавляли 0,2 мл индикаторной культуры и смесь выливали в чашки на поверхность твердого агара. После застывания верхнего агара чашки ставили в термостат при 37°C. Через 4–5 ч в газоне сплошного роста индикатора появляются зоны просветления вокруг отдельных клеток, спонтанно продуцирующих колицин. Это так называемые лакуны [10]. После подсчета лакун и образующих колонии клеток определяли спонтанный уровень колициногенности, рассчитываемый как отношение общего количества жизнеспособных бактерий к числу колицинпродуцирующих клеток. Эту величину можно назвать коэффициентом спонтанного выхода колицина и обозначить как K_s .

Торможение роста клеток и индукцию колициногенности изучали сле-

дующим образом. К исходной культуре добавляли ФА, ММГ или ММЛ с таким расчетом, чтобы конечная концентрация ФА соответствовала цели конкретного опыта (испытывались концентрации $2 \times 10^{-3} M$, $5 \times 10^{-3} M$, $2 \times 10^{-2} M$ и $5 \times 10^{-2} M$). После добавления индуктора к культуре, находящейся в логарифмической фазе роста, смесь инкубировали при $37^\circ C$ с перемешиванием в течение 30 мин и центрифугировали 15 мин при 6000 об/мин с целью избавления от реагента; осадок ресуспендировали в натрий-фосфатном буфере. Так же, как и в исходной культуре, в обработанных образцах подсчитывались количества жизнеспособных и колициногенных (ставших такими после индукции) клеток. Вновь вычислялось соотношение жизнеспособных и колициногенных бактерий, которое выражало новый уровень колициногенности, обозначенный символом K_2 . На наш взгляд, величиной, удобной для оценки эффективности индукции, может служить коэффициент K_u , равный отношению K_1/K_2 , а в качестве показателя степени торможения

РЕЗУЛЬТАТЫ ИССЛЕДОВАНИЯ И ИХ

Для определения индукции колициногенности у различных штаммов кишечной палочки с помощью ФА и аминометилольных соединений следовало разработать оптимальные экспериментальные условия. На рис. 1 представлены средние данные 9 опытов по изучению торможения роста исходного штамма KS 112—К и его uvrE-мутанта KS 114—К различными концентрациями ФА и ММГ. Доля клеток, сохранивших способность формировать колонии после инкубирования с соответствующей концентрацией ингибитора, выражена в процентах по отношению к первоначальному количеству жизнеспособных клеток. Ось ординат градуирована в условных единицах, полученных в результате логарифмирования чисел от 0 до 100 по основанию 2. Из приведенных результатов можно заключить, что оптимальными условиями для изучения торможения роста клеток следует считать концентрацию ингибитора в пределах $2-5 \times 10^{-3} M$ и время инкубации 30 мин. В последующих опытах установлено, что «разрешающая спо-

жения роста клеток K_t вполне приемлем результат деления числа жизнеспособных бактерий в исходной культуре на количество таких клеток после обработки индуктором. Если исходное количество жизнеспособных клеток обозначить через K_0 , а число бактерий, спонтанно продуцирующих колицин (определенное путем подсчета лакун), — через L_0 , то $K_1 = K_0/L_0$. После индукции получаем новое соотношение K/L , обозначенное нами, как было указано, символом K_2 . Коэффициент индукции вычисляется в результате деления K_1 на K_2 , т. е.

$$K_u = \frac{K_0}{L_0} : \frac{K}{L} = \frac{K_0 \times L}{K \times L_0} = \\ \frac{K_0}{K} \times \frac{L}{L_0}.$$

После подстановки вместо соотношения K_0/K получим окончательное выражение для коэффициента индукции

$$K_u = K_t \times \frac{L}{L_0}.$$

ОБСУЖДЕНИЕ

собность» этих условий достаточно высока для фиксирования различий в чувствительности изучаемых мутантов

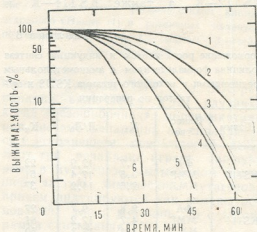


Рис. 1. Зависимость выживаемости клеток различных штаммов от времени инкубации культур и концентрации индукторов (ФА и ММГ): 1—KS 112, $2 \times 10^{-3} M$ ФА; 2—KS 112, $2 \times 10^{-3} M$ ММГ; 3—KS 114, $1 \times 10^{-2} M$ ФА; 4—KS 114, $2 \times 10^{-2} M$ ФА; 5—KS 114, $5 \times 10^{-2} M$ ФА; 6—KS 114, $5 \times 10^{-2} M$ ММГ

к ФА и аминометилольным соединениям.

В серии экспериментов, результаты которой представлены в табл. 2 (средние данные 5 опытов), была изучена зависимость индукции синтеза колицина клетками штамма KS 112-K от концентрации ФА. Полученные данные также иллюстрируют четкую корреляцию степени торможения жизнеспособности клеток с молярностью ингибитора.

поставление действия ФА и аминометилольных дериватов показывает, что ММГ является более эффективным индуктором, чем ФА и ММЛ, которые влияют на уровень торможения роста клеток и индукцию колициногенности почти в одинаковой степени.

Из известного на сегодняшний день огромного числа мутагенов различные авторы выделяют две группы агентов. Одна из них вызывает повреждения, прерывающие репликацию ДНК. К

Таблица 2

Зависимость торможения роста клеток и индукции колициногенности штамма KS112 от концентрации формальдегида

Концентрация ФА	Время, мин	Клетки	Лакуны	K_t	L/L_0	K_n
$2 \times 10^{-3} M$	0	$1,3 \times 10^8$	$2,5 \times 10^4$	1,8	13,2	24
	30	$7,2 \times 10^7$	$3,3 \times 10^5$			
$5 \times 10^{-3} M$	0	$1,3 \times 10^8$	$3,6 \times 10^4$	2,6	10,0	26
	30	$5,0 \times 10^7$	$3,5 \times 10^5$			
$1 \times 10^{-2} M$	0	$1,5 \times 10^8$	$2,1 \times 10^4$	5,0	3,0	15
	30	$3,0 \times 10^7$	$6,0 \times 10^4$			
$5 \times 10^{-2} M$	0	$1,9 \times 10^8$	$4,3 \times 10^4$	50,0	0,5	25
	30	$3,8 \times 10^6$	$2,0 \times 10^4$			

Далее было предпринято сравнительное изучение индукции синтеза колицина при воздействии ФА, ММГ и ММЛ на штаммы, отличающиеся друг от друга по способности к reparации УФ-повреждений: исходный — KS 112-K, а также KS 114-K и

Таблица 3

Торможение роста клеток и индукция синтеза колицина формальдегидом и аминометилольным соединениями у исходного штамма KS112 и мутантов по reparации

Штамм	Вещество	K_t	L/L_0	K_n
KS112	ФА	1,7	12,9	22
	ММГ	3,5	17,4	61
	ММЛ	2,6	14,2	37
KS114	ФА	2,8	9,7	27
	ММГ	4,7	17,2	81
	ММЛ	3,1	16,3	50
3283	ФА	19,3	$23,6 \times 10^2$	$4,6 \times 10^2$
	ММГ	33,6	$133,0 \times 10^3$	$4,5 \times 10^3$
	ММЛ	29,9	63,4	$1,9 \times 10^3$

3283-K с мутациями в генах uvrE и uvrA соответственно. Средние данные 8 опытов представлены в табл. 3. Со-

этой группе относятся митомицин C, 4-нитрохинолин-1-оксид (4—НХО), бифункциональные алкилирующие агенты и др. Вторая группа — ионизирующие излучения, монофункциональные алкилирующие вещества, блеомицин и т. д. — индуцирует нарушения структуры ДНК, не прерывающие репликации. Эндонуклеаза uvrA(B) специфична по отношению к участкам ДНК, модифицированным диаддуктами [4]. Сопоставив эти сведения с результатами наших исследований, указывающими на очень высокую чувствительность мутанта uvrA к действию ФА и его производных, можно предположить, что изучаемые индукторы относятся к первой группе. Наши данные, демонстрирующие различия в чувствительности клеток дикого типа и мутанта uvrE к индуцирующему действию ФА (а также ММГ и ММЛ), можно считать аргументом в пользу предположения, что для исправления вызванных используемыми веществами нарушений необходимо нормальное функционирование гена uvrE. В литературе имеются доказательства того, что двойной мутант uvrAvuvRE по резистентности к УФ не отличается от одиночного мутанта [8]; следователь-

но, оба эти гена участвуют в одном и том же — эксцизионном — пути репарации. Из наших результатов, показывающих гораздо большую чувствительность *uvrA*-мутанта по сравнению с мутантом *uvrE* к индуцирующему действию ФА, можно заключить, что репарация димеров происходит намного эффективнее в присутствии продукта гена *uvrA*. С другой стороны, установлено, что ФА вызывает в бактериальном геноме образование как адениновых димеров, так и сшивок ДНК-белок и ДНК—ДНК [1]. Надо полагать, что исправление дефектов двух последних типов происходит путем пострепликативной репарации, так как известно, что продукт гена *uvrE* принимает участие как в эксцизионной, так и пострепликационной репарации, а ген *uvrA* имеет значение для раннего этапа эксцизионного восстановления. Из всего вышесказанного можно вывести следующее заключение: в клетках с генотипом *uvrA uvrE* происходит репарация димеров и не репарируются сшивки; в случае же мутанта *uvrA uvrE* репарируются сшивки и малая часть димеров.

На рис. 2 в виде диаграммы показаны результаты исследования торможения роста клеток штамма дикого типа и мутантов *recBrecC*, *recA* и *recBrecCsbcB*. Штамм с нормальной способностью к рекомбинации и мутант, в котором рекомбинационный дефект сочетается с супрессорной мутацией, подвержены ингибированию формальдегидом в одинаковой степени. Мутации в генах *recBrecC* повышают чувствительность клеток к ФА приблизительно в 2,5, а в гене *recA* — в 4,5 раза по сравнению со штаммом дикого типа. Эти данные согласуются с представленными в литературе генетическими характеристиками упомянутых мутантов [4, 8]:

Многие авторы, например [12, 13], постулируют существование группы индуцибельных *recAlexA* — зависимых явлений (так называемых SOS-функций), координированно выражаются в ответ на нарушение репликации ДНК. Хотя прямая инактивация репрессора показана лишь для индукции профага лямбда, исследователи считают, что все SOS-функции индуцируются в результате дерепрессии. Предполагается, что торможение репликации определенных участков ДНК включает общий для всей группы яв-

лений путь индукции, который завершается синтезом снимающего репрессию эффектора. Эвелин Виткин [14] водит данные, доказывающие, что к числу таких индуцибельных феноменов, выражающихся в клетках *E.coli* с генетическими повреждениями, относится склонная к ошибкам (егггроге) система репарационной репликации, т. е. SOS-репарация, для которой индуцирующим сигналом служит сохранение вызванных УФ-светом и другими повреждающими агентами нару-

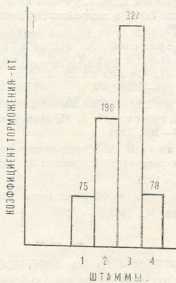


Рис. 2. Торможение формальдегидом клеток исходного штамма (1) и различных мутантов по генам рекомбинации: 2 — *recBrecC*; 3 — *recA*; 4 — *recBrecCsbcB*

шений структуры ДНК, т. е. SOS-репарация включается в тех случаях, когда «безошибочная» дорепликативная система репарации не справляется с устранением повреждений [12]. Этот тип репарации играет важную роль в мутагенезе, вызываемом большой частью химических мутагенов, причем индуцируются как замены оснований, так и мутации со сдвигом рамки считывания.

Согласно принятой в настоящее время модели контроля SOS-функций, сигнал, генерируемый повреждением ДНК, ведет к включению протеолитической активности белка RecA. Расщепление этим белком клеточных или профаговых репрессоров вызывает индукцию функций, репрессированных в

отсутствие повреждений ДНК [13].

В обычных условиях популяция клеток *E.coli*, содержащих колициногенный фактор ColE1, спонтанно продуцирует соответствующий колицин с частотой $10^{-3} - 10^{-4}$. Индуцирующие агенты, такие как УФ-свет, митомицин С и другие, наряду с летальным эффектом, повышают долю колицин-про-

дуктирующих клеток в выжившей части популяции [10]. Сопоставление полученных нами аналогичных результатов с литературными данными позволяет заключить, что механизмом индукции синтеза колицина Е1 формальдегидом и аминометилольными соединениями является дерепрессия колициногенной плазмиды.

ЛИТЕРАТУРА

1. Мицевич Е. В., Семин Ю. А., Поверенный А. М., Сучков Ю. Г. Бюлл. эксп. биол. и микробиол., 87, 466—468, 1979.
2. Поверенный А. М., Рябченко Н. И., Гамов Ю. И., Иванник Б. П., Симонов В. В. Мол. биол., 6, 524—535, 1972.
3. Семин Ю. А., Коломыйцева Е. Н., Поверенный А. М. Мол. биол., 8, 276—285, 1974.
4. Тараков В. А. Молекулярные механизмы репарации и мутагенеза, «Наука», М., 1982.
5. Уокер Дж. Ф. Формальдегид, Госхимиздат, М., 1957.
6. Фредерик П. В книжке: Биологическое воспроизведение макромолекул, ИЛ, М., 1960, 161—187.
7. Alderson T. Nature, 191, 251—253, 1961.
8. Clark A. J. Ann. Rev. Genetics, 7, 67—86, 1973.
9. Nishioka H. Mut. Res., 17, 261—265, 1973.
10. Ozeki H., Stocker A. D., Margerie H. Nature, 184, 337—339, 1959.
11. Sinsheimer R. L. J. Mol. Biol., 1, 37—42, 1959.
12. Witkin E. M. Proc. Nat. Acad. Sci., 71, 1930—1934, 1974.
13. Witkin E. M. Bact. Rev., 40, 869—907, 1976.

“**ЕСЧЕРИХИЯ КОЛИ**”-ს რეპარაციული და რეკომბინაციული მუტაციების სიცოცხლის სუსთავა და
კოლიცინების გენეტიკაზე

ქ. კუჭღლავა, თ. მანიშვილი

სსრ ჯანმრთელობის დაცვის სამინისტროს თბილისის ვაჭურებისა და
შრატების სამეცნიერო-კვლევითი ინსტიტუტი, თბილისი

რეზიუმე

დადგინდა ფორმალდეპილით გამოწვეული კოლიცინების ინდუქციის შესწავლის ოპტიმალური ექსპრესიმენტული პირობები ნაწლავის ჩხირის ველური შტამისათვის. ამ პირობებში შესწავლილ ენა *E. coli*-ს რეპარაციული და რეკომბინაციული მუტაციების ზრდის უნარის დაქვემდებარება და მათში კოლიცინის სინთეზის ინდუქცია ფორმალდეპილისა და ამინომეთილოლის მოვლენას საფუძვლად უდევს. კოლიცინების მოვლენას საფუძვლად უდევს კოლიცინების პლაზმიდის დერეპრესია.

მოდენილია ინდუქციის კოეფიციენტის გამოთვლის ხერხი.

გამოიჩვავა, რომ კოლიცინის სინთეზის ინდუქციის ღონე და სიცოცხლისუნარიანობა დამოკიდებულია რეპარაციისა და რეკომბინაციის სისტემების სხვადასხვა გენთა მუტაციებზე. მიღებული შედეგები აღასტურებს მოსაზრებას, რომ ინდუქციის მოვლენას საფუძვლად უდევს კოლიცინების პლაზმიდის დერეპრესია.



EFFECT OF FORMALDEHYDE AND AMINOMETHYLOL COMPOUNDS ON THE SURVIVAL AND INDUCTION OF COLICINOGENY IN UVR-AND REC-MUTANTS OF E. COLI

J. A. JEJELAVA, T. G. CHANISHWILI

Tbilisi Institute of Vaccines and Sera, Ministry of Health of the USSR

Summary

Experimental conditions for the study of induction of colicinogeny with formaldehyde in wild strain of *E. coli* were established. In these conditions the survival and the induction of colicinogeny in repair-and recombination-deficient mutants under the influence of formaldehyde and aminomethylol compounds were studied. The method for the calculation

of induction coefficient has been proposed.

In different strains of *E. coli* the levels of induction and survival were shown to depend on mutations in several genes of repair and recombination. The results obtained suggest that derepression of colicinogenic plasmid underlies the induction phenomenon.

УДК 576.8

МИКРОБИОЛОГИЯ

ВЛИЯНИЕ ОРГАНИЧЕСКИХ АЗОТСОДЕРЖАЩИХ КОМПОНЕНТОВ СРЕДЫ НА РОСТ И ЛИПОГЕНЕЗ МИКРОСКОПИЧЕСКОГО ГРИБА РОДА *Entomophthora*

М. Н. Самадашвили, М. Н. Бехтерева

Институт ботаники им. Н. Н. Кециховели АН ГССР, Тбилиси

Институт микробиологии АН СССР, Москва

Поступила в редакцию 10.10.1984

Изучено влияние органических азотсодержащих соединений (аминокислот и их амидов) на рост, образование липидов и жирнокислотный состав микроскопического гриба рода *Entomophthora* при выращивании его на синтетической среде. Проведенные наблюдения свидетельствуют о специфичности отношения исследуемой культуры к экзогенным азотсодержащим соединениям различной химической структуры и о заметном воздействии их на интенсивность роста и липогенеза.

Азотсодержащие органические соединения играют важную роль в жизнедеятельности микроорганизмов. Аминокислоты участвуют в синтезе ряда биологически активных соединений. Имеются сведения о влиянии экзогенных аминокислот и их амидов на рост некоторых микроскопических грибов [2, 8, 4].

Отношение микроорганизма к этим субстратам неоднозначно и во многом зависит от выбранного штамма и от композиции питательной среды. Вопросу влияния экзогенных органических азотсодержащих соединений на липогенез у микроскопических грибов посвящено крайне мало исследований. Изучением роста грибов рода *Entomophthora* на 15 различных аминокислотах и некоторых амидах в присутствии в среде глюкозы было показано, что

благоприятным источником для синтеза каротиноидов и липидов является смесь глутаминовой кислоты, глицина, лейцина и аспарагина [3]. В дальнейшем эта среда (среда 12) была использована и для других представителей сем. *Choanaphoradai*, в частности для грибов рода *Cunninghamella* [6]. Рост и развитие грибов, принадлежащих к сем. *Entomophthoraceae*, на синтетических средах с аминокислотами не изучались.

Настоящая работа посвящена исследованию роста, образования и состава липидов и их взаимосвязи с фазами развития культуры гриба рода *Entomophthora* на синтетической среде с различным содержанием аминокислот.

МАТЕРИАЛЫ И МЕТОДЫ ИССЛЕДОВАНИЯ

Объектом исследования был микроскопический гриб рода *Entomophthora*. Посевным материалом служила суспензия спор и воздушного мицелия 4-суточной культуры, выращиваемой

на глюкозопептонном агаре. Глубинное культивирование проводили на качалке (180 об/мин) при 26—27°C в конических колбах (250 мл) с 60 мл синтетической среды 12. Источником

азота служили в %: лейцин — 0,05, глицин — 0,05, глутаминовая кислота — 0,05, аспарагин — 0,05 [3]. В опытах использовали различные модификации среды 12: среда 12а содержала удвоенную концентрацию азотсодержащих компонентов; в среду 12б были дополнительно введены в %: триптофан — 0,05, лизин — 0,05, цистин — 0,05, аланин — 0,05.

Биомассу гриба определяли взвешиванием абсолютно сухого мицелия; pH — потенциометрически. Липиды выделяли по методу Фольча [10]. Метиловые эфиры жирных кислот получали кислотным метанолизом липидов [9], а их очистку проводили на колонке с силикагелем 100/160 фирмы

«Chempol» (ЧССР). Продолжительность метилирования и чистоту метиловых эфиров жирных кислот определяли на пластинках «Silufol» 254 с использованием паров нода для обнаружения полученных соединений. Метиловые эфиры жирных кислот идентифицировали методом газожидкостной хроматографии на приборе «Хром-4» с пламенно-ионизационным детектором. Длина колонки — 2,5 м. В качестве стационарной фазы применяли 12%-ный полиэтиленгликольадипат на хромосборе (80—100 меш), температура — 180°; скорость газоносителя (азот) — 50 мл/мин.

Таблица I

Влияние органических азотсодержащих компонентов среды на рост и образование липидов у гриба рода *Entomophthora*

Показатели	Среда											
	12				12а				12б			
Лейцин — 0,05 %					Лейцин — 0,1 %				Лейцин — 0,05 %			
Глицин — 0,05 %	74				Глицин — 0,1 %	38			Глицин — 0,05 %			
Аспарагин — 0,05 %	Г				Аспарагин — 0,1 %	Г			Аспарагин — 0,05 %	38		
Глутаминовая кислота — 0,05 %					Глутаминовая кислота — 0,1 %				Глутаминовая кислота — 0,05 %			
Сутки роста	2	3	5	7	2	3	5	7	2	3	5	7
Биомасса абс. сух., г/100 мл	1,9	1,5	1,1	0,95	1,1	2,3	2,52	1,26	0,7	1,0	1,1	1,52
Липиды, %	20,2	32,50	35,2	57,9	11,4	16,0	54,5	28,3	24,8	24,0	79,3	85,4
pH	6,0	5,5	5,5	5,0	6,0	6,0	5,0	5,0	5,8	5,5	5,0	4,5

Кроме азотсодержащих компонентов в среде содержались:

глюкоза — 5,0 %

— 0,05 %

— 0,1 %

Дрожжевой автолизат — 0,2 %
— 0,2 мг/л
— 0,2 мг/л
— 0,1 мг/л
— 10, мг/л

РЕЗУЛЬТАТЫ ИССЛЕДОВАНИЯ И ИХ ОБСУЖДЕНИЕ

В первой серии опытов была прослежена динамика роста и образования внутриклеточных липидов в культуре гриба при развитии на среде 12.

Результаты исследований этих процессов (на 2, 3, 5, 7-е сутки культивирования) приведены в табл. I. Видно, что интенсивный рост гриба закан-

чивается через 2 суток, после чего наступает резкое снижение количества биомассы. К моменту максимального ее накопления уровень содержания липидов составляет примерно 20% от веса сухого мицелия. Однако в период падения скорости роста культуры синтез липидов продолжается. Представляет особый интерес то, что уровень содержания липидов интенсивно возрастает с 5 по 7 сутки (почти на 100%), достигая в испытанных условиях — 57,0% от веса сухого мицелия.

На среде 12а, т. е. при увеличении концентрации азотсодержащих компонентов в 2 раза (табл. 1), наблюдается несколько иная закономерность, а именно, усиление процессов накопления биомассы. Уровень ее возрастает до 2,5% веса сухого мицелия (на 5-е сутки культивирования). В период интенсивного роста (на 3-е сутки) синтезируется всего лишь третья часть максимально образуемых культурой липидов. Период интенсивного синтеза липидов (до 54,5%) совпадает с затуханием процессов роста культуры (3—5 сутки), после чего наступает явный автолиз и резкое снижение количества липидов.

В третьем варианте опытов на среде 12б с увеличенным числом азотсодержащих компонентов (при добавлении к среде 12 триптофана, лизина, цистина и аланина) процессы роста культуры замедляются, биомасса медленно возрастает в течение всего периода культивирования. На 7-е сутки явного автолиза не наблюдается. В этих условиях происходит наиболее интенсивный биосинтез липидов, содержание которых может достигать 79—85% от веса сухого мицелия. Происходит массовое ожирение культуры. Увеличение количества экстрагируемых липидов по мере старения и деградации некоторых бактериальных культур наблюдал Батраков с сотрудниками [1].

Далее был изучен жирнокислотный липид и изменение его в процессе развития культуры на трех вышеуказанных вариантах сред. Как видно из табл. 2, в липидах, синтезируемых на среде 12, обнаружены насыщенные и ненасыщенные (C_{14} — C_{20}) жирные кислоты, в основном — соединения с четным числом и прямой цепью атомов углерода. В сумме этих соединений преобладают пальмитиновая,

пальмитолеиновая и олеиновая кислоты, максимальный уровень которых составляет 21,4; 16,1; 40,8% соответственно. Низкомолекулярные соединения (C_8 — C_{12}) обнаружены в незначительном количестве (до 5,4% от общей суммы жирных кислот). Следует особо отметить, что исследуемая культура синтезирует на указанной синтетической среде C_{20} ненасыщенную жирную кислоту.

В целом липиды характеризуются высокой ненасыщенностью: сумма ненасыщенных жирных кислот достигает 75,6% в основном за счет пальмитолеиновой, олеиновой и C_{20} ненасыщенных жирных кислот.

Представило интерес выяснить, скрывается ли изменение количества и химическая природа азотсодержащих компонентов в среде на композицию жирных кислот в составе липидов.

Качественный состав жирных кислот липидов, синтезированных на всех трех вариантах сред, примерно одинаков (табл. 2: среда 12, 12а и 12б) и остается довольно стабильным на протяжении 7 суток культивирования; различия обнаружаются в их количественных соотношениях и во время наступления максимума в содержании некоторых из них. Наиболее заметные количественные изменения относятся к жирным кислотам, которые преобладают в составе липидов. Жирная кислота C_{20x} обнаруживается уже в 48-часовой культуре в количестве от 3,2% до 12,6%. Максимальное содержание ее наблюдается на среде 12а и на 3-и сутки, в то время как на среде 12 максимум наступает значительно позднее. Среда 12б не способствует накоплению высокомолекулярной кислоты и уровень ее содержания остается довольно низким на протяжении всего периода развития культуры.

Во всех вариантах опытов низкомолекулярные жирные кислоты (C_8 — C_{12}) составляют лишь 2,0—6,7%. Коэффициент насыщенности липидов в динамике роста культуры на среде 12б наиболее высокий и изменяется от 0,60 до 0,47; на среде 12а — от 0,41 до 0,45 и на среде 12 — от 0,34 до 0,44.

Свойство культур образовывать экзоцеллюлярные липиды в процессе роста распространено среди микроорганизмов, что показано в серии исследований Залашко с сотрудниками [5],

Жирнокислотный состав внутриклеточных липидов в процессе роста гриба на среде 12б с органическими азотсодержащими соединениями

Жирные кислоты	СРЕДА											
	12				12а				12б			
	С у т к и						р о с т а					
	2	3	5	7	2	3	5	7	2	3	5	7
От C ₈ до C ₁₂	3,83	5,42	3,65	8,80	6,74	5,92	5,47	5,37	5,56	2,82	2,06	5,75
C _{14 : 0}	5,78	6,27	5,72	5,65	5,45	6,70	6,57	5,53	5,57	8,15	7,32	1,06
C _{16 : 0}	18,20	15,87	16,70	21,42	20,19	19,44	18,56	19,57	26,12	22,51	18,00	22,13
C _{16 : 1}	13,35	16,10	14,14	12,11	14,18	12,32	14,56	15,03	14,21	12,57	15,89	18,63
C _{18 : 0}	5,64	3,24	3,56	2,12	3,83	2,40	3,61	3,75	3,45	5,27	4,83	7,11
C _{18 : 1}	35,72	35,57	40,42	40,81	38,61	29,84	39,86	33,61	41,78	37,50	42,23	31,49
C _{18 : 2}	2,66	4,70	2,52	2,73	2,65	4,36	4,98	5,48	сл	2,44	2,73	2,96
C _{18 : 3}	1,92	2,30	1,92	2,33	2,65	сл	1,47	2,55	сл	сл	0,41	1,33
C _{20 : x}	12,67	11,92	16,64	10,33	10,90	16,16	9,20	6,88	3,26	6,70	5,08	8,82
Сумма насыщенных жирных кислот, %	29,62	25,38	25,98	29,19	29,47	28,54	28,74	28,85	35,93	35,93	30,15	30,30
Сумма ненасыщенных жирных кислот, %	66,32	70,59	75,64	68,31	68,39	62,99	70,07	63,55	59,25	59,21	66,24	63,17
Коэффициент насыщенности	0,44	0,35	0,34	0,42	0,42	0,45	0,41	0,45	0,59	0,60	0,45	0,47

проведенными с дрожжевыми организмами.

В данной работе мы не ставили непосредственную цель изучить способность гриба к образованию внеклеточных липидов. Однако результаты проведенного нами анализа липидов, экстрагируемых из культуральной жидкости после длительного выращивания гриба (на 7-е сутки роста), представляют определенный интерес. Жирнокислотный состав внеклеточных липидов в основном был близок по качественным показателям к составу внутриклеточных липидов (табл. 2 и 3).

Таблица 3

Жирнокислотный состав липидов культуральной жидкости на 7-е сутки развития гриба

Кислота	Среда		
	12	12a	12б
C ₈ —C ₁₂	12,51	6,50	0,79
C ₁₄ :0	4,09	5,77	6,81
C _x	5,22	2,23	1,46
C ₁₆ :0	15,32	21,78	12,48
C ₁₆ :1	9,82	14,40	7,76
C _x	3,97	0,60	1,10
C ₁₈ :0	4,91	4,20	1,22
C ₁₈ :1	28,10	36,66	23,30
C ₁₈ :2	2,35	3,08	2,06
C ₁₈ :3	Сл	Сл	2,00
C _x	4,43	—	2,49
C ₂₀ :x	8,02	6,43	40,90

Обозначение C_x — неидентифицированные жирные кислоты

Наряду со сходством были выявлены и различия. Наиболее существенные различия наблюдаются в липидах культуральной жидкости при развитии микроорганизма на среде 12 и 12б. Так, на среде 12б относительное содержание пальмитиновой, пальмитолеиновой, стеариновой и олеиновой кислот значительно ниже, а суммарное количество неидентифицированных жирных кислот выше в липидах культуральной жидкости, чем во внутриклеточных липидах. Во внеклеточных липидах обнаруживаются вы-

сокомолекулярные кислоты в количестве 10,9% и ряд других соединений с более короткой цепью атомов углерода. Молекулярная структура этих соединений пока не установлена.

Данные табл. 1 иллюстрируют особенности протекания процессов роста и автолиза в культуре гриба на разных вариантах сред. Рост гриба на среде 12б (в отличие от сред 12 и 12a) протекает замедленно: явного автолиза за исследованный период времени не наблюдается и это сопровождается интенсивным синтезом липидов. Эти условия способствуют накоплению внеклеточных высокомолекулярных кислот. Внеклеточные липиды и жирные кислоты являются результатом выделения этих соединений в период явного старения культур. Однако последний пример (опыт на среде 12б) свидетельствует о том, что образование внеклеточных липидов может происходить и в культуре, в которой нет явного автолиза.

Сравнительный анализ полученных данных показывает высокую интенсивность синтеза липидов при выращивании гриба на синтетической среде, содержащей аминокислоты — глицин, глутаминовую кислоту, лейцин и аспарагин. Увеличение содержания этих соединений в среде способствует росту культуры, при этом образование липидов в первые трое суток развития микроорганизма снижается.

Дополнительное внесение в среду триптофана, лизина, цистина и аланина приводит к снижению темпов роста и к усилению процесса ожирения культуры.

На метаболизм микроорганизмов могут оказывать существенное влияние различные факторы. В частности, процессы роста культуры и синтеза липидов во многом зависят от величины pH, концентрации источников углерода и азота и их соотношения в среде.

Однако анализ данных, полученных нами, показал, что во всех 3-х вари-

антах сред уровня величин рН в процессе развития микроорганизма сходны. Кроме того, соотношения С/Н на средах 12а и 12б равны и составляют 38/1. Очевидно, в данных случаях интенсивность процессов развития культуры, биосинтеза липидов и их состав на средах с различным содержанием азотсодержащих компонентов (аминокислот) определяются иными факторами. Так, имеются сведения [7], что некоторые аминокислоты могут участвовать в стимуляции

или ингибировании процессов роста микроорганизмов. В своих опытах мы наблюдали снижение темпов роста культуры при дополнительном внесении в среду триптофана, лизина, цистина и аланина (среда 12б).

Приведенные факторы свидетельствуют о специфичности отношения исследуемой культуры гриба к экзогенным азотсодержащим соединениям различной химической структуры и о заметном воздействии их на интенсивность роста и липогенез.

ЛИТЕРАТУРА

1. Батраков С. Г., Ушакова Н. А., Гусев М. В. Изв. АН ССР, сер. биол., 1, 72—79, 1979.
2. Безбородов А. М. Биосинтез биологически активных веществ микроорганизмами, «Медицина», Л., 1969.
3. Бехтерева М. Н., Дедюхина Э. Г. Прикл. биохим. и микробиол., 3, 4, 451—457, 1967.
4. Билай В. И. Фузарии, «Наукова думка», Киев, 1977.
5. Залашко М. В. Биосинтез липидов дрожжами, «Наука и техника», Минск, 1971.
6. Казанская Т. Б., Лезуй Линь, Бехтерева М. Н. Микробиология, XIV, 605—670, 1975.
7. Рубан Е. Л., Лобырева Л. Б. Тезисы докладов и научных сообщений совещания 20—24 августа, Рига, 1968, 31.
8. Черменский Д. Н., Безбородов А. М. Микробиология, XXXVIII, 644—647, 1969.

საკვები არის ორგანული აზოტშემცველი კომპონენტების
გაცვლება მიკროსკოპული სოჭოს (გვარი ENTOMOPHTHORA)
ზრდასა და ლიპოგენეზის

8. სამართვილი, მ. ბმხტრმება

საქართველოს სსრ მეცნიერებათა აკადემიის ნ. კეცხოველის
სახელმწის ბოტანიკური ინსტიტუტი, თბილისი
სსრ მეცნიერებათა აკადემიის მიკრობიოლოგიის ინსტიტუტი, მოსკოვი

რეზიუმე

შესწავლილია სინთეზურ საქვებ არეზე
განვითარებისას აზოტშემცველი შენაერ-
თების (ამინოაციდების და მათი ამიდების)
გაცვლენა მიკროსკოპული სოჭოს (Ento-
mophthora) ზრდასა და ლიპიდების წარ-
წარმოქმნაზე და ცხიმოვანი მევების შე-
მაღვენლობაზე.

მიღებული შედეგები მოწმობს საკვლე-
ვი კულტურის სპეციფიურ დამკიდებუ-
ლებას აზოტშემცველი შენაერთების მი-
მართ და მა ნაერთების შესამჩნევ ზეგავ-
ლენის კულტურის ზრდის ინტენსიობასა
და ლიპოგენეზზე.

INFLUENCE OF ORGANIC NITROGEN-CONTAINED COMPONENTS GROWTH AND LIPOGENESIS OF MICROSCOPIC FUNGUS OF ENTOMOPHTHORA GENERIS

MEDIA ON
ДАМОСТЮ
303-2010000

M. N. SAMADASHVILI, M. N. BEKTEREVA

N. Ketskhovely Botanical Institute, Georgian Academy of Sciences, Tbilisi, USSR
Institute of Microbiology of the USSR Academy of Sciences, Moscow

Summary

Influence of organic nitrogen-contained compounds (amino acids and their amides) on growth, formation of lipids and their fatty acid composition of microscopic fungus of entomophthoraceae family when cultivating it on synthetical

medium, is studied. The results obtained indicate the particular relations of researched crops and exogeneous nitrogen-contained compounds of different chemical structures and their appreciable influence on growth intensity and lipogenes.

СОВЕРШЕННОСТЬ ПРОЦЕССА РОСТА И ФОРМИРОВАНИЯ ЛИПИДОВЫХ СОСТАВОВ МИКРОСКОПИЧЕСКОГО ГРИБА ENTOMOPHTHORA GENERIS ВО ВРЕМЯ КУЛЬТИВАНИЯ НА СИНТЕТИЧЕСКОМ СРЕДЕ

М. Н. САМАДАШВИЛИ, М. Н. БЕКТЕРЕВА

Н. КЕТСХОВЕЛЯ БОТАНИЧЕСКИЙ ИНСТИТУТ ГЕОГРАФИЧЕСКОЙ АКАДЕМИИ СССР, ТБИЛИСИ, УССР
Институт микробиологии Академии наук СССР, Москва

СОВЕРШЕННОСТЬ ПРОЦЕССА РОСТА И ФОРМИРОВАНИЯ ЛИПИДОВЫХ СОСТАВОВ МИКРОСКОПИЧЕСКОГО ГРИБА ENTOMOPHTHORA GENERIS ВО ВРЕМЯ КУЛЬТИВАНИЯ НА СИНТЕТИЧЕСКОМ СРЕДЕ

М. Н. САМАДАШВИЛИ, М. Н. БЕКТЕРЕВА

Н. КЕТСХОВЕЛЯ БОТАНИЧЕСКИЙ ИНСТИТУТ ГЕОГРАФИЧЕСКОЙ АКАДЕМИИ СССР, ТБИЛИСИ, УССР
Институт микробиологии Академии наук СССР, Москва

ВЛИЯНИЕ ОРГАНИЧЕСКИХ НИТРОГЕН-СОДЕРЖАЩИХ СОСТАВОВ (АМИНОКИСЛОТЫ И ИХ АМИДЫ) НА РОСТ, ФОРМИРОВАНИЕ ЛИПИДОВЫХ СОСТАВОВ И ИХ ЖИРНЫЕ КИСЛОТЫ МИКРОСКОПИЧЕСКОГО ГРИБА ENTOMOPHTHORA GENERIS СЕМЕЙСТВА ENTOMOPHTORACEAE ПРИ КУЛЬТИВАНИИ ЕГО НА СИНТЕТИЧЕСКОМ СРЕДЕ

М. Н. САМАДАШВИЛИ, М. Н. БЕКТЕРЕВА

Н. КЕТСХОВЕЛЯ БОТАНИЧЕСКИЙ ИНСТИТУТ ГЕОГРАФИЧЕСКОЙ АКАДЕМИИ СССР, ТБИЛИСИ, УССР
Институт микробиологии Академии наук СССР, Москва

ВЛИЯНИЕ ОРГАНИЧЕСКИХ НИТРОГЕН-СОДЕРЖАЩИХ СОСТАВОВ (АМИНОКИСЛОТЫ И ИХ АМИДЫ) НА РОСТ, ФОРМИРОВАНИЕ ЛИПИДОВЫХ СОСТАВОВ И ИХ ЖИРНЫЕ КИСЛОТЫ МИКРОСКОПИЧЕСКОГО ГРИБА ENTOMOPHTHORA GENERIS СЕМЕЙСТВА ENTOMOPHTORACEAE ПРИ КУЛЬТИВАНИИ ЕГО НА СИНТЕТИЧЕСКОМ СРЕДЕ

М. Н. САМАДАШВИЛИ, М. Н. БЕКТЕРЕВА

Н. КЕТСХОВЕЛЯ БОТАНИЧЕСКИЙ ИНСТИТУТ ГЕОГРАФИЧЕСКОЙ АКАДЕМИИ СССР, ТБИЛИСИ, УССР
Институт микробиологии Академии наук СССР, Москва

УДК 577.3

БИОФИЗИКА

ПЕРЕНОС ЗАРЯДА ЧЕРЕЗ МОДЕЛЬНУЮ БИОЛОГИЧЕСКУЮ МЕМБРАНУ

З. Д. Урушадзе

Грузинский сельскохозяйственный институт, Тбилиси

Поступила в редакцию 18.12.1984

Проведен расчет электрического тока через модельную биологическую мембрану, помещенную в раствор электролита в присутствии электрического поля, когда на поверхности мембранны протекают окислительно-восстановительные реакции с переносом электрона. Получено выражение для константы скорости реакции переноса заряда через границу двух (полярной и неполярной) сред.

Многочисленные биологические процессы, протекающие на мембранных (процессы ферментативного катализа, возникновения биопотенциалов и др.), тесно связаны с переносом заряда через мембрану. В данной работе рассматриваются окислительно-восстановительные процессы в модельной си-

ходится мембрана. Между левым электродом и мембраной в растворе имеется окислительно-восстановительная система O_1/R_1 ; в самой мембране — окислительно-восстановительная система O_2/R_2 , а между мембраной и правым электродом — окислительно-восстановительная система O_3/R_3 . Соответствующие равновесные концентра-

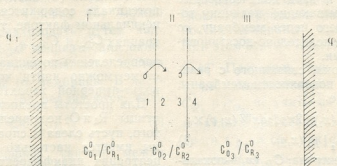


Рис. 1. Φ_1 и Φ_2 — электрические потенциалы, приложенные к электродам; М — неполярная мембрана; 1, 2, 3, 4 — внешние и внутренние поверхности мембранны; е — электрон; O_1/R_1 , O_2/R_2 , O_3/R_3 — окислительно-восстановительные системы, находящиеся в полярном растворе слева (I) от мембранны, в самой мембранны II и в растворе справа (III) от мембранны соответственно; C_0^0/C_R^0 — равновесные концентрации окислительно-восстановительных систем

стеме следующего вида (рис. 1): между двумя электродами, к которым приложена разность потенциалов ($\Phi_1 - \Phi_2$), в растворе электролита на-

ции окислительно-восстановительных систем обозначены через $C_{O_i}^0/C_{R_i}^0/i = 1, 2, 3/$.

Благодаря протеканию на поверхности мембранны окислительно-восстановительных реакций через мембрану будет протекать электрический ток. В настоящей работе проведен расчет электрического тока через мембрану учитывая, что она обладает достаточно высокой проводимостью и что процесс диффузии реагентов в растворе электролита происходит достаточно быстро. Замедленной стадией переноса заряда через мембрану мы будем предполагать окислительно-восстановительную реакцию на поверхности мембранны. При этом средой, сильно взаимодействующей с реагентами, будем считать полярный электролит, а в мембране — неполярную белково-липидную систему [1]. Для описания среды мы будем использовать гармоническое приближение. Эта картина довольно близка к реальной ситуации в случае окислительно-восстановительных ферментов типа цитохромов. В митохондриях мембранны с обеих сторон окружены сложной смесью окислителей и восстановителей. Сама цитохромная система также представляет собой набор ряда ферментов. Однако предлагаемая нами упрощенная теоретическая схема с ограниченным числом частиц, участвующих в процессе, позволяет выявить принципиальную сторону переноса заряда через мембрану и дать количественные формулы, связывающие величину тока, протекающего через мембрану, со скоростью окислительно-восстановительной реакции.

Плотность тока, связанного с реакцией на левой поверхности мембранны, запишем в виде [3]:

$$\vec{i} = e \int dx_1 C_{R_1}(x_1) \int 2\pi \rho d\rho dx W(x; \rho) \times \\ \times C_{O_2| R_1}(x, \rho), \quad (1)$$

где e — заряд электрона; $C_{R_1}(x_1)$ — локальная концентрация частиц R_1 в плоскости 1 с координатой X_1 (рис. 2); $C_{O_2| R_1}(x, \rho)$ — локальная концентрация частиц O_2 в плоскости 2, находящейся на расстоянии x от плоскости 1 $|x| = |x_1 - x_2|$, где x_2 — координата плоскости 2; ρ — расстояние от частицы R_1 до проекции частицы O_2 на плоскость 1 (при условии, что частицы R_1 находятся в плоскости 1); $W(x; \rho)$ — вероятность перехода электрона с частицей R_1 на частицу O_2 в единицу времени.

Учитывая, что в рассматриваемой системе, как и в гомогенной среде существует реакционный объем $\delta V_2 = \pi(\delta\rho)^2 \delta_2$ (δ_2 и δ_1 , суть те значения X_2 и X_1 , при которых вероятность перехода достигает своего максимального значения W^* (для частиц R_1 и O_2), можно ввести понятие поверхностной концентрации $C_{R_1}^S = C_{R_1}(\delta_1) \delta_1$ и записать формулу (1) в виде:

$$\vec{i} = e W^* C_{R_1}^S C_{O_2| R_1}^S \delta V_2. \quad (2)$$

Согласно [1, 2] формулу (2) перепишем следующим образом:

$$\vec{i} = e C_{R_1}^S C_{O_2}^S \delta S^* \times \frac{\omega_{\text{эфф}}}{2\pi} \times \\ \exp \left\{ - \frac{[E_s + \Delta I_o + e(\eta_1 - \eta_2)]^2}{4 E_s kT} \right\}, \quad (3)$$

где \times — трансмиссионный коэффициент, $\omega_{\text{эфф}}$ — эффективная частота колебаний среды, E_s — энергия реорганизации среды, ΔI_o — тепловой эффект реакции в случае термодинамического равновесия (ток равен нулю), $\eta_1 = \varphi_1 - \varphi_1^0$ — перенапряжение в точке 1 (φ_1^0 — равновесный потенциал в точке 1), η_2 — перенапряжение в точке 2 (рис. 1).

В формуле (3) зависимость тока от потенциала содержитя как в экспоненциальном факторе, так и в концентрациях $C_{R_1}^S$ и $C_{O_2| R_1}^S$. При известном распределении потенциала во всей системе можно найти конкретный вид вольт-амперной характеристики.

Для простоты предположим, что частицы R_1 и O_2 не коррелируют. Кроме того, пусть слева и справа от мембранны имеется настолько большая концентрация индифферентного электролита, что все падение потенциала сосредоточено в слое Гельмгольца. В этом случае $C_{R_1}^S$ совпадает с объемной концентрацией и не зависит от потенциала. Тогда, ток, идущий из левой части системы в мембранны (переход 1—2), выразится формулой:

$$\vec{i}_1(\eta) = e C_{R_1}^S C_{O_2}^S (\eta_2) \delta S^* \times \frac{\omega_{\text{эфф}}}{2\pi} \times \\ \times \exp \left\{ - \frac{[E_{s1}^I + \Delta I_o^I + e(\eta_1 - \eta_2)]^2}{4 E_{s1}^I kT} \right\}, \quad (4)$$

где E'_s — энергия реорганизации как полярного растворителя слева от мембранны, так и самой неполярной мембранны.

Рассматривая совместно процессы, идущие на обеих поверхностях мембранны, следует различать два случая: 1 — когда на одной поверхности протекает очень быстрая окислительно-восстановительная реакция; 2 — когда скорости процессов на обеих поверхностях сравнимы. В первом случае при достаточно большой разности потенциалов выполняются условия:

$$\begin{aligned} \vec{i}_{12} &\gg \vec{i}_{21}, \quad \vec{i}_{34} \approx \vec{i}_{43} \\ i &= \vec{i}_{12} - \vec{i}_{21} = \vec{i}_{34} - \vec{i}_{43}, \end{aligned} \quad (5)$$

где i — результирующий ток, протекающий через мембрану; \vec{i}_{12} и \vec{i}_{21} — токи, протекающие через поверхность 1—2 в прямом и обратном направлениях, \vec{i}_{34} и \vec{i}_{43} — токи, текущие через поверхность 3—4 в прямом и обратном направлениях.

На опыте, обычно, измеряется разность потенциалов $\Delta\phi$, поданная прямо на мембрану. Поскольку токи \vec{i}_{12} , \vec{i}_{21} и \vec{i}_{34} , \vec{i}_{43} пропорциональны концентрациям окислительно-восстановительных систем, то условия (5) можно практически реализовать путем надлежащего выбора концентраций окислительно-восстановительных систем слева и справа от мембранны. В частности, условия (5) реализуются, если

$$C_{R_1} C_{O_1} \ll C_{R_3} C_{O_3}. \quad (6)$$

Воспользовавшись связью между прямым и обратным током, результирующий ток через мембрану можно представить в виде:

$$i = \vec{i}_{12} \left(1 - \left(\frac{\vec{i}_{21}}{\vec{i}_{12}} \right) \right) = \vec{i}_{12} \left[1 - \exp \left(\frac{\Delta\mu_{12}}{kT} \right) \right], \quad (7)$$

где $\Delta\mu_{12}$ — разность химических потенциалов электрона на поверхностях 1 и 2.

Если перенапряжение η_1 достаточно велико, то $i \sim \vec{i}_{12}$, а $\Delta\mu_{12} \gg kT$.

На правой границе

$$i = \vec{i}_{34} - \vec{i}_{43} = \vec{i}_{34} \left(1 - \frac{\vec{i}_{43}}{\vec{i}_{34}} \right) = \vec{i}_{34} \times \left[1 - \exp \left(\frac{\Delta\mu_{34}}{kT} \right) \right], \quad (8)$$

где $\Delta\mu_{34} = \mu_3^e - \mu_4^e < 0$ и

$$\frac{i}{\vec{i}_{34}} = 1 - \exp \left(\frac{\Delta\mu_{34}}{kT} \right), \text{ т. е. } \Delta\mu_{34} = 0 \quad (9)$$

Условие (9) задает концентрации C_{R_2} и C_{R_3} однозначно, независимо от перенапряжения на мембране, так как μ_3 определяется концентрациями C_{R_2} и C_{O_2} , а μ_4 — концентрациями C_{R_3} и C_{O_3} , которые считаются не зависящими от потенциала. Таким образом, (9) выражает одно условие для определения концентраций. Второе условие задается равенством:

$$C_{R_2} + C_{O_2} = C_2 = \text{const.} \quad (10)$$

В результате величины C_{R_2} и C_{O_2} можно выразить через C_2 , C_{R_3} и C_{O_3} .

Теперь рассмотрим случай, когда скорости процессов на обеих поверхностях мембранны примерно равны. При этом будем считать, что $\Delta\mu_{12}, \Delta\mu_{34} \gg kT$. Приравняв токи \vec{i}_{12} и \vec{i}_{34} , мы получим дополнительное ограничение на C_{R_2} и C_{O_2} и, учитывая условие (10), из этих двух уравнений найдем по-отдельности C_{R_2} и C_{O_2} как функции от перенапряжения. Напишем выражение для плотности тока, связанного с переходом электрона из мембранны в правую часть системы:

$$\vec{i}_{12}(\mu) = e C_{R_2}^s(\eta_3) C_{O_2}^s \delta S^* \times \frac{\omega_{\phi\phi}}{2\pi} \times \times \exp \left\{ - \frac{[E''_s + \Delta I_o'' + e(\eta_3 - \eta_4)]^2}{4 E''_s kT} \right\}, \quad (11)$$

где

$$\begin{aligned} \Delta I_o'' &= \varepsilon_{o_1} - e\varphi_4^o + \alpha_{R_1} - \varepsilon_{R_2} + \\ &+ e\varphi_3^o - \alpha_{O_1}. \end{aligned} \quad (12)$$

В этой формуле ϵ_{0_1} и ϵ_{R_2} — энергии электрона в частицах 0_1 и R_2 ; α — энергия сольватации соответствующих ионов, а E_s^{II} — энергия реорганизации среды (самой мембранны и полярного электролита справа от нее).

Просуммировав эти выражения, увидим, что

$$\Delta I_s^{II} = e(\varphi_1^0 - \varphi_2^0) + e(\varphi_3^0 - \varphi_4^0) - \Delta I_s^{I, III} \quad (17)$$

Обозначив

$$\varphi_1^0 - \varphi_2^0 \equiv \Delta\varphi_{14}^0 \text{ и } \varphi_3^0 - \varphi_4^0 \equiv \Delta\varphi_{23}^0,$$

получаем другую запись выражения (17):

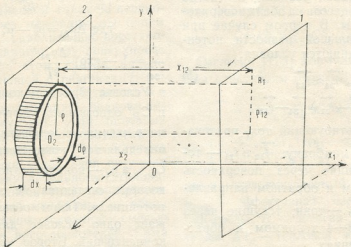


Рис. 2. Плоскость, параллельная плоскости YOZ (1), с координатой x_1 , проходящая через частицу R_1 ; 2 — аналогичная плоскость с координатой x_2 , проходящая через частицу 0_2 ; $\rho = \sqrt{(y_2 - y_1)^2 + (z_2 - z_1)^2}$ — расстояние от частицы R_1 до проекции частицы 0_2 на плоскость 1

Приравняв токи \vec{i}_1 и \vec{i}_{12} (формулы (4) и (11)) получим:

$$C_{R_1}^s C_{0_2}^s (\eta_2) \exp \left\{ - \frac{[E_s^{II} + \Delta I_s^{II} + e(\eta_1 - \eta_2)]^2}{4 E_s^{II} kT} \right\} = \quad (13)$$

$$= C_{R_2}^s (\eta_3) C_{0_1}^s \exp \left\{ - \frac{[E_s^{II} + \Delta I_s^{II} + e(\eta_3 - \eta_4)]^2}{4 E_s^{II} kT} \right\}$$

В случае, когда восстановленная и окисленная формы отличаются лишь валентным состоянием (как например $\text{Fe}^{+2}/\text{Fe}^{+3}$),

$$\epsilon_{0_2} = \epsilon_{R_2} = \epsilon_2, \quad \epsilon_{R_1} = \epsilon_{0_1} = \epsilon_1 \text{ и } E_s^{II} = E_s^{III}. \quad (14)$$

Обозначив $\alpha_1 = \alpha_{R_1} - \alpha_{0_1}$ и используя условие (14), запишем более компактно выражение для тепловых эффектов ΔI_s^I и ΔI_s^{II} :

$$\Delta I_s^I = (\epsilon_2 - \epsilon_1) - \alpha_1 - e(\varphi_2^0 - \varphi_1^0), \quad (15)$$

$$\Delta I_s^{II} = (\epsilon_1 - \epsilon_2) + \alpha_1 - e(\varphi_4^0 - \varphi_3^0). \quad (16)$$

$$\Delta I_s^{II} = -\Delta I_s^I + e\Delta\varphi_{14}^0 - e\Delta\varphi_{23}^0, \quad (18)$$

Равенство (13) теперь можно переписать следующим образом:

$$\frac{C_{R_1}^s C_{0_2}^s (\eta_2)}{C_{0_1}^s C_{R_2}^s (\eta_3)} = \exp \left\{ \frac{[E_s^{II} + \Delta I_s^{II} + e(\eta_1 - \eta_2)]^2 - [E_s^{II} + \Delta I_s^{II} + e(\eta_3 - \eta_4)]^2}{4 E_s^{II} kT} \right\}. \quad (19)$$

Распределение концентраций внутри мембранны можно найти из больцмановской формулы:

$$C_{R_2}(x) = C_{R_2}(x_2) \exp \left\{ - \frac{Z_{R_2} e(\varphi - \varphi_2)}{kT} \right\}, \quad (20)$$

$$C_{0_2}(x) = C_{0_2}(x_2) \exp \left\{ - \frac{Z_{0_2} e(\varphi - \varphi_2)}{kT} \right\}.$$

Концентрация на поверхности 3 мембранны определяется условием:

$$C_{R_2}^s(x_3) = C_{R_2}^s(\eta_3) = \\ = C_{R_2}^s(\eta_2) \exp \left\{ -\frac{Z_{R_2} e^{(\varphi_3 - \varphi_2)}}{kT} \right\}. \quad (21)$$

Окончательно формула (19) приводится к виду:

$$\frac{C_{0_2}^s(\eta_2)}{C_{R_2}^s(\eta_2)} = \\ = \frac{C_{0_1}^s}{C_{R_1}^s} \exp \left\{ \frac{(E_s + \Delta I')^2 - (E_s + \Delta III)^2}{4 E_s kT} + \right. \\ \left. + \frac{Z_{R_2} e \Delta \varphi_{32}}{kT} \right\}. \quad (22)$$

Число окисленной и восстановленной форм реагентов (N_{0_2} и N_{R_2}) находится из формул:

$$N_{R_2} = S \int_2^3 C_{R_2}(x) dx,$$

$$N_{0_2} = S \int_2^3 C_{0_2}(x) dx \quad (23)$$

или

$$N_{R_2} = S C_{R_2}(x_2) \int_2^3 dx \times \\ \times \exp \left\{ -\frac{Z_{R_2} e [\varphi(x) - \varphi_2]}{kT} \right\},$$

$$N_{0_2} = S C_{0_2}(x_2) \int_2^3 dx \times \\ \times \exp \left\{ -\frac{Z_{0_2} e [\varphi(x) - \varphi_2]}{kT} \right\}. \quad (24)$$

Окончательно получаем систему уравнений:

$$\frac{N_{R_2}}{N_{0_2}} = \frac{C_{0_1}}{C_{R_1}} \times \\ \times \exp \left\{ \frac{(E_s + \Delta I')^2 - (E_s + \Delta III)^2}{4 E_s kT} + \right. \\ \left. + \frac{Z_{R_2} e \Delta \varphi_{32}}{kT} \right\} \times$$

$$\times \frac{\int_2^3 dx \exp \left\{ -\frac{Z_{R_2} e [\varphi(x) - \varphi_2]}{kT} \right\}}{\int_2^3 dx \exp \left\{ -\frac{Z_{0_2} e [\varphi(x) - \varphi_2]}{kT} \right\}} \quad (25)$$

$$N_{R_2} + N_{0_2} = N.$$

Эту систему уравнений относительно N_{R_2} и N_{0_2} можно разрешить, поскольку все параметры (включая потенциалы) считаются заданными. Предположим, что $E_s \gg \Delta I'$, ΔIII и что внутри мембранны потенциал распределен линейно:

$$\varphi(x) = \varphi_2 + \frac{\varphi_3 - \varphi_2}{\delta} x, \quad (26)$$

где δ — толщина мембранны. Обозначим среднюю концентрацию реагентов в мембране через $\bar{C} = N/V_m$ (V_m — объем мембранны).

В этом случае формулу (25) можно переписать в виде:

$$\frac{\bar{C}_{R_2}}{\bar{C}_{0_2}} = \frac{C_{0_1}}{C_{R_1}} \exp \left(\frac{\Delta I' - \Delta III}{kT} + \frac{Z_{R_2} e \Delta \varphi_{32}}{kT} \right) \times \\ \times \frac{\int_2^3 dx \exp \left(-Z_{R_2} e \frac{\varphi_3 - \varphi_2}{\delta} x / kT \right)}{\int_2^3 dx \exp \left(-Z_{0_2} e \frac{\varphi_3 - \varphi_2}{\delta} x / kT \right)}. \quad (27)$$

Пусть $x_2 = 0$. Тогда $x_3 = \delta$ и формула (27) может быть переписана следующим образом:

$$\frac{\bar{C}_{R_2}}{\bar{C}_{0_2}} = \frac{Z_{0_2}}{Z_{R_2}} \frac{C_{0_1}}{C_{R_1}} \times \\ \times \exp \left(\frac{\Delta I' - \Delta III}{2 kT} \right) \frac{\exp(Z_{R_2} e \Delta \varphi_{32} / kT) - 1}{1 - \exp(-Z_{0_2} e \Delta \varphi_{32} / kT)}. \quad (28)$$

Вычтя формулу (16) из формулы (15), определим $(\Delta I' - \Delta III)$:

$$\Delta I' - \Delta III = 2(\varepsilon_2 - \varepsilon_1) - \\ - 2\alpha_1 - e(\varphi_2 - \varphi_1) + e(\varphi_4 - \varphi_3). \quad (29)$$

В качестве примера рассмотрим случай, когда $Z_{0_2} = 0$. Тогда $Z_{R_2} = -1$ и по формуле (28) получаем:

$$\frac{\bar{C}_{R_2}}{\bar{C}_{0_2}} = \frac{kT}{e\Delta\Phi_{32}} \frac{C_{0_1}}{C_{R_1}} \times \times \exp\left(\frac{\Delta^{II} - \Delta^{III}}{2kT}\right) \left\{ \exp\left(\frac{e\Delta\Phi_{23}}{kT}\right) - 1 \right\} \quad (30)$$

Это выражение еще более упрощается, если считать, что падение потенциала в мембране меньше kT . Тогда формула (30) приобретает следующий вид:

$$\frac{\bar{C}_{R_2}}{\bar{C}_{0_2}} = \frac{C_{0_1}}{C_{R_1}} \exp\left(\frac{\Delta^{II} - \Delta^{III}}{2kT}\right). \quad (31)$$

ЛИТЕРАТУРА

- Урушадзе З. Д., Хидурели В. К. В сб.: Биохимия растений, «Мецниереба», Тбилиси, 1973.
- Урушадзе З. Д. Сообщения АН ГССР, 61, 3, 681—683, 1971.
- Dogonadze R. R., Chonishvili G. M., Marsagishvili T. A. J. Chem. Soc. Faraday Trans., 2, 80, 355—364, 1984.

მუხტის გადატანა მოდელურ ბიოლოგიურ მიმღებლაში

ზ. ურუშაძე

საქართველოს სასოფლო-სამეურნეო ინსტიტუტი, თბილისი

რეზიუმე

გამოთვლილია მოდელურ ბიოლოგიურ მემბრანაში (არაპოლარულ გარემოში) გამავალი ელექტრული დენი, როდესაც მემბრანის ზედაპირზე მიმდინარეობს ჟანგვა-ალდეგენითი რეაქციები ელექტრონის გადატანით. მიღებულია პოლარულ და

Аналогично рассмотрим случай, когда $Z_{R_2} = 0$ и $Z_{0_2} = 1$. Для этого случая по формуле (28) получаем:

$$\frac{\bar{C}_{R_2}}{\bar{C}_{0_2}} = \frac{e\Delta\Phi_{32}}{kT} \frac{C_{0_1}}{C_{R_1}} \times \quad (32)$$

$$\times \exp\left(\frac{\Delta^{II} - \Delta^{III}}{2kT}\right) \frac{1}{1 - \exp(-e\Delta\Phi_{23}/kT)}$$

или

$$\frac{\bar{C}_{0_2}}{\bar{C}_{R_2}} = \frac{kT}{e\Delta\Phi_{23}} \frac{C_{R_1}}{C_{0_1}} \times \quad (33)$$

$$\times \exp\left(\frac{\Delta^{II} - \Delta^{III}}{kT}\right) \left\{ \exp\left(\frac{e\Delta\Phi_{23}}{kT}\right) - 1 \right\}.$$

По этой же схеме можно рассмотреть случай разных зарядовостей окислительно-восстановительных систем в мембране.

3. Dogonadze R. R., Chonishvili G. M., Marsagishvili T. A. J. Chem. Soc. Faraday Trans., 2, 80, 355—364, 1984.

არაპოლარულ გარემოთა საზღვარზე მუხტის გადატანის რეაქციის სიჩქარის კონსტანტა. მემბრანაში ასებული ჟანგვა-ალდეგენითი სისტემის კომპონენტთა კონცენტრაციები ცნობილი სიღილეებით არის გამოსახული.

THE CHARGE TRANSFER ACROSS THE MODEL BIOLOGICAL MEMBRANE

Z. D. URUSHADZE

Georgian Agricultural Institute, Tbilisi, USSR

S u m m a r y

Electric current across the model biological membrane (nonpolar media), when redox reactions proceed on the membrane surface is calculated. Expression is obtained for the constant of the charge transfer

reaction rate across the bond of the polar and nonpolar media. The concentration of redox reagents of the membrane are expressed in the known values.

УДК 577.391 : 547.963.3

РАДИОБИОЛОГИЯ

ВЛИЯНИЕ РЕНТГЕНОВСКОГО ОБЛУЧЕНИЯ НА Na, К-АТФазную СИСТЕМУ ПЛАЗМАТИЧЕСКИХ МЕМБРАН

Д. В. Чиквашвили

Институт физиологии им. И. С. Бериташвили АН ГССР, Тбилиси

Поступила в редакцию 20.12.1984

Показано, что под влиянием рентгеновского облучения в дозах 1,75—12,25 Гр. резко снижается уровень Na, К-АТФазной активности плазматических мембран головного мозга крыс. Торможение Na, К-АТФазы несоразмерно с ростом активности Mg-АТФазы; паратинтрафенилфосфатазная (пНФФ) активность препарата изменяется аналогично Na, К-АТФазной. Однако влияние рентгеновского облучения не выражается в изменении функционирования пНФФазы в двух различных режимах, с одним или двумя калий-активаторными участками.

Нарушение функции и структуры мембран является одним из ведущих в числе возникающих первичных радиационных повреждений [7]. Ранее отмечалась радиочувствительность мембран изолированных ядер и глиальных клеток [8]. Эти процессы тесно связаны с функцией АТФаз [9]. По данным исследований АТФазных систем различных органелл клеток печени очевидно, что эта система проявляет высокую радиочувствительность, выраженную в изменении активности в ранние сроки после воздействия ра-

диации [4]. Учитывая различную распространенность Na, К-АТФазы по органам [3] и отличающуюся тканевую радиочувствительность, невозможно однозначно интерпретировать результаты. Большой интерес представляет изучение Na, К-АТФазной системы плазматических мембран головного мозга под действием рентгеновского облучения. Практически отсутствуют работы по изучению пНФФазной реакции данной системы в облученном организме.

МАТЕРИАЛ И МЕТОДЫ

Исследования проводили на мембранным препарате из головного мозга интактных и облученных белых крыс после тотального облучения рентгеновыми лучами в дозе 1,75—12,25 Гр. Условия облучения: аппарат РУМ-17, мощность дозы 0,875 Гр/мин, напряжение 200 кВ, сила тока 15 мА, фильтры Cu 0,5 мм + Al 1,0 мм. Крыс декапитировали через час после

облучения. Получение мембранный фракции и обработку препарата йодистым натрием проводили по ранее разработанной методике [5]. В каждый опыт брали не менее трех крыс, проводя по 3 опыта в каждой серии. Условия определения Na, К-АТФазной и пНФФазной активностей приведены в предыдущих работах [5, 6].

РЕЗУЛЬТАТЫ ИССЛЕДОВАНИЯ И ИХ ОБСУЖДЕНИЕ



Исследование Na, K-АТФазной активности показало, что под влиянием рентгеновского облучения уровень ее резко снижается. Однако торможение Na, K-АТФазы несоразмерно с ростом активности Mg-АТФазы. Анализируя данные табл. 1, следует за-

вать активности наблюдается в обоих видах мембранных фракций, независимо от степени нарушения молекулярной организации. Следует заметить, что липидное окружение, удаляемое дезоксихолатом, не является лимитирующим фактором в развитии пострадиационных изменений Mg-АТФазной активности.

При солюбилизации Na, K-АТФазы детергентами круг критериев нативности препарата ограничен только ферментативными реакциями: АТФазной и фосфатазной [2]. Нас интересует вопрос отражается ли действие рентгеновского облучения на Na, K-АТФазной реакции в целом или на частной стадии пНФФазной активности. Данная постановка вопроса вытекает из положения, что облучение действует на пассивный транспорт ионов и, согласно литературным данным, пНФФ не способна индуцировать активный транспорт ионов в клетках в среде без АТФ [11].

Таблица 1
Действие рентгеновского облучения на Mg-АТФазу мембранных фракции головного мозга

Доза, Гр	Mg-АТФазная активность Р _н мкмоль/мг/белка/ч	Достоверность различия
—	16,0000±1,7081	
1,75	24,2952±0,7461	0,01 <Р<0,02
3,50	29,4840±1,1067	0,01 <Р<0,02
5,25	34,9811±1,4533	0,002>Р>0,001
7,00	38,1715±1,7584	Р>0,001
8,75	40,0438±1,8200	Р>0,001
10,50	41,9451±1,4405	Р>0,001
12,25	44,0233±1,7227	Р>0,001

метить, что повышение дозы облучения вызывает резкое увеличение Mg-АТФазной активности. Данный факт свидетельствует о возрастании роли пассивного транспорта ионов в развитии пострадиационных изменений в головном мозгу, что совпадает с результатами, полученными авторами на различных органеллах клеток печенки [4, 10].

Известно, что сложный комплекс Na, K-АТФазы состоит из белковой, липидной и углеводной частей [1]. Многие экспериментальные данные указывают на то, что клеточные мембранны, и их липидный матрикс в особенности, являются основным объектом поражения ионизирующими излучением. Интересным представляется исследование данного ферmenta под влиянием рентгеновского облучения в мембранных препаратах с разной степенью нарушения молекулярной организации. Доказано, что экстракция мембранных препаратов ионным детергентом — дезоксихолатом — способствует удалению липидов. Мы сравнили изменение Mg-АТФазной активности в нативных и дезоксихолатобработанных (ДОХ) препаратах под влиянием рентгеновского облучения.

Как видно из полученных результатов (табл. 2), увеличение Mg-АТФаз-

Таблица 2
Действие рентгеновского облучения на Mg-АТФазу различных мембранных препаратов головного мозга

Доза, Гр	Активность мкмоль Р _н /мг белка/ч	
	Нативные	ДОХ
—	15,9482	25,9997
1,75	20,9530	32,5356
3,50	26,4932	34,6132
5,25	30,0863	37,6080

Ранее мы исследовали пНФФазную активность Na, K-АТФазной системы в интактных организмах [6]. При этом было установлено, что ферментная система может находиться в различных состояниях, которые характеризуются одним или двумя калий-связывающими участками. Переход между двумя режимами с различным числом K⁺-активаторных участков контролируется ионами натрия.

Исследование пНФФазной активности под влиянием рентгеновского облучения показало, что она изменяется параллельно с уменьшением Na, K-АТФазной активности. С целью установления режимов работы пНФФазы в облученном организме мы исследо-

вали зависимость активности Na_+ , K_+ -АТФазной системы от концентрации ионов калия.

На рис. 1 изображена зависимость скорости пНФФазной реакции от концентрации ионов калия ($2 \text{ mM} \leq [\text{K}^+] \leq 10 \text{ mM}$) при различных значениях кон-

центраций ионов натрия в новом состоянии с одним калий-связанным участком. Взаимодействуя друг с другом, находящийся в связанном состоянии Na_+ -участок облегчает присоединение ионов калия и наоборот. Полученные зависимости пНФФазной активности

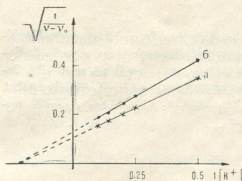


Рис. 1. Зависимость скорости пНФФазной реакции от концентрации ионов калия под действием рентгеновского облучения; А — безнатриевая среда, Б — 10 mM NaCl

центраций ионов натрия. В данном интервале концентраций пНФФазная реакция обладает двумя калий-активаторными участками. Ионы натрия неконкурентно ингибируют присоединение ионов калия.

В случае малых концентраций ионов калия ($[\text{K}^+] \leq 2 \text{ mM}$) при фиксированных значениях ионов натрия наблюдается действие данной фермент-

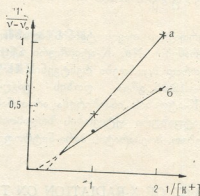


Рис. 2. Влияние рентгеновского облучения на зависимость скорости пНФФазной реакции от концентрации ионов калия: А — безнатриевая среда, Б — 10 mM NaCl

от концентраций ионов калия в облученном организме идентичны с данными для интактных организмах [6].

Из вышеприведенного можно заключить, что действие рентгеновского облучения отражается на активности пНФФазы, которая снижается параллельно с уменьшением Na_+ , K_+ -АТФазной активности, однако не влияет на режимы функционирования данной системы.

ЛИТЕРАТУРА

- Болдырев А. А. Итоги науки и техники. Биологическая химия, 17, 75—140, 1982.
- Джанджугазян К. Н., Модянов Н. Н., Мустаев А. А. Биологические мембранны, I, 8, 1984, 823—831.
- Диксон М., Уэбб Э. Ферменты, 3, «Мир», М., 1982.
- Иващенко А. Т., Рыскулова С. Т. Тез. докл. Всесоюз. конф. «Механизмы действия радиации на биологические мембранны и возбудимые системы», Тбилиси, «Мецниреба», 1976, 27.
- Киквидзе З. Я., Чиквашвили Д. В., Кометиани З. П. Биохимия, 47, 11, 1814—1818, 1982.
- Кометиани З. П., Чиквашвили
- Д. В. Изв. АН ГССР, сер. биол., 9, 6, 400—406, 1983.
- Кузин А. М. Радиационная биохимия, Изд. АН СССР, М., 1962.
- Надарейшвили К. Ш., Джохадзе Д. И., Кахиани Э. Д. Радиобиология, 8, 3, 396—403, 1968.
- Рыскулова С. Т., Иващенко А. Т. Радиобиология, 16, 5, 652—657, 1976.
- Филимонов М. М. Состояние активности связанный с транспортом ионов натрия и калия аденоциантирофосфатазной системы в различных отделах ЦНС в условиях экспериментальной острой лучевой болезни, Автореф. канд. дисс., Минск, 1976.
- Garrigan P. J., Rega A. F. J. Physiology, 223, 2, 595—617, 1972.

დ. ჩიკვაშვილი

საქართველოს სსრ მეცნიერებათა აკადემიის ი. ბერიაზურის
სახელმწის ფიზიოლოგიის ინსტიტუტი, თბილისი

რ ე ზ ი უ მ ე

ვირთაგვს თავის ტვინის პლაზმატური მემბრანების Na, K-ატფაზური აქტივობა მკვეთრად მცირდება რენტგენის სხივების 1,75—12,25 გრე დოზის გავლენით. Na, K-ატფაზეს ინციბირება არათანაბარია Mg-ატფაზური აქტივობის ზრდასთან შედარებით. პრეპარატის პარა-ნიტროფენილ-

ფოსფატაზური აქტივობა იცვლება Na, K-ატფაზურის ანალოგიურად. ოღონდ რენტგენის სხივების გავლენა არ არის იმის მიზეზი, რომ პარა-ნიტროფენილფოსფატაზის ფუნქციონირება სხვადასხვა რეჟიმში იცვლება.

EFFECT OF X-RADIATION ON THE PLASMATIC MEMBRANE Na, K-ATPase SYSTEM

D. V. CHIKVASHVILI

I. S. Beritashvili Institute of Physiology, Georgian Academy of Sciences, Tbilisi, USSR

Summary

X-radiation in the dose of I. 75-12.25 Gy was shown to cause a sharp decrease in the Na, K-ATPase activity of plasmatic membrane from the rat brain. The inhibition of Na, K-ATPase is incompatible with the increase of Mg-ATPase

activity. pNPPase activity changes parallelly with Na, K-ATPase. However, the effect of X-radiation is not expressed in the change of pNPPase functioning in two different states with one or two potassium-activating sites.

УДК 615.012.8 : 661.036.882.07—616.155.32—097.3

КРАТКИЕ СООБЩЕНИЯ

ПРИМЕНЕНИЕ ЭКСТРАКОРПОРАЛЬНОЙ ПЕРФУЗИИ
КРОВИ ЧЕРЕЗ ИММУНОСОРБЕНТ С ЦЕЛЬЮ
ИЗВЛЕЧЕНИЯ ИЗ ЦИРКУЛИРУЮЩЕЙ КРОВИ
МИКРОБОВ И ИХ ТОКСИНОВ

З. С. ХЕЛАДЗЕ

Тбилисский государственный медицинский институт

Поступила в редакцию 4.05.1984

Сепсис и септический шок являются настоящим бичом для реанимационных клиник [2]. Важным звеном в развитии указанных состояний считается патологическое воздействие на организм циркулирующих в крови микробов и их токсинов [1].

В настоящей работе рассматриваются вопросы извлечения микробов и токсинов из циркулирующей крови с помощью экстракорпоральной перфузии крови через иммunoсорбент.

МАТЕРИАЛЫ И МЕТОДЫ ИССЛЕДОВАНИЯ

14 половозрелых собак были разделены на три группы. В первой группе животным (5 собак) катетеризовали бедренную вену и после предварительной гепаринизации (80 ед/кг) внутривенно вводили по 10 мл 100-миллиардной культуры золотистого стафилококка и 2 мл стафилококкового L токсина с титром 24 Lh. Затем животным катетеризовали бедренную артерию и создавали экстракорпоральный круг кровообращения между артерией и веной, куда подключали роликовый насос и колонку с иммunoсорбентом. Через 10 мин после введения микробных клеток и токсина начинали экстракорпоральную перфузию крови в течение 30 мин со скоростью 0,05 л/мин. Во второй (5 собак) и третьей (4 собаки) группах животным все манипу-

ляции проводили с такой же последовательностью, за исключением внутривенного введения культуры золотистого стафилококка и α-токсина (во второй группе) и проведения экстракорпоральной перфузии крови через иммunoсорбент (в третьей группе).

Иммunoсорбент готовили заранее и помещали в перфузионные колонки, выходное отверстие которых было покрыто фильтром.

На различных этапах эксперимента у животных брали кровь и определяли титры стафилококкового микроба и α-токсина методом пассивной гемагглютинации. Посевы крови делали на бульоне Хоттингера. До и после перфузии титры микробов и токсина изучали также в самом сорбенте; с такой же последовательностью ставили посевы сорбента.

Динамика изменения титра микробов и токсина, а также результаты посева микробов.

Группа обследованных животных	Показатели статистической обработки	К р о в ь								
		перед введением микробов и токсина			через 10 мин после введения микробов и токсина			через 25–40 мин после введения микробов и токсина		
		титр микробов	титр токсина	посевы микробов	титр микробов	титр токсина	посевы микробов	титр микробов	титр токсина	посевы микробов
При введении микробов и токсина с иммunoсорбцией (I группа)	X ± m n p	не определялось 5	не определялось 5	не высевались 5	1 : 640,0 ± 109,4 5	1 : 1152,0 ± 218,8 5	резко положительные ++++ 5	1 : 2,8 ± 0,4 5	1 : 3,6 ± 1,2 5	не высевались
При иммunoсорбции без введения микробов и токсина (II группа)	X ± m n p	не определялось 5	не определялось 5	не высевались 5	не определялось 5	не определялось 5	не высевались 5	не определялось 5	не определялось 5	не высевались 5
При введении микробов и токсина без иммunoсорбции (III группа)	X ± m n p	не определялось 4	не определялось 4	не высевались 4	1 : 640,0 ± 43,8 4	1 : 1152,0 ± 287,6 4	резко положительные ++++ 4	1 : 768,0 ± 143,8 4	1 : 1284,0 ± 256,6 4	резко положительные ++++ 4

Примечание: X — обозначает величину средней арифметической, m — величину среднеквадратической ошибки, p — количество вариантов, p — статистическую достоверность между средними арифметическими



РЕЗУЛЬТАТЫ ИССЛЕДОВАНИЯ

В первой группе животных сразу после введения стафилококковых микробов и токсина развилась картина резкого расстройства дыхания, сердечно-сосудистой системы и других витальных функций организма. Впоследствии, по мере осуществления экстракорпоральной перфузии крови, эти явления постепенно устраивались и все животные выжили без существенных остаточных патологических явлений. Результаты обследования этих животных приведены в табл. 1, из которой следует, что перед введением стафилококковых микробов и токсина кровь животных была стерильной, а через 10 мин титр микроба и токсина в крови значительно нарастал и составлял $1:1640,0 \pm 109,4$ и $1:1152,0 \pm 218,8$ соответственно. При этом из крови высевалась резко положительная культура золотистого стафилококка. Из той же таблицы следует, что через 15—30 мин после начала перфузии (т. е. через 25—40 мин после введения микробов и токсина) в крови титр микроба и токсина значительно уменьшался, в частности на 99,6% и 99,7% соответственно и составлял $1:2,8 \pm 0,4$ и $1:3,6 \pm 1,2$. Причем высевая из крови культуру

стафилококковых микробов не удалось.

Следует отметить, что перед перфузией стерильным оказался и сорбент.

После завершения перфузии в сорбенте титр микробы резко нарастал и равнялся $1:153,6 \pm 27,3$, а токсина — $1:256,0 \pm 82,0$. В данное время из сорбента высевалась резко положительная культура стафилококкового микробы.

Во второй группе животных каких-либо патологических признаков не развилось. У них на протяжении всего эксперимента кровь и сорбент оставались стерильными.

В третьей группе у всех животных сразу после введения стафилококковых микробов и токсина развилась картина резкого расстройства дыхания, сердечно-сосудистой системы и других витальных функций организма, что в течение 3—48 ч привело к гибели всех этих животных. В этой группе животных в крови титр стафилококковых микробов и токсина оставался в первоначальной концентрации в интервале 10—40 мин и даже 120 мин после их введения (таблица).

ОБСУЖДЕНИЕ РЕЗУЛЬТАТОВ

Таким образом, в период перфузии циркулирующие в крови микробы и токсин соединяются с иммуносорбентом и остаются в колонке. Причем очистка крови от патологических компонентов начинается сразу же после начала перфузии и нарастает в течение 15—30 мин. Все вводимые микробные клетки и токсин фактически полностью извлекаются из крови, на что указывает динамика изменения титра микробов и токсина в крови и иммуносорбенте до и после перфузии крови, а также данные посева крови и иммуносорбента. На эту мысль наводит также сравнение указанных данных с показателями третьей группы, где титр микробов и токсина в крови без проведения иммуносорбции

держался сравнительно длительное время в первоначальных величинах. Результаты, полученные в первой и во второй группе, указывают на то, что перфузия крови в этом иммуносорбенте не представляет опасность для жизни и является биологически совместимым материалом.

Следует отметить, что на основе данной методики, микробы и продукты их жизнедеятельности — токсины, можно извлечь не только из крови, но, по-видимому, и из других биологических жидкостей (лимфа, спинномозговая жидкость и др.). Более того, при наличии соответствующих антител, этим же способом можно элюировать из организма любые другие вещества, представляющие интерес для исследователей и клиницистов.

ЛИТЕРАТУРА

- Кузин М. М., Костюченок Б. М. Вестник АМН ССР, 8, 7—14, 1983.
- Основы реаниматологии (под редакцией Не-

говского В. А.), Ташкент, «Медицина УзССР», 1974.

ქ. ჩოლაძე

თბილისის სახელმწიფო სამეცნიერო ინსტიტუტი
რეზიუმე

იმუნოსორბენტზე სისხლის ექსტრაკორპორალური პერფუზის მეშვეობით მოხერხდა ცხოველის ორგანიზმიდან მიკრობებისა და მათი ტოქსინების გამოღევევა, რომელიც წინასწარ შეგვევდა ცხოველის ენციზი. გამოთქმულია მოსაზრება, რომ ამ სორბენტის ანალოგებს დიდი პერსპექტივა

გააჩნიათ და მათი გამოყენება. შეიძლება სისხლიდან ნებისმიერი ანტიგენური სტრუქტურის მქონე სუბსტრატის (პორმონის, ფერმენტის, იმუნოკომპონენტურ უჯრედთა, იმუნოგლობულინთა და სხვათა) გამოსალექცია.

THE USE OF THE EXTRACORPORAL PERFUSION OF BLOOD THROUGH THE IMMUNOSORBENT IN ORDER TO EXTRACT MICROBES AND THEIR TOXINS FROM THE CIRCULATING BLOOD

Z. S. KHELADZE

Tbilisi State Medical Institute, USSR

Summary

The new type of the immunosorbent was characterized which during the extracorporeal perfusion extracted from the blood only the needed substrate and only in needed amount without damaging others blood components. Si-

multenously exiganigings the blood and removing carbon dioxide from it. It is suggested that the analogus of such immunosorbent could be useful in the correction of homeostasis during the terminal condition.

К СВЕДЕНИЮ АВТОРОВ

1. В журнале печатаются не опубликованные в других изданиях, завершенные, оригинальные работы экспериментального и теоретического характера по утвержденным редколлегией разделам биологии, обзорные статьи, написанные по заказу редколлегии, а также краткие сообщения и рецензии. Периодически в журнале будет помещаться краткая хроника о проведенных в республике научно-организационных мероприятиях.

2. Объем рукописи экспериментальных и итоговых работ, включая таблицы, рисунки, подписи к рисункам, список литературы и резюме на грузинском и английском языках (не более одной страницы машинописи на каждом языке), не должен превышать 12 страниц машинописного текста, напечатанного через 2 интервала и полем 3 см с левой стороны. К рукописи может быть приложено не более 5 рисунков. **Объем обзорной статьи — 24 страницы, краткого сообщения со списком литературы и кратким резюме на английском языке (не более 6 строк) — до 4 страниц машинописи.** Краткие сообщения можно иллюстрировать 1—2 рисунками.

Резюме на английском и грузинском языках, список литературы, таблицы и подлисы к рисункам должны быть представлены на отдельных листах.

3. Рукопись (в двух экземплярах) должна быть тщательно проверена, иметь направление учреждения и заключение экспертовой комиссии в двух экземплярах. На первой странице слева приводятся индексы статьи (УДК) по таблицам Универсальной десятичной классификации, справа — раздел биологии, затем название статьи, инициалы и фамилии авторов, название учреждения, где выполнена работа, и краткая аннотация (не более 0,5 стр.).

Статья должна быть подписана авторами. В конце статьи необходимо указать полностью имя, отчество и фамилии авторов, домашний и служебный адреса, телефоны.

4. Введение должно содержать краткое изложение сути рассматриваемой проблемы и задачи исследования. Описание методики должно быть кратким, но позволяющим читателю самостоятельно оценить соответствие техники и методических приемов, использованных при выполнении работы. Описание результатов и их обсуждение должны ограничиваться рассмотрением и оценкой важнейших фактов, полученных в экспериментах. В конце статьи выводов печатать не следует.

5. К статье в краткому сообщению следует приложить реферат на русском языке для реферативного журнала СССР (не более 1000 знаков), оформленный следующим образом: УДК, раздел биологии, инициалы и фамилии авторов, заглавие, название журнала. В конце реферата следует указать количество таблиц, рисунков, библиографические сведения. После реферата слева в квадратных скобках нужно указать научное учреждение, в котором выполнена работа. Реферат должен быть подписан автором.

6. Иллюстрации — четкие фотографии на глянцевой бумаге и рисованные графики на кальке или белой чертежной бумаге — следует представлять в двух экземплярах (в надписанном конверте). Надписи на иллюстрациях должны быть выполнены тушью. На обороте иллюстрации следует обозначить карандашом ее номер, фамилию автора и сокращенное название статьи, а в случае необходимости отметить верхний и нижний край.

7. Фамилии цитируемых авторов следует давать в транскрипции, соответствующей тексту статьи, и в оригинальной — в списке литературы. Список литературы составляется по алфавиту. В начале списка необходимо приводить литературу грузинским или русским шрифтом, а затем латинским. После порядкового номера (в тексте статьи он ставится в квадратные скобки) следует давать фамилию и инициалы авторов, название издания, затем: для периодических изданий — том, страницы (от и до), год; для непериодических — название издательства, место, год издания и страницы.

8. Рукописи, оформленные без соблюдения указанных правил, а также не соответствующие профилю журнала, возвращаются автору. Все рукописи проходят рецензирование.

9. Публикация статей производится в порядке очередности их поступления, за исключением работ, заказанных редакцией.

10. Корректуры статей даются авторам для проверки, правки и визирования. Изменения и дополнения в тексте корректур не допускаются, за исключением исправления ошибок и опечаток. Выправленные корректуры возвращаются в редакцию в трехдневный срок. При задержке корректур редакция публикует статьи по первоначальным текстам.

11. Редакция оставляет за собой право сокращать и исправлять тексты статей.

12. Авторы получают бесплатно 12 отдельных оттисков.

673/4

Цена 85 коп.

Индекс

76204



Центральная
библиотека
Министерства
образования СССР